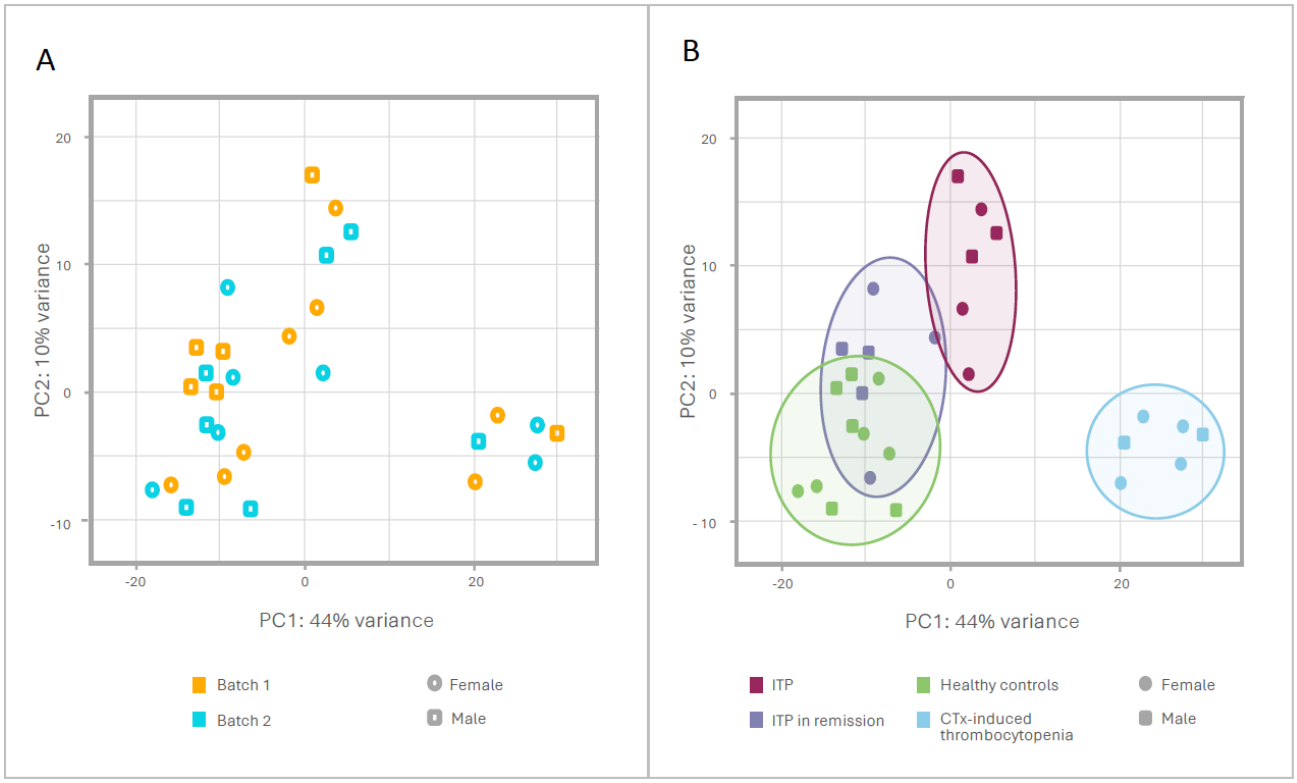
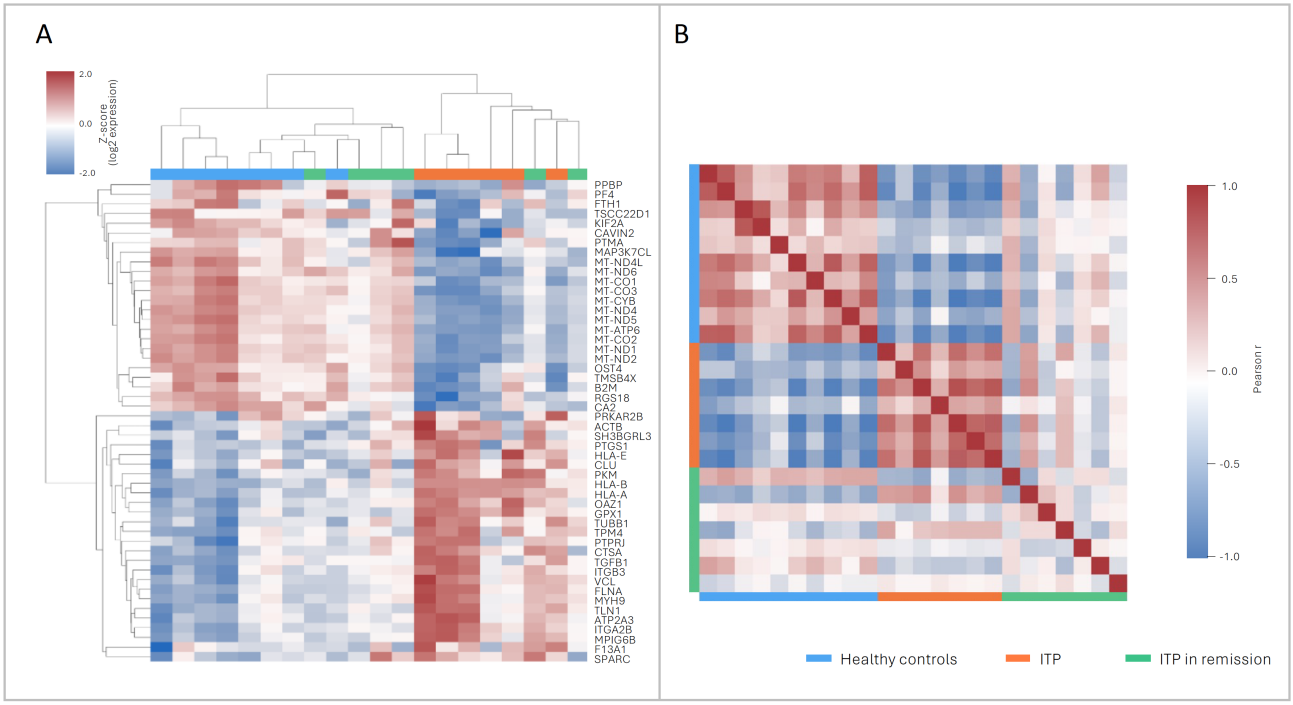
SUPPLEMENT

Supplementary Figure S1



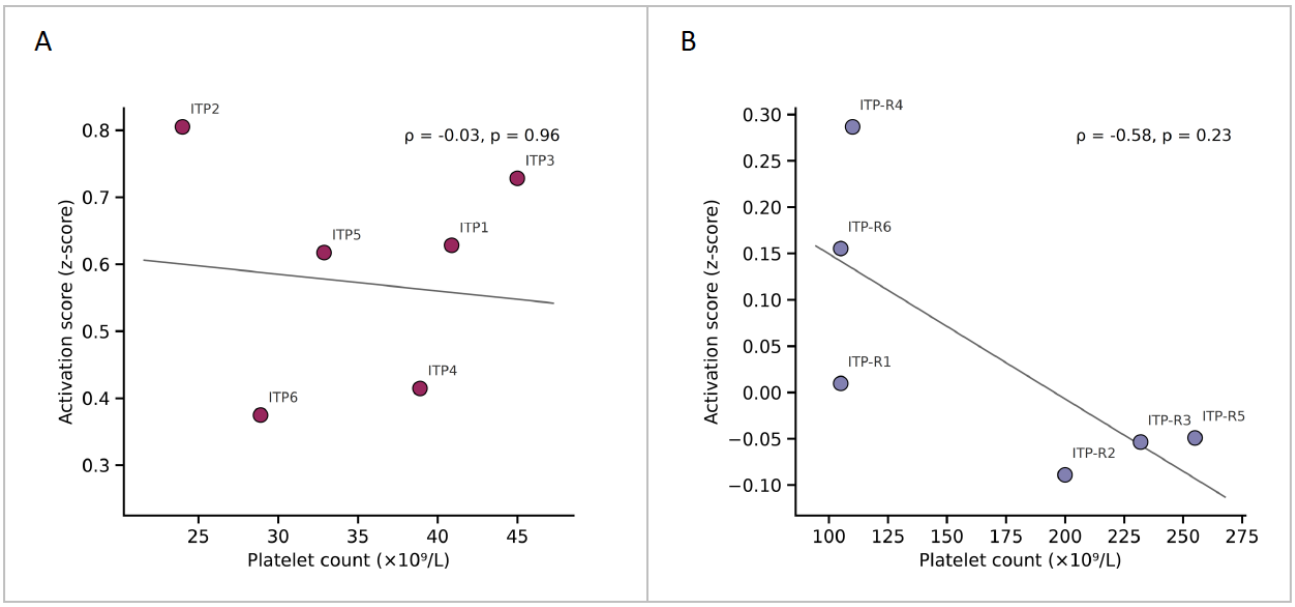
Principal component analysis of platelet transcriptomes. PCA of the 500 most variable genes across all 26 samples. **(A)** Samples colored by library preparation batch; no clustering by batch is apparent. **(B)** PCA colored by clinical group.

Supplementary Figure S2



Transcriptomic profiling of platelets in ITP, ITP in remission and healthy controls. (A) Heatmap of the 50 most variable genes (adj. p<0.05; mean expression >100) across healthy donor, ITP, and ITP in remission samples**.** Z-scores were calculated from log_2-transformed expression. Genes and samples were hierarchically clustered; red indicated higher, blue indicates lower expression than the average across all samples. (B) Pearson correlation between samples, based on the 50 most variable genes (adj. p < 0.05, mean expression > 100). Red = similar profile, blue = divergent.

Supplementary Figure S3



Platelet count vs. platelet activation score in active ITP and ITP in remission. Scatter plots of peripheral platelet count against the platelet activation score in **(A)** active ITP and **(B)** ITP in remission. The activation score was calculated as the mean per-gene z-scored $\log_2$-normalised expression across genes in the KEGG "Platelet activation" (hsa04611); ρ and p values from Spearman's rank correlation are indicated.

Supplementary Table S1

Patient demographics, platelet counts, and RNA yield across study groups.

	ITP (n=6)	ITP in remission (n=6)	Chemotherapy-induced thrombocytopenia (n=6)	Healthy controls (n=8)
Median age (years)	52 (10-69)	59 (22-80)	56 (37-67)	50 (30-74)
Sex (female/male)	50% / 50%	50% / 50%	66.7% / 33.3%	50% / 50%
Platelet count (x10^9/L)	35 (24-45)	178 (135-256)	37 (29-68)	229 (201-289)
RNA yield per sample (ng/µl)	13.1 (3.7-19.7)	5.0 (2-12.7)	8.5 (4.3-15.1)	2.9 (2.5-4.4)

Supplementary Table S2

Expression of platelet-specific and contamination-associated marker genes across samples.

Sample	Expression (baseMean)				
	PF4	PPBP	PTPRC	CD14	HBB
1	222105,4	643239,3	271,4	40,7	22,3
2	99588,4	804670,6	256,3	18,8	1,4
3	201282,3	589465,8	239,4	47,4	12,1
4	262774,6	727748,9	180,6	56,2	31,5
5	387198,4	1090173,1	196	150,7	0
5	150316,5	868397,6	168,6	38,6	34,3
6	390648,6	1461608,4	157,2	67,7	11,5
7	378836,7	1473357	275,4	31,2	6,2
8	285634,9	621335,3	215,4	19,8	59,5
9	481254,5	1756674,6	116	57,4	4,6
10	522848,4	1072618	133,5	68,7	33,9
11	402931,5	1233978,6	208,9	104	42
12	225357,7	487908,9	73,1	63,5	89,1
13	346359,4	759789,4	175,6	73,6	6,3
14	83895	532027,6	216,3	81,8	169,9
15	102814,3	517098,7	219,8	78,1	94,4
16	331088,8	1663186,8	245,4	14	106,8
17	315212,3	1516966,3	234,2	11,5	2,5
18	310032,9	786266,9	156,1	68,4	1,3
19	281172,6	505585,7	243,9	48,8	13,8
20	336184,3	774862,3	190	29,1	13,9
21	322576,8	1017079,4	107,5	25,5	94,2

22	209412,9	619561,3	169	11,4	63,9
23	157699,4	528852,1	90,7	77,3	0,8
24	344770,5	836732,8	147,8	50,4	39,3
25	188165,5	558759,5	236,1	74,1	25,1
26	239981,9	711955,3	145,8	19,2	98,9

Supplementary Table S3

Top upregulated platelet transcripts in ITP versus healthy controls (baseMean > 1,000).

Gene_Symbol	baseMean	log2Fold Change	padj	weight	Healthy Controls	ITP
MLEC	4376	2,64	9,96e-11	1,336	1343,9	10065,3
ATP6V1B2	3017,9	2,41	3,19e-16	1,239	738	4867,3
OSBP2	19732,6	2,34	1,60e-08	1,301	4821,4	26823,5
COL6A3	3798,1	2,21	4,18e-07	1,289	1187,8	7160,8
RAC2	2161,2	2,06	2,36e-13	1,392	647	3290,1
FCGR2A	4382	2,05	1,90e-06	1,27	1218,4	6005,4
SEL1L3	1897,2	2,02	6,96e-08	1,392	631,7	2965,3
AGPAT3	1484,3	1,91	1,11e-10	1,367	626,1	2649,5
MLC1	4363,4	1,91	2,71e-05	1,27	1514,5	6688,1
PGPEP1	1112,2	1,88	1,78e-05	1,392	419,7	1671
PACS2	1354,9	1,85	5,14e-11	1,367	561,4	2188,7
GRN	1153,6	1,85	3,18e-10	1,466	471,1	1879,3
CTSB	1546,5	1,81	1,74e-04	1,367	332,6	1210
PIM1	1424,1	1,77	1,43e-04	1,398	344,5	1302,2
ACOT7	2214,7	1,75	4,90e-12	1,276	1016,4	3699,4
NID1	4444,8	1,74	2,05e-09	1,301	1906	6874,3
QSOX1	1974,1	1,73	7,45e-08	1,398	846,6	3319,6
LOXL3	1789,8	1,71	1,28e-09	1,392	854,7	2828,9
P4HB	4783,5	1,7	2,19e-10	1,289	1854,1	6725,1
CALR	1802,4	1,7	5,94e-09	1,367	630,3	2394,2
RNPEPL1	5844,4	1,69	3,90e-08	1,27	2443,5	8562
SLC25A37	5387,8	1,68	3,82e-03	1,301	1230	4470,9
PFKL	1997,2	1,67	5,58e-10	1,398	922,1	3303,2
OS9	1175,6	1,66	1,01e-08	1,466	531,7	1900,6
SELENON	5473	1,66	8,54e-08	1,301	2574,2	8998,2
PLEKHM1	1138,2	1,65	8,87e-06	1,466	571	1990,9
SLC25A39	2533	1,65	5,11e-04	1,398	687,1	2349,3
RNH1	1857,2	1,63	1,17e-10	1,398	894,6	2914,6
PARVB	20972,4	1,63	7,70e-06	1,301	10923,3	38413,8
AGL	1177,9	1,63	1,22e-04	1,276	278,9	1079,5
SHC1	1251,9	1,62	6,87e-12	1,392	534	1837,8
EMC10	1462,4	1,62	1,59e-09	1,392	679,8	2169,8

XYLT2	1602,5	1,62	3,74e-08	1,392	876,9	3060,2
IFITM2	5254	1,62	0,012	1,336	1367	5888,6
PLEKHA2	2897,3	1,61	6,80e-07	1,336	1301,6	4030,3
KLHDC8B	2913,7	1,61	3,50e-04	1,301	1164,1	3948
PALM2AKAP2	7454,1	1,61	0,015	1,27	2792,8	11072,9
ENO1	11248,7	1,59	1,98e-13	1,239	5638,7	19326,2
ACADVL	2182,4	1,59	4,48e-09	1,276	1036,3	3663,5
SREBF2	5059	1,59	5,22e-09	1,27	2328,2	7774,2
NBEAL2	5821,2	1,59	6,41e-07	1,27	3125,6	10318,1
AGO2	8115,2	1,58	1,48e-09	1,289	4010,3	14236,6
RGP1	1204,5	1,58	6,01e-09	1,398	600,8	2035,1
TTYH3	18598,7	1,57	5,06e-06	1,289	9048,9	30024,7
ITGA2B	249290,5	1,56	1,98e-10	1,27	125376,7	414141
BTBD6	2267,4	1,54	2,90e-09	1,398	1070,4	3422,3
MACF1	12020,9	1,54	5,45e-09	1,27	5945,8	19567
PPP6R1	12610,9	1,53	2,08e-10	1,289	5890,5	19308,5
ITGB3	361173	1,53	3,80e-07	1,301	191073,2	636936,2
MAN2B1	1063,6	1,52	2,79e-10	1,276	509,2	1616,4
BORCS6	1947,8	1,51	9,55e-13	1,466	1086,1	3165,4
NIPAL3	2173,3	1,5	7,26e-07	1,466	1144,9	3902,6
HPSE	5878,6	1,5	4,63e-05	1,289	1967,5	6378,9
MAP1A	28826,9	1,5	1,34e-12	1,301	13624,4	43493,9

Supplementary Table S4

Top downregulated platelet transcripts in ITP versus healthy controls (baseMean > 1,000).

Gene_Symbol	baseMean	log2Fold Change	padj	weight	Healthy Controls	ITP
FANCL	1147	-2,96	3,36e-26	1,466	2413,8	281,8
DYTN	1746,5	-2,67	2,26e-15	1,276	3609	518,1
ACVR2A	3595,7	-2,62	7,41e-28	1,301	7025,8	1016,2
CLNS1A	1716,3	-2,59	9,56e-28	1,276	3305,8	504,3
SMARCA5	5639,3	-2,51	9,85e-21	1,239	10918,6	1784,6
MORC3	7778	-2,42	3,28e-22	1,336	14563,9	2527,3
CEP70	1218,8	-2,4	9,18e-20	1,398	2329,2	400,5
PHC3	4474,9	-2,39	3,44e-27	1,289	8413,2	1497,5
TTC27	1652,4	-2,38	6,27e-26	1,367	2990,4	550,2
UBAP2	3722,4	-2,37	1,75e-23	1,239	6771	1206,5
FIP1L1	1963,6	-2,34	1,69e-23	1,466	3750,8	676,1
SCLT1	5148,4	-2,34	4,55e-23	1,301	9666,9	1797,1
H2BC9	8006,1	-2,3	4,71e-12	1,336	14790,5	2612
RASA1	3558,8	-2,29	8,86e-27	1,301	6620,7	1270,3
LRCH3	1616,2	-2,26	1,73e-23	1,392	2960	567,3

CCDC7	2446,3	-2,26	9,94e-15	1,367	4647,2	908,9
CSNK1G3	2768	-2,25	7,41e-22	1,336	4985,6	977,2
MAGOHB	1000	-2,2	3,78e-10	1,276	1922,9	392,1
N4BP2L2	2464,5	-2,19	2,44e-20	1,367	4521,2	921,3
ZFAS1	1776,1	-2,18	4,51e-16	1,367	3171,8	616
PKN2	1054,1	-2,14	3,25e-23	1,398	1888,7	406,6
RHOBTB3	2733,5	-2,14	7,54e-11	1,336	4981,5	1035,7
SLAIN2	11531,8	-2,13	6,46e-30	1,239	21413,4	4530,9
ZNF292	1316,8	-2,12	1,70e-19	1,392	2340,4	491,6
ZNF438	1270,9	-2,12	1,73e-09	1,392	2531,5	512
MAP3K7CL	147136,6	-2,11	5,29e-10	1,289	261691,7	54679,1
NEMF	1771,8	-2,06	9,68e-21	1,276	3181,3	718
ANKRD12	5916,3	-2,02	7,58e-21	1,239	10244,7	2400,2
TBC1D31	2127,8	-2	7,07e-18	1,276	3668,6	880,8

Supplementary Table S5

Top 20 significantly enriched GO Biological Process terms of platelet transcripts in ITP.

GO Biological Process Terms Top 20	Enrichment Direction	Overlap	Adjusted p-value	Odds Ratio	Combined Score	Genes
Intracellular Protein Transport (GO:0006886)	UP	76/325	1.16e-11	3.24	107.73	ARF3;ARF1;CLTC;AP2A1;RAB22A;HERC2;AKT2;XPO6;FAM53C;KIF13B;KPNA6;AKT1;CHP1;TIMM17B;KPNA4;TNPO2;TMED4;KPNA1;YWHAH;ATP6AP1;DESI1;APLP2;VPS37C;RAB32;CTTN;HGS;CDC37;RAB35;ERP29;STX1A;ARF5;KPNB1;ARF6;NAPA;RTN2;COPA;RAB5B;TMED10;TSG101;STX16;STXBP1;RAB1B;STXBP2;VPS26C;KATNB1;PTTG1IP;VPS26B;STX11;HDAC6;GGA2;ARFRP1;LMAN1;SNX1;GGA3;SNX27;STX6;TBC1D13;SNX9;STX4;RAB6B;AP1M2;CTSA;HSPA9;RANBP3;TGFB1;SMURF1;SEC16A;SURF4;AP3D1;SEPTIN9;EHD1;SNX17;GIPC1;APEX1;UBAP1;CALR
Vesicle-Mediated Transport (GO:0016192)	UP	86/411	8.78e-11	2.79	85.98	ARF3;APP;ARF1;GDI1;ARHGAP1;INPPL1;WASH6P;AP2A1;FNBP1L;RAB22A;ACTR1A;DPYSL2;CHMP1A;CPNE1;AP1S1;KIF1B;AP5S1;VPS39;AP2M1;RUBCN;RALBP1;DTX3L;EXOC7;AP1B1;CSNK1D;EPS15L1;ANK1;MAPK8IP3;DNM1;EPN1;DNM2;HGS;DNAJC5;RAB35;EXOC3;PLIN3;KXD1;CHMP3;RHOU;CHMP6;SQSTM1;ARF5;CSNK1G2;STX1A;ARF6;NAPA;BECN1;RAB5B;TMED10;TSG101;MGRN1;STX16;STXBP1;STXBP2;LRP8;RHOBTB1;STX11;NCKIPSD;CYTH2;SNX27;AP2S1;STX6;STX4;SNX9;RILP;RAB11FIP3;AP1M2;ATP9A;VTI1B;AP1M1;SORT1;M6PR;AP3D1;MYO5A;SEPTIN9;EHD1;EHD2;EHD3;NECAP2;SNX17;SYT11;VPS41;CHMP2A;SPIRE1;LAMTOR1;CDK16
Ubiquitin-Dependent Protein Catabolic Process (GO:0006511)	UP	78/367	3.87e-10	2.83	82.10	GSK3A;UBE3C;UBXN2B;RNF14;TGFB1I1;ARRB1;UBE3B;ARRB2;ANKRD9;PSMD4;PSMD2;CHMP1A;ARIH2;FBXO7;FBXO9;FBXW5;DTX3L;FBXW11;AXIN1;VPS37C;KCTD2;RAD23A;SIRT2;RNF40;PJA2;DDB1;CDC34;IFI27;UBE2R2;KCTD10;TRIM13;CHMP3;RBCK1;CHMP6;SQSTM1;VCP;PSMD11;TSG101;UBR4;CBL;RNF5;ANAPC11;BAG6;RMND5B;RNF213;SHARPIN;HECTD1;OS9;RNF215;TBL1X;DCAF11;RFFL;UBQLN4;UBL4A;KLHDC3;ZRANB1;UBE2H;FEM1A;USP9X;SMURF1;AMFR;UBE2A;CHFR;SPSB3;CUL4A;SPSB1;PINK1;NPLOC4;TOLLIP;GID8;RLIM;CHMP2A;CTNNB1;UBAP1;TRIP12;UBA1;STUB1;RNF187
Phosphorylation (GO:0016310)	UP	80/429	7.98e-09	2.52	64.07	GPI;APP;DYRK3;GSK3A;DGKD;PANK3;ILK;LIMD1;HK1;RPTOR;STK11;RB1CC1;PIM1;AKT1;PDK3;PRKACA;PDK2;JAK1;BRD2;MAP4K2;MAP2K1;PRKCB;PDPK1;SPHK1;CSNK2A2;DAPK3;PRKCD;MINK1;PRKCA;CSNK1D;ATG13;DGKZ;TGFBR2;ERN1;ILF3;LATS2;PIK3CA;MAPKAPK2;FAM20B;ULK1;TNIK;SIK2;CSNK1G2;BECN1;CTBP1;PDGFB;ACVR1B;TKFC;GRK2;IRAK1;MKNK1;STK38;GRK6;MKNK2;PGK1;MAPK1;PTK2B;CSK;FYN;MARK4;MAPK6;MARK2;MAP4K4;MAPK3;TGFB1;TNK2;LIMK1;CDC42BPB;HIPK2;CDK9;BCKDK;PINK1;STK24;WNK1;TOLLIP;TAOK2;PI4KA;TAF6;PKN1;CDK16
Endosomal Transport (GO:0016197)	UP	47/180	7.98e-09	3.68	93.47	SLC66A2;DCTN1;STX16;CLTC;VPS26C;ARHGAP1;SNX12;WASH6P;VPS26B;LAPTM4B;ARFRP1;SNX1;SNX27;CHMP1A;STX6;SNX9;TBC1D17;AP5S1;RAB11FIP3;RAB6B;RILP;VPS39;PLEKHJ1;TBC1D10B;VTI1B;PHETA2;ANKRD27;SORT1;GBF1;PLEKHA3;EPS15L1;PHETA1;RAB11B;EHD1;RGP1;EHD2;EHD3;HGS;SNX17;RAB35;CHMP2A;UBE2O;CHMP3;LAMTOR1;VAMP4;SQSTM1;ARF6
Protein Modification Process (GO:0036211)	UP	114/711	1.39e-08	2.11	51.92	APP;ARAF;F13A1;PLOD2;JADE2;CDC14B;PPP1CB;GOLGA2;PPP1CC;STK11;PPP2R1A;AKT2;PIM1;AKT1;PDK3;PRKACA;SBF1;PDK2;MAP2K1;PRKCB;FBXW11;CSNK2A2;DAPK3;PRKCD;PRKCA;CSNK1D;ATG13;FBXW2;CTDNEP1;ERN1;ILF3;CDC34;MAPKAPK2;ULK1;TNIK;SIK2;CSNK1G2;MTMR3;EPB42;UBA7;CTBP1;PDGFB;GRK2;IRAK1;MAN2A2;STK38;GRK6;MARK4;ST3GAL1;MARK2;TGFB1;SSH1;CDK9;MSRA;STK24;WNK1;MAN2B1;CDK16;UBE2M;PIGS;GPI;DYRK3;GSK3A;GPAA1;ILK;PTPRJ;TRIOBP;ING4;SERP1;RB1CC1;JAK1;BRD2;MAP4K2;PARP4;PDPK1;MINK1;WIPI2;SUMF1;TGFBR2;LATS2;CTDSP1;CTDSP2;FAM20B;ATG4D;BECN1;PPM1L;WDR45B;PPM1M;ACVR1B;PPP2CA;PPP2CB;MKNK1;MKNK2;MAPK1;PTK2B;CSK;FYN;MAPK6;MAP4K4;MAPK3;UBL4A;PTPN1;LIMK1;PTPN11;CDC42BPB;HIPK2;PPP1CA;BCKDK;PINK1;TAOK2;MGAT4B;PTPN6;TAF6;PKN1
Protein Transport (GO:0015031)	UP	66/313	1.63e-08	2.79	68.05	ARF3;ARF1;RAB3D;CLTC;ARHGAP1;AP2A1;CLU;RAB22A;HERC2;CHMP1A;TIMM17B;ABCD1;TMED4;YWHAH;PRKCB;TANGO2;SCAMP2;DNM2;RAB32;CTTN;CANX;RAB35;ERP29;CHMP3;MYH9;OPTN;STX1A;ARF5;ARF6;NAPA;MACF1;COPA;RAB5B;NECAB3;TMED10;STX16;STXBP1;RAB1B;STXBP2;VPS26C;VPS26B;STX11;HDAC6;GGA2;ARFRP1;NEURL1B;SNX1;GGA3;SNX27;STX6;TBC1D13;SNX9;STX4;RAB6B;RILP;CTSA;HSPA9;SURF4;AP3D1;SEPTIN9;RAB11B;EHD1;GOLPH3;SNX17;CHMP2A;COPG1
Regulation Of Autophagy (GO:0010506)	UP	55/241	2.77e-08	3.08	73.04	GSK3A;GOLGA2;RPTOR;TRIM8;STK11;CAPNS1;RB1CC1;AKT1;GPR137;PIP4K2B;CAPN1;PRKACA;RUBCN;ATP6V0B;EXOC7;CSNK2A2;DAPK3;ATG13;SIRT2;SREBF2;ERN1;CCNY;FKBP8;ATP6V1B2;TRIM58;ULK1;SMCR8;ATP6V0D1;ATP6V0C;SQSTM1;GAPDH;OPTN;ATP6V1A;BECN1;MTMR3;ITPR1;HTRA2;FOXK1;VPS26B;FOXO3;FOXO1;HDAC6;ORMDL3;PSAP;VHL;DCAF12;ATP6V0A1;CTSA;TPCN1;DAP;PINK1;TAB3;ATP13A2;CDK16;EIF4G1
Protein Localization (GO:0008104)	UP	70/351	4.58e-08	2.61	60.13	ARF3;ARF1;CLTC;AP2A1;PRPF19;ACTB;RAB22A;HERC2;TIMM17B;ABCD1;TMED4;YWHAH;ATG9A;WIPI2;ATG13;RAB32;RAP2A;CTTN;PACS2;HGS;RAB35;ERP29;ULK1;SQSTM1;STX1A;ARF5;VCL;ARF6;ATG4D;NAPA;COPA;RAB5B;TMED10;STX16;WDR45B;STXBP1;RAB1B;STXBP2;VPS26C;VPS26B;MESD;STX11;TM9SF4;CORO1B;HDAC6;GGA2;ARFRP1;SNX1;GGA3;SNX27;STX6;TBC1D13;FLNA;SNX9;STX4;RAB6B;CTSA;HSPA9;USP9X;SMURF1;AP3D1;NBEAL2;SEPTIN9;EHD1;NIN;SNX17;ABHD17A;APEX1;CTNNB1;LAMTOR1
Proteasome-Mediated Ubiquitin-Dependent Protein Catabolic Process (GO:0043161)	UP	65/319	7.50e-08	2.67	60.08	RNF10;GSK3A;UBXN2B;ARRB1;AUP1;ARRB2;ANKRD9;PSMD4;PSMD2;MAN1A1;FBXO7;FBXO9;FBXW5;FBXW11;AXIN1;YOD1;KCTD2;RAD23A;SIRT2;PJA2;DDB1;CDC34;IFI27;KCTD10;CANX;TRIM13;RBCK1;VCP;PSMD11;UBE2J2;RNF5;USP19;ANAPC11;UBE2J1;BAG6;FBXL20;RMND5B;FZR1;SHARPIN;HECTD1;OS9;TMEM129;TBL1X;DCAF11;RFFL;DCAF12;KLHDC3;FEM1A;RHBDD2;SMURF1;EDEM1;AMFR;TMUB1;UBE2A;SPSB3;CUL4A;SPSB1;NPLOC4;RNF103;GID8;CTNNB1;TRIP12;STUB1;CALR;RNF187
Endocytosis (GO:0006897)	UP	45/189	2.65e-07	3.25	68.55	ITGB1;APP;RAB5B;CLTC;INPPL1;AP2A1;CORO1A;LRP8;MESD;RHOBTB1;RAB22A;TM9SF4;NCKIPSD;CYTH2;NEURL1B;DPYSL2;PACSIN2;AP1S1;MAPK1;SNX9;PIP5K1C;LDLRAP1;SCARF1;ATP9A;PDLIM7;MAPK3;RALBP1;SORT1;M6PR;ANXA11;CSNK1D;C1ORF43;EPS15L1;DNM1;EPN1;DNM2;EHD1;GAK;EHD2;EHD3;NECAP2;CTTN;PECAM1;RHOU;CSNK1G2

Macroautophagy (GO:0016236)	UP	30/104	1.46e-06	4.19	80.97	ILRUN;BECN1;VCP;MTMR3;TSG101;SRC;MTMR14;MAP1LC3A;CHMP1A;PIP4K2B;VHL;VPS39;UBXN6;VTI1B;GABARAPL1;TGFB1;LIX1L;VPS37C;YOD1;WIPI2;HGS;VPS41;CHMP2A;PLEKHM1;CHMP3;ULK1;ATP13A2;CALR;CHMP6;SQSTM1
Positive Regulation Of Cellular Catabolic Process (GO:0031331)	UP	36/146	4.17e-06	3.39	61.64	APP;BECN1;GSK3A;IRS2;FURIN;ZC3HAV1;FOXO3;FOXO1;RPTOR;TRIM8;STK11;AKT2;KHSRP;RB1CC1;ORMDL3;SNX9;ABCD1;SNCA;UPF1;PTPN1;DTX3L;PRKCD;NRDC;ATG13;GTPBP1;ADRA2A;TPCN1;CCNY;TTC5;PRXL2C;TRIM58;ULK1;SQSTM1;OPTN;CDK16;PNPLA2
Positive Regulation Of Protein Kinase Activity (GO:0045860)	UP	35/145	1.09e-05	3.29	56.46	CDKN1A;HSP90AB1;RALB;CAB39;SRC;ITGB3;SYAP1;PDGFB;CLU;LRP8;RPTOR;PPP2CA;STK11;PTK2B;SNX9;MARK2;SNCA;MAP2K3;PTPN1;MAP2K1;XRCC6;MAP2K2;XRCC5;PRKCD;AXIN1;ADRA2A;RHOA;TGFBR2;DLG4;TAOK2;CASS4;JTB;RAPGEF2;CALM3;CALM1
Chromatin Remodeling (GO:0006338)	DOWN	38/228	1.24e-05	3.26	61.91	RB1;LIN54;SETD2;USP15;INO80D;KDM1A;HP1BP3;CHD6;RSF1;BAZ2B;CTCF;CHD2;PRIMPOL;MIER1;PWWP2A;ARID2;SKP1;BPTF;SS18;SMARCC1;NPM1;BICRAL;CBX3;USP3;SETDB2;ATRX;SMARCA5;INO80;BAZ1A;DEK;UCHL5;RNF168;TADA2A;RYBP;APLF;WAC;ASF1A;CGGBP1
Protein Modification By Small Protein Conjugation (GO:0032446)	DOWN	51/364	1.24e-05	2.67	49.90	ZNF451;CCAR1;HERC4;SUMO1;KIAA1586;SUMO2;TRIM24;SKP1;PCMTD1;SHPRH;FBXW7;FBXO11;PIAS2;PIAS1;RBX1;RNF168;UBE2V2;BIRC6;UBA52;CUL5;DCUN1D4;CUL2;DCUN1D1;UBR3;NEDD8;UBR1;RCHY1;HDAC9;PCNP;RNF138;NAE1;BARD1;BRAP;RANBP2;SLF1;SLF2;CRBN;UBE2C;KLHL24;CNOT4;COPS4;COPS3;ITCH;COPS5;NEDD4;COPS2;KLHL8;UBA3;UBA2;TRIM33;NFE2L2
Protein Phosphorylation (GO:0006468)	UP	78/500	2.04e-05	2.02	32.86	GPI;APP;DYRK3;GSK3A;MAST4;MAST3;ILK;IGF1R;STK11;AKT2;RB1CC1;PIM1;AKT1;PDK3;PRKACA;PDK2;JAK1;BRD2;MAP4K2;MAP2K1;PRKCB;PDPK1;CSNK2A2;DAPK3;PRKCD;MINK1;PRKCA;CSNK1D;ATG13;UHMK1;TGFBR2;ERN1;ILF3;LATS2;MAPKAPK3;MAPKAPK2;FAM20B;ULK1;TNIK;SIK2;CSNK1G2;BECN1;CAB39;CTBP1;SRC;PDGFB;ACVR1B;GRK2;IRAK1;MKNK1;STK38;GRK6;MKNK2;MAPK1;PTK2B;CSK;FYN;MARK4;MAPK6;MARK2;MAP4K4;MAPK3;TGFB1;LIMK1;CDC42BPB;MAPK14;HIPK2;CDK9;BCKDK;PINK1;STK24;WNK1;TAOK2;PTPN6;ATP13A2;TAF6;PKN1;CDK16
Organelle Organization (GO:0006996)	UP	70/418	2.04e-05	2.13	34.80	DYRK3;NUMA1;UBXN2B;MAST4;SH3KBP1;MAST3;AUP1;FNBP1L;LIMD1;GOLGA2;SEC61A1;CAPZB;DPYSL2;CFL1;CHMP1A;TRAPPC12;MYO18A;SH3BGRL3;ABCD1;TMED4;TANGO2;TPM1;VPS13D;CSNK1D;ANK1;RAB32;GAK;TBC1D20;KAT6A;GORASP1;CHMP3;RHOU;TNIK;CHMP6;OPTN;TMED10;RAB1B;HTT;TOR1AIP2;CNN2;NCKIPSD;LMAN1;SLC9A3R1;ARHGAP21;RHOT2;STRIP2;PACSIN2;STX4;MARK4;RAB6B;CENPT;ZRANB1;DMTN;ATP8B2;SORT1;SEC16A;SURF4;GBF1;MICAL3;MICAL2;CDC42BPB;FMNL3;DIAPH1;PINK1;GOLPH3;NPLOC4;GOLGB1;RANBP10;CHMP2A;NECTIN2
Protein Ubiquitination (GO:0016567)	UP	73/434	2.04e-05	2.11	34.44	RNF10;UBE3C;RNF14;FBH1;ARRB1;ARRB2;UBE3B;PRPF19;DDA1;ANKRD9;BABAM2;HERC2;UBE2Q1;RACK1;ARIH2;FBXO7;FBXO9;RNF44;USP7;FBXW5;WSB2;DTX3L;FBXW11;RNF208;PJA2;DDB1;TRAF7;CDC34;UBE2R2;KCTD10;TRIM13;SDE2;TRIM58;RBCK1;TRIM56;MARCHF2;VCP;MGRN1;PELI2;KLHL12;UBE2J2;CBL;FAAP20;ANAPC11;UBE2J1;RNF213;OS9;UBB;TMEM129;MARCHF8;VHL;UBE2H;USP9X;SMURF1;AMFR;HUWE1;UBE2A;CHFR;CUL4A;SPSB1;UBOX5;PINK1;RNF103;OTULIN;MKRN1;RLIM;TRIM35;CTNNB1;UBE2O;STUB1;TRIP12;UBA1;RNF187
Protein Neddylation (GO:0045116)	DOWN	10/22	1.74e-04	13.41	29.45	COPS4;COPS3;COPS5;COPS2;DCUN1D4;DCUN1D1;UBA3;NEDD8;NAE1;RBX1

Supplementary Table S6

Top 20 significantly enriched Reactome pathways of platelet transcripts in ITP.

Reactome Pathways Top 20	Enrichment Direction	Overlap	Adjusted p-value	Odds Ratio	Combined Score	Genes
Immune System R-HSA-168256	UP	308/1943	8.37e-27	2.24	151.51	IFITM3;CYFIP1;APP;IFITM2;AHCYL1;WIPF2;ICAM2;SLA2;HERC2;HERC1;PSMD4;PPP2R1A;AKT2;PSMD2;CPNE1;AKT1;AP1S1;CPNE2;FBXO7;FBXO9;ARSA;RSAD2;PRKCB;PRKCD;AP1B1;HLA-B;TALDO1;HLA-C;PRKCA;HLA-A;HLA-F;HLA-E;RNF123;CDC34;IFI27;BIN2;ORAI2;PSME1;RBCK1;ATP6V0D1;STX1A;NLRX1;TMEM63A;STXBP2;IQGAP2;UBE2J2;GNS;ANAPC11;UBE2J1;NCSTN;PRDX5;RNF213;CYB5R3;MLEC;FADD;ATP6V0A1;VAT1;VASP;CTSA;STAT5B;CREBBP;XRCC6;XRCC5;SURF4;MYO5A;NBEAL2;UBAC1;TREML1;TOLLIP;GRB2;CALR;CALM1;PYGB;CDKN1A;SLC44A2;SH3KBP1;ARPC1B;RPLP0;CTSZ;CLTC;CLTA;PTPRJ;AP2A1;TRIM8;ACTR1A;NKIRAS2;RAC2;ARIH2;QSOX1;IKBKG;SPTAN1;CTSD;CTSC;JAK1;CTSB;ATP6V0B;DUSP3;DBNL;BTN3A1;GSTO1;TUBB;IL16;ANO6;DYNLL2;LRRC41;RHOA;DUSP7;SERPINB6;IL17RA;RAP2C;RAP2B;CANX;TCP1;RHOU;PLEKHO2;CD46;ATP6V0C;DNASE1L1;CD63;GRN;CAB39;PELI2;WAS;IFI6;PPP2CA;CST3;PPP2CB;ORMDL3;AP2S1;FLNA;STX4;DYNC1H1;GSN;AGL;HUWE1;MYO9B;TUBB4B;SPSB1;HNRNPA2B1;RLIM;CTNNB1;TRIP12;PKN1;LAMTOR1;OTUD5;UBE3C;PROS1;RAB3D;INPPL1;F13A1;IRS2;UBE3B;UBE2Z;SRP14;CLU;ACTG1;LAMP1;COTL;KPNA4;CAPN1;AP2M1;KPNA1;KCMF1;MAP2K3;CD96;MAP2K1;FBXW5;FBXW11;ATP11B;ATP11A;FBXW2;KCTD7;ACLY;MAPKAPK3;STIM1;RAB37;MAPKAPK2;ELMO2;SQSTM1;KPNB1;VCL;ATP6V1A;RAB5B;VCP;PSMD11;UBA7;SHC1;UBR4;ITPR1;ITPR2;FOXO3;RASGRP2;PLD3;FOXO1;CNN2;SOCS2;NCKIPSD;TKFC;PDZD2;DPP7;IRAK1;UBB;BTBD1;KIF3C;AP1M2;AP1M1;SOCS5;ATP6V1F;RAP1GAP2;HSPA9;HSPA8;UBE2H;TGFB1;SMURF1;ZBTB16;MSN;UBE2A;BTBD6;EEF2;DIAPH1;UBOX5;MAVS;MKRN1;UBE2O;TAB3;UBA1;MAN2B1;HPSE;UBE2M;BCL2L1;EIF4G1;ITGB1;HSP90AB1;B4GALT1;ITGB5;PRKCSH;RNF14;ADAR;DDX41;ALAD;CASP9;SEC61A1;CAPZB;UBE2Q1;CASP4;GUSB;UNKL;HGSNAT;EGFL7;DTX3L;PDPK1;RNASET2;KCNAB2;DNM1;PJA2;TAPBP;DNM2;TRAF7;PKM;PIK3CA;UBE2R2;DNAJC5;TMBIM1;ATP6V1B2;PECAM1;MYH9;EVL;SEC22B;TRIM56;BECN1;SEC23A;CANT1;SRC;MGRN1;DCTN1;CBL;FBXL20;FZR1;HECTD1;POLR2E;STOM;PTK2B;MAPK1;FYN;CSK;VHL;SH2B3;WASF2;GBP4;MAPK3;PTPN1;LIMK1;PTPN11;MAPK14;ATOX1;SOD1;TSPAN14;PFKL;FCGR2A;GLB1;P2RX1;TRIM35;STUB1;PTPN6;CCM2;P4HB;NECTIN2
Platelet Activation, Signaling And Aggregation R-HSA-76002	UP	79/254	4.25e-21	4.78	256.18	LGALS3BP;APP;ECM1;SPARC;DGKD;WDR1;PROS1;ITGB3;ITGA2B;F13A1;CTSW;ARRB1;ARRB2;CLU;RAC2;AKT1;QSOX1;VWF;PRKCB;PDPK1;ACTN1;APLP2;PRKCD;PRKCA;ACTN4;GTPBP2;DGKZ;RHOA;TUBA4A;ADRA2A;PIK3CA;PECAM1;PFN1;TLN1;MGLL;VCL;TOR4A;CD63;SHC1;SRC;STXBP2;ENDOD1;PDGFB;ITPR1;ITPR2;RASGRP2;PIK3R6;GNAI2;GNA15;TBXA2R;GNA12;FLNA;MAPK1;STX4;CSK;FYN;LY6G6F;VTI1B;MAPK3;PTPN1;TGFB1;EGF;PTPN11;GP6;MAPK14;GP5;SOD1;GP9;GNAQ;GNB2;GNB1;PCYOX1L;GRB2;MAGED2;PTPN6;GNB5;CALM1;FERMT3;F2RL3
Innate Immune System R-HSA-168249	UP	178/1035	4.27e-20	2.45	124.77	OTUD5;CYFIP1;APP;AHCYL1;WIPF2;PROS1;RAB3D;ICAM2;SRP14;CLU;ACTG1;PSMD4;LAMP1;PPP2R1A;PSMD2;CPNE1;COTL1;CPNE2;CAPN1;KCMF1;MAP2K3;ARSA;MAP2K1;FBXW11;PRKCD;HLA-B;HLA-C;ATP11B;PRKCA;ATP11A;HLA-A;HLA-E;ACLY;CDC34;MAPKAPK3;BIN2;RAB37;MAPKAPK2;PSME1;ELMO2;ATP6V0D1;KPNB1;VCL;ATP6V1A;VCP;RAB5B;NLRX1;TMEM63A;PSMD11;UBA7;SHC1;ITPR1;UBR4;ITPR2;IQGAP2;RASGRP2;GNS;PLD3;CNN2;NCKIPSD;NCSTN;PRDX5;CYB5R3;TKFC;DPP7;PDZD2;IRAK1;UBB;MLEC;FADD;AP1M1;ATP6V0A1;ATP6V1F;CTSA;VAT1;HSPA8;CREBBP;XRCC6;XRCC5;SURF4;MYO5A;NBEAL2;EEF2;DIAPH1;MAVS;TOLLIP;TAB3;GRB2;MAN2B1;HPSE;CALM1;UBE2M;BCL2L1;PYGB;HSP90AB1;B4GALT1;PRKCSH;SLC44A2;ARPC1B;CTSZ;PTPRJ;DDX41;ALAD;CASP9;NKIRAS2;CASP4;RAC2;QSOX1;IKBKG;GUSB;CTSD;SPTAN1;CTSC;CTSB;HGSNAT;ATP6V0B;EGFL7;DUSP3;DBNL;PDPK1;RNASET2;TUBB;ANO6;KCNAB2;RHOA;DNM1;DUSP7;SERPINB6;DNM2;RAP2C;RAP2B;PKM;PIK3CA;DNAJC5;TMBIM1;ATP6V1B2;PECAM1;MYH9;PLEKHO2;CD46;ATP6V0C;TRIM56;DNASE1L1;CD63;GRN;CANT1;CAB39;SRC;PELI2;CST3;PPP2CA;PPP2CB;ORMDL3;POLR2E;MAPK1;STOM;FYN;WASF2;MAPK3;DYNC1H1;GSN;AGL;LIMK1;HUWE1;MYO9B;PTPN11;MAPK14;TUBB4B;ATOX1;TSPAN14;PFKL;FCGR2A;GLB1;P2RX1;CTNNB1;PTPN6;PKN1;LAMTOR1
Membrane Trafficking R-HSA-199991	UP	131/599	4.35e-20	3.01	152.11	APP;GCC1;FNBP1L;UBE2Z;GOLGA2;AKT2;TRAPPC12;AKT1;AP1S1;SBF1;AP2M1;AGFG1;TBC1D10B;SH3GL1;PRKAB2;AP1B1;CSNK1D;ANK1;RAB32;RALGAPB;TBC1D20;HGS;MADD;RAB35;TBC1D25;ULK1;OPTN;RAB5B;COPA;TSG101;GNS;TGOLN2;BLOC1S6;GRK2;MAN2A2;UBB;PACSIN2;TBC1D13;SNX9;PIP5K1C;KIF3C;TBC1D17;RAB6B;AP1M2;AP1M1;HSPA8;ANKRD27;HOMER2;SEC16A;HPS1;SURF4;M6PR;MYO5A;PUM1;TMEM115;GOLGB1;CHMP2A;GRB2;CALM1;COPE;ARF3;MCFD2;GDI1;SH3KBP1;CLTC;CTSZ;CLTB;CLTA;ARRB1;AP2A1;ARRB2;ACTR1A;CAPZB;PPP6R1;KIF13B;KIF1B;MAN1A1;LDLRAP1;SPTAN1;CTSC;YWHAG;YWHAH;EXOC7;VPS37C;EPS15L1;REXO2;DYNLL2;SPTB;DNM1;EPN1;ARFGAP2;DNM2;GAK;CTTN;GORASP1;TBC1D7;EXOC3;PLIN3;MYH9;NAA38;VAMP4;SEC22B;CHMP6;ARF5;ARF6;SEC23A;SRC;STX16;DCTN1;RAB1B;CBL;AGPAT3;GGA2;ARFRP1;LMAN1;CYTH2;GGA3;CUX1;LMAN2;AP2S1;STX6;STX4;DYNC1H1;SORT1;EGF;GALNT2;TRAPPC10;GALNT1;NECAP2;UBAP1;COPG1

Vesicle-mediated Transport R-HSA-5653656	UP	134/637	4.56e-19	2.86	137.38	APP;SPARC;GCC1;FNBP1L;UBE2Z;GOLGA2;AKT2;TRAPPC12;AKT1;AP1S1;SBF1;AP2M1;AGFG1;TBC1D10B;SH3GL1;PRKAB2;AP1B1;CSNK1D;ANK1;RAB32;RALGAPB;TBC1D20;HGS;MADD;RAB35;TBC1D25;ULK1;OPTN;RAB5B;COPA;TSG101;GNS;TGOLN2;BLOC1S6;GRK2;MAN2A2;UBB;PACSIN2;TBC1D13;SNX9;PIP5K1C;KIF3C;TBC1D17;RAB6B;AP1M2;AP1M1;HSPA8;ANKRD27;HOMER2;SEC16A;HPS1;SURF4;M6PR;MYO5A;PUM1;TMEM115;GOLGB1;CHMP2A;GRB2;CALR;CALM1;COPE;ARF3;MCFD2;GDI1;SH3KBP1;CLTC;CTSZ;CLTB;CLTA;ARRB1;AP2A1;ARRB2;ACTR1A;CAPZB;PPP6R1;KIF13B;KIF1B;MAN1A1;LDLRAP1;SPTAN1;SCARF1;CTSC;YWHAG;YWHAH;EXOC7;VPS37C;EPS15L1;REXO2;DYNLL2;SPTB;DNM1;EPN1;ARFGAP2;DNM2;GAK;CTTN;GORASP1;TBC1D7;EXOC3;PLIN3;MYH9;NAA38;VAMP4;SEC22B;CHMP6;ARF5;ARF6;SEC23A;SRC;STX16;DCTN1;RAB1B;CBL;AGPAT3;GGA2;ARFRP1;LMAN1;CYTH2;GGA3;CUX1;LMAN2;AP2S1;STX6;STX4;DYNC1H1;SORT1;EGF;GALNT2;TRAPPC10;GALNT1;NECAP2;UBAP1;COPG1
Signal Transduction R-HSA-162582	UP	331/2465	1.13e-18	1.87	87.95	CYFIP1;APP;AHCYL1;TRIO;SPARC;TRRAP;WIPF2;ARAF;SPINT2;F11R;FNBP1L;GOLGA3;PSMD4;PPP2R1A;AKT2;PSMD2;AKT1;PDK3;PIP4K2B;PDK2;PRKAB2;PRKCB;ACTN1;STARD8;PRKCD;CSNK2A2;MRTFA;PRKCA;UHMK1;MYL6;CDC37;PSME1;RBCK1;TLN1;ATP6V0D1;PFN1;MYL9;CTBP1;PDGFB;IQGAP2;PIK3R6;ABR;RHOT2;NCSTN;PRKAR2B;RDH10;PIP5K1C;FADD;ATP6V0A1;STAT5B;CREBBP;ZRANB1;PHC1;JUND;HOMER2;RCC2;PDE2A;MEMO1;AGO1;AGO2;RANBP10;GRB2;CALM1;RET;CDKN1A;SH3KBP1;ARPC1B;CLTC;ARHGAP1;CLTB;CLTA;PTPRJ;AP2A1;PCSK6;ARHGAP6;RPTOR;AKAP13;TUBA1B;SUFU;PEA15;RAC2;RACK1;NELFB;IKBKG;SPTAN1;CTSD;JAK1;NDEL1;LYPLA1;NUDC;ATP6V0B;DUSP3;SPHK1;TCF12;EPS15L1;GMIP;RHOC;DYNLL2;LRRC41;RHOA;DUSP7;NCOR2;KAT2B;CTTN;RAPGEF2;PLIN3;TAX1BP3;RHOU;ATP6V0C;MGLL;DBN1;ARHGEF6;ARF6;CAB39;RFNG;GNAI2;PPP2CA;NEURL1B;PPP2CB;LMAN1;GGA3;OS9;AP2S1;CTNNA1;FLNA;CKB;TBL1X;MEF2D;CENPT;BCAP31;DYNC1H1;KIDINS220;USP9X;NR1H2;MYO9B;PPP1CA;GATAD2A;SKI;XK;SHKBP1;OTULIN;TACC3;CTNNB1;PKN1;LAMTOR1;F2RL3;DGKD;NAB1;ITGA2B;ATN1;IRS2;ARHGAP35;ACTG1;IGF1R;PPP1CB;YY1;PPP1CC;STK11;CCND3;ARHGDIA;MAF1;AP2M1;SH3GL1;TLE3;USP7;MAP2K1;MAP2K2;TPM4;TPM3;CTNNBIP1;GTF2F1;DGKZ;DOK1;MAPKAPK3;HGS;MFNG;MAPKAPK2;MADD;ELMO2;PKP4;SQSTM1;CSNK1G2;VCL;ATP6V1A;KMT2D;KHDRBS1;GNAZ;VCP;PSMD11;SHC1;ITPR1;LTBP4;ARL2;ITPR2;KLHL12;ARHGAP17;FOXO4;SLC1A5;FOXO3;RASGRP2;FOXO1;RHOBTB1;NCKIPSD;STIP1;ARHGAP21;GRK2;SHARPIN;PDZD2;IRAK1;UBB;TBXA2R;GRK6;STK38;DVL3;PLTP;ATP6V1F;CBX6;TGFB1;SMURF1;CDK9;DIAPH1;STK24;GNB2;GNAQ;GNB1;MKRN1;TAB3;GNB5;UBE2M;BCL2L1;EIF4G1;ITGB1;DOCK5;GSK3A;HSP90AB1;B4GALT1;ITGB5;PRKCSH;ITGB3;ATP2A3;ATP2A2;ARRB1;CHD4;MTR;YBX1;ARRB2;CHD3;CASP9;LYL1;PTBP1;CAPZB;NCK2;FLOT1;FLOT2;GPSM3;YWHAG;YWHAH;PLEKHG3;PTGIR;ARHGEF12;ATP6AP1;KSR1;VWF;PDPK1;AXIN1;IQCE;ARHGEF18;ARAP1;REXO2;RANGAP1;SPTB;EPN1;DNM1;ADRA2A;DNM2;ARFGAP2;TGFBR2;TFDP1;LATS2;RASA3;PIK3CA;ATP6V1B2;COL6A3;MYH9;EVL;HDAC5;RALB;HDAC3;SRC;HDAC1;SRF;FURIN;CBL;ACVR1B;HDAC6;HDAC7;DNAJB1;GNA15;FZR1;MKNK1;GNA12;E2F1;POLR2E;STOM;PTK2B;MAPK1;FYN;CSK;VHL;RBBP7;HNRNPA1;MAPK6;SH2B3;WASF2;EIF4B;MAPK3;H2AZ2;PTPN1;EGF;LIMK1;PTPN11;CFLAR;CDC42BPB;MAPK14;FMNL3;ABHD17A;RPS6KB2;STUB1;PTPN6;P4HB;TNRC6B
Hemostasis R-HSA-109582	UP	118/576	1.11e-17	2.87	127.41	APP;DGKD;SPARC;PROS1;ITGA2B;F13A1;F11R;CLU;PPP2R1A;BSG;AKT1;SLC16A3;GUCY1A1;PRKCB;ACTN1;APLP2;PRKCD;IRAG1;PRKCA;ACTN4;GTPBP2;DGKZ;TUBA4A;DOK2;;STIM1;ORAI2;PFN1;TLN1;ZFPM1;VCL;SHC1;STXBP2;ENDOD1;PDGFB;ITPR1;ITPR2;RASGRP2;GATA1;GLG1;PIK3R6;PRKAR2B;TBXA2R;KCNMB1;KIF3C;VTI1B;TGFB1;PDE2A;GP6;GP5;EHD1;EHD2;GP9;EHD3;MAFG;GNAQ;GNB2;GNB1;MAFK;GRB2;MAGED2;GNB5;CALM1;FERMT3;ITGB1;LGALS3BP;DOCK5;ECM1;WDR1;ITGB3;ATP2A3;ATP2A2;ARRB1;CTSW;ARRB2;CAPZB;KIF13B;RAC2;HMG20B;KIF1B;QSOX1;PTGIR;VWF;PDPK1;ADRA2A;RHOA;SERPINB6;SLC7A5;PIK3CA;PECAM1;MGLL;TOR4A;CD63;HDAC1;SRC;LRP8;GNAI2;PPP2CA;PPP2CB;GNA15;GNA12;FLNA;MAPK1;STX4;CSK;FYN;SH2B3;LY6G6F;MAPK3;PTPN1;EGF;PTPN11;MAPK14;SOD1;SLC8A3;P2RX1;PCYOX1L;PTPN6;F2RL3
Signaling By Rho GTPases R-HSA-194315	UP	115/644	2.81e-16	2.65	108.46	CYFIP1;TRIO;WIPF2;FNBP1L;ARHGAP35;ACTG1;PPP1CB;PPP1CC;GOLGA3;PPP2R1A;ARHGDIA;TPM4;PRKCB;TPM3;STARD8;ACTN1;PRKCD;MRTFA;PRKCA;MYL6;HGS;CDC37;ELMO2;PKP4;PFN1;MYL9;VCP;ARHGAP17;SLC1A5;IQGAP2;RHOBTB1;NCKIPSD;ABR;STIP1;ARHGAP21;PDZD2;STK38;DVL3;HOMER2;RCC2;DIAPH1;GRB2;CALM1;ITGB1;DOCK5;HSP90AB1;PRKCSH;ARPC1B;CLTC;ARHGAP1;MTR;ARHGAP6;AKAP13;TUBA1B;CAPZB;NCK2;RAC2;FLOT1;FLOT2;SPTAN1;YWHAG;NDEL1;YWHAH;PLEKHG3;NUDC;ARHGEF12;ATP6AP1;PDPK1;ARHGEF18;ARAP1;GMIP;RANGAP1;REXO2;RHOC;DYNLL2;RHOA;ARFGAP2;PIK3CA;CTTN;MYH9;EVL;RHOU;TAX1BP3;DBN1;ARHGEF6;SRC;SRF;PPP2CA;LMAN1;PPP2CB;FZR1;CTNNA1;FLNA;MAPK1;PTK2B;STOM;CSK;CKB;WASF2;MAPK3;CENPT;BCAP31;H2AZ2;DYNC1H1;KIDINS220;USP9X;LIMK1;MYO9B;CDC42BPB;MAPK14;FMNL3;SHKBP1;CTNNB1;LAMTOR1;PKN1
Signaling By Receptor Tyrosine Kinases R-HSA-9006934	UP	102/496	4.25e-16	2.92	118.13	CYFIP1;AHCYL1;SPARC;NAB1;IRS2;SPINT2;IGF1R;PPP2R1A;AKT2;AKT1;AP2M1;SH3GL1;MAP2K1;MAP2K2;PRKCB;PRKCD;PRKCA;GTF2F1;MAPKAPK3;HGS;CDC37;MAPKAPK2;ELMO2;ATP6V0D1;ATP6V1A;SHC1;PDGFB;ITPR1;ITPR2;NCSTN;UBB;ATP6V0A1;ATP6V1F;STAT5B;JUND;MEMO1;DIAPH1;RANBP10;GRB2;CALM1;ITGB1;SH3KBP1;ITGB3;CLTC;CLTA;AP2A1;PTPRJ;CHD4;PCSK6;PTBP1;LYL1;NCK2;NELFB;ATP6V0B;DUSP3;ATP6AP1;PDPK1;SPHK1;TCF12;EPS15L1;RHOA;DNM1;EPN1;DUSP7;DNM2;PIK3CA;ATP6V1B2;COL6A3;ATP6V0C;ARF6;HDAC3;RALB;HDAC1;SRC;SRF;FURIN;CBL;PPP2CA;PPP2CB;GGA3;MKNK1;AP2S1;POLR2E;CTNNA1;MAPK1;PTK2B;CSK;FYN;HNRNPA1;MEF2D;SH2B3;WASF2;MAPK3;PTPN1;KIDINS220;EGF;PTPN11;MAPK14;CTNNB1;PTPN6;STUB1;PKN1
Disease R-HSA-1643685	UP	253/1736	1.14e-15	1.92	75.69	CYFIP1;APP;AHCYL1;WIPF2;ARAF;SLC4A1;ENO1;RPL8;ZDHHC2;GOLGA2;RPS14;CAPNS1;TRIM28;MPRIP;PSMD4;PPP2R1A;AKT2;PSMD2;BSG;DAG1;AKT1;AP1S1;VPS39;ST6GAL1;ENTPD5;AP1B1;HLA-B;TALDO1;HLA-C;PRKCA;HLA-A;HLA-F;SND1;HLA-E;;BIN2;CDC37;PSME1;TLN1;STX1A;CTBP1;PDGFB;ZC3HAV1;GNS;ANAPC11;BLOC1S6;NCSTN;LARP1;RNF213;PRKAR2B;FADD;ST3GAL1;CTSA;STAT5B;CREBBP;XRCC6;XRCC5;ABCA3;MYO5A;PARP14;GP5;GP9;GOLGB1;NMT1;GRB2;CALR;CALM1;CDKN1A;SH3KBP1;ARPC1B;RPLP1;RPLP0;CLTC;CLTA;AP2A1;MECP2;CHMP1A;RAC2;ELOA;IDS;NELFB;IKBKG;JAK1;PARP6;MAP4K2;PARP4;TUBB;DYNLL2;DUSP7;IL17RA;NCOR2;KAT2B;PACS1;CANX;CD46;HSD17B4;GNAI2;PPP2CA;NEURL1B;PPP2CB;OS9;CUX1;MGAT5;LMNA;AP2S1;RPS3;TBL1X;BRD4;DYNC1H1;MYO9B;GATAD2A;XK;UBAP1;CTNNB1;RHAG;FAU;ITGA2B;IRS2;COMT;ACTG1;PPP1CB;PPP1CC;CCND3;CAPN2;KPNA4;CAPN1;AP2M1;KPNA1;SH3GL1;MAP2K3;MAP2K1;RPS9;MAP2K2;TPM4;TPM3;GTF2F1;TPST2;DPM2;HGS;ELMO2;SQSTM1;KPNB1;VCL;SLC27A4;GNAZ;VCP;TSG101;PSMD11;SHC1;ITPR1;ITPR2;FOXO4;FOXO3;CORO1A;FOXO1;ACACA;NCKIPSD;TKFC;IRAK1;UBB;G3BP2;PGK1;DVL3;SUDS3;AP1M2;AP1M1;CPSF6;TGFB1;HMGA1;MSN;EEF2;SUPT5H;CDK9;MAVS;GNB2;TBXAS1;GNB1;CHMP2A;TAB3;GNB5;BCL2L1;ITGB1;GSK3A;HSP90AB1;B4GALT1;PRKCSH;ITGB3;SLC2A1;ARRB1;CHD4;MTR;ARRB2;CHD3;CASP9;MYO18A;HMG20B;GUSB;ABCD1;YWHAG;YWHAH;HGSNAT;EGFL7;PTGIR;KSR1;VWF;PDPK1;DNMT3A;AXIN1;VPS37C;RPL13A;RANGAP1;REXO2;TGFBR2;TFDP1;PIK3CA;MYH9;CHMP6;BECN1;HDAC5;SEC23A;HDAC3;SRC;HDAC1;DCTN1;FURIN;CBL;RNF5;HDAC6;HDAC7;GANAB;FZR1;SAP30L;E2F1;POLR2E;MAPK1;FYN;CSK;VHL;RBBP7;WASF2;MAPK3;H2AZ2;EGF;CNBP;GALNT1;PTPN11;MAPK14;FCGR2A;GLB1;VPS41;RPS6KB2;MGAT4B;PTPN6;TAF6
Infectious Disease R-HSA-5663205	UP	159/961	3.46e-14	2.19	78.63	CYFIP1;AHCYL1;WIPF2;ENO1;RPL8;COMT;ZDHHC2;ACTG1;RPS14;PSMD4;TRIM28;AKT2;PSMD2;AKT1;AP1S1;KPNA4;AP2M1;VPS39;KPNA1;SH3GL1;MAP2K3;ST6GAL1;MAP2K1;RPS9;MAP2K2;ENTPD5;AP1B1;HLA-B;HLA-C;PRKCA;HLA-A;GTF2F1;HLA-F;HLA-E;HGS;PSME1;ELMO2;KPNB1;STX1A;GNAZ;VCP;PSMD11;TSG101;ITPR1;ITPR2;CORO1A;NCKIPSD;BLOC1S6;LARP1;RNF213;TKFC;IRAK1;UBB;PRKAR2B;G3BP2;PGK1;DVL3;SUDS3;ST3GAL1;AP1M2;AP1M1;CREBBP;XRCC6;TGFB1;XRCC5;HMGA1;MYO5A;EEF2;SUPT5H;PARP14;CDK9;MAVS;GNB2;GNB1;NMT1;CHMP2A;TAB3;GRB2;CALR;GNB5;CALM1;ITGB1;GSK3A;HSP90AB1;PRKCSH;SH3KBP1;RPLP1;ARPC1B;RPLP0;CLTC;CLTA;AP2A1;CHD4;CHD3;CHMP1A;HMG20B;ELOA;NELFB;IKBKG;YWHAG;JAK1;YWHAH;PARP6;PTGIR;PARP4;PDPK1;TUBB;VPS37C;RPL13A;RANGAP1;REXO2;DYNLL2;IL17RA;NCOR2;PACS1;CANX;MYH9;CD46;CHMP6;BECN1;SEC23A;HDAC3;SRC;HDAC1;HSD17B4;FURIN;CBL;GNAI2;GANAB;FZR1;MGAT5;SAP30L;AP2S1;RPS3;POLR2E;MAPK1;FYN;VHL;RBBP7;TBL1X;WASF2;BRD4;MAPK3;DYNC1H1;CNBP;GALNT1;MYO9B;PTPN11;MAPK14;GATAD2A;FCGR2A;XK;MGAT4B;VPS41;UBAP1;CTNNB1;PTPN6;TAF6;FAU
Diseases Of Signal Transduction By Growth Factor Receptors And Second Messengers R-HSA-5663202	UP	88/424	4.80e-13	2.84	94.21	CDKN1A;GSK3A;ITGB3;CLTC;ITGA2B;ARAF;IRS2;ARRB1;ARRB2;MECP2;PPP1CB;CASP9;PPP1CC;MPRIP;PSMD4;PPP2R1A;AKT2;PSMD2;RAC2;MYO18A;AKT1;MAP2K1;MAP2K2;TPM4;KSR1;VWF;TPM3;PDPK1;AXIN1;GTF2F1;SND1;DUSP7;TGFBR2;NCOR2;KAT2B;BIN2;PIK3CA;CDC37;PSME1;MYH9;TLN1;SQSTM1;VCL;HDAC5;VCP;HDAC3;PSMD11;CTBP1;SHC1;HDAC1;SRC;DCTN1;PDGFB;ZC3HAV1;FOXO4;FOXO3;CBL;FOXO1;HDAC6;HDAC7;PPP2CA;NEURL1B;PPP2CB;NCSTN;RNF213;CUX1;OS9;UBB;LMNA;POLR2E;MAPK1;CSK;FYN;TBL1X;MAPK3;STAT5B;CREBBP;CPSF6;TGFB1;EGF;MSN;PTPN11;GOLGB1;RPS6KB2;CTNNB1;GRB2;CALM1;BCL2L1
Cell Cycle R-HSA-1640170	DOWN	94/654	7.82e-13	2.82	98.90	RB1;YWHAE;LIN54;GSK3B;AHCTF1;NUP107;PHF20;RSF1;SMC3;SMC4;CDC14A;PPP6C;PSMD6;NIPBL;XPO1;SUMO1;MIS18BP1;AKT3;CDC27;UIMC1;KNTC1;SKP1;NDC1;OFD1;CEP135;PPP1R12A;ESCO1;ATRX;VRK1;HAUS6;VRK2;KNL1;DYNLL1;MASTL;TERF2;H2BC17;RBX1;RNF168;DYNC1LI1;H2BC15;RBL1;TFDP2;KIF2A;NME7;H2BC11;UBE2V2;NUP54;NUP98;DNA2;UBA52;BLZF1;ITGB3BP;NUP58;SDCCAG8;DYNC1I2;ABRAXAS1;PDS5B;PDS5A;SKA2;ORC4;BRIP1;CCNB1;SPAST;CEP70;RBBP8;CEP192;CLASP2;BARD1;LYN;ANKRD28;H2AZ1;H2BC9;RANBP2;NPM1;H2BC5;UBE2C;H2BC3;H2BC4;SMARCA5;NUP153;WAPL;MLH3;PSMB9;POLA1;NEDD1;RPS27;CENPI;TAOK1;POLE2;ALMS1;PPP2R2D;ATM;NOP10;RAN
Adaptive Immune System R-HSA-1280218	UP	127/733	1.24e-12	2.29	73.68	AHCYL1;UBE3C;ICAM2;UBE3B;UBE2Z;HERC2;PSMD4;HERC1;PPP2R1A;AKT2;PSMD2;AKT1;AP1S1;FBXO7;AP2M1;FBXO9;CD96;FBXW5;PRKCB;FBXW11;AP1B1;HLA-B;HLA-C;PRKCA;HLA-A;HLA-F;FBXW2;HLA-E;KCTD7;RNF123;CDC34;STIM1;ORAI2;PSME1;RBCK1;PSMD11;UBA7;ITPR1;UBR4;ITPR2;UBE2J2;RASGRP2;ANAPC11;UBE2J1;RNF213;BTBD1;UBB;KIF3C;AP1M2;AP1M1;CTSA;VASP;RAP1GAP2;UBE2H;SMURF1;ZBTB16;BTBD6;UBE2A;UBAC1;TREML1;UBOX5;MKRN1;UBE2O;GRB2;UBA1;CALR;CALM1;UBE2M;ITGB1;ITGB5;RNF14;SH3KBP1;CLTC;CLTA;AP2A1;PTPRJ;SEC61A1;ACTR1A;CAPZB;UBE2Q1;ARIH2;IKBKG;UNKL;CTSD;CTSC;CTSB;DTX3L;BTN3A1;PDPK1;DYNLL2;LRRC41;DNM1;PJA2;DNM2;TAPBP;TRAF7;PIK3CA;UBE2R2;CANX;EVL;SEC22B;BECN1;SEC23A;MGRN1;SRC;DCTN1;FBXL20;PPP2CA;PPP2CB;FZR1;HECTD1;AP2S1;STX4;CSK;FYN;VHL;DYNC1H1;HUWE1;PTPN11;SPSB1;RLIM;PTPN6;STUB1;TRIP12;PKN1;NECTIN2
Metabolism Of Proteins R-HSA-392499	UP	259/1890	1.62e-11	1.73	51.14	APP;CMAS;TRRAP;RPL8;ZDHHC2;DCAF7;TPGS2;GOLGA2;RPS14;PCMT1;HERC2;TRIM28;PSMD4;PSMD2;DAG1;FBXO7;FBXO9;ARSA;ST6GAL1;WSB2;CSNK2A2;HLA-B;MRTFA;CSNK1D;YOD1;HLA-A;ANK1;HCFC1;RNF123;CDC34;TRIM13;PSME1;VDAC2;STX1A;AARS1;CTBP1;UBE2J2;TGOLN2;NCSTN;MLEC;ZBED1;ST3GAL1;CTSA;CREBBP;ZRANB1;PHC1;ABCA3;EDEM1;MYO5A;PUM2;MSRA;RN

						F103;NPLOC4;GOLGB1;CALR;CALM1;ARF3;PIGS;GPAA1;RPLP1;RPLP0;CTSZ;MRPS10;MRPL37;RAB22A;DDA1;FARS2;ANKRD9;BABAM2;ACTR1A;TUBA1B;TUBA1A;QSOX1;IKBKG;SPTAN1;CTSD;CTSC;SSR4;EXOC7;SPHK1;TUBB;MRPL49;IOSD1;RENBP;DYNLL2;SUMF2;LRRC41;RHOA;SUMF1;DDB1;NCOR2;BACE1;KAT2B;TUBB2A;CANX;TCP1;EXOC3;KIFC3;ARF5;KARS1;CST3;GGA2;LMAN1;GGA3;OS9;MGAT5;LMAN2;RPS3;DTD1;LY6G6F;DYNC1H1;MBD6;GSN;USP9X;MBD1;NR1H2;TRAPPC10;TUBB4B;HIPK2;SPSB3;SPSB1;OTULIN;NUCB1;CTNNB1;COPG1;FAU;PNPLA2;OTUD5;PROS1;RAB3D;UBE2Z;YARS1;SRP14;GALNT10;YY1;PIAS4;USP7;RPS9;FBXW5;FBXW11;APLP2;SHISA5;VASH1;FBXW2;TUBA4A;RNF40;KCTD7;TPST2;RAB32;DPM2;TBC1D20;RAB37;HGS;RAB35;FKBP8;SQSTM1;LY6E;RAB5B;COPA;VCP;PSMD11;ARL2;FOXO4;SOCS2;UBB;BTBD1;MAN2A2;TMEM129;SUDS3;RAB6B;SOCS5;WDTC1;HSPA8;UBE2H;TGFB1;VDR;SEC16A;ZBTB16;TBCB;UBE2A;BTBD6;EEF2;MAVS;TMEM115;GNB2;GNAQ;GNB1;TADA3;SRPRA;UBA1;GNB5;SAE1;COPE;UBE2M;EIF4G1;MCFD2;B4GALT1;THRA;PRKCSH;USP32;ARRB1;ARRB2;CHD3;SEC61A1;SENP5;CAPZB;PPP6R1;MAN1A1;USP47;EGFL7;DNMT3A;AXIN1;RPL13A;RAD23A;POMGNT2;RANGAP1;SPTB;ADRA2A;ARFGAP2;TGFBR2;UBE2R2;GORASP1;SEC22B;BECN1;SEC23A;HDAC3;HDAC1;DCTN1;RAB1B;USP11;FOXK1;FURIN;TSPAN33;RNF5;USP19;HDAC7;FBXL20;GNA15;GANAB;EIF4H;VHL;RBBP7;DCAF11;UGGT1;EIF4B;SNCA;USP24;ARFGEF2;GALNT2;AMFR;GALNT1;USP22;ADRM1;CUL4A;TSPAN14;TNIP1;GLB1;MGAT4B;P4HB
Post-translational Protein Modification R-HSA-597592	UP	203/1383	2.43e-11	1.85	53.75	APP;CMAS;TRRAP;DCAF7;TPGS2;GOLGA2;HERC2;PSMD4;TRIM28;PSMD2;DAG1;FBXO7;FBXO9;ARSA;ST6GAL1;WSB2;HLA-B;MRTFA;CSNK1D;YOD1;HLA-A;ANK1;HCFC1;RNF123;CDC34;PSME1;TRIM13;VDAC2;CTBP1;UBE2J2;TGOLN2;ZBED1;MLEC;ST3GAL1;CTSA;CREBBP;ZRANB1;PHC1;EDEM1;PUM2;NPLOC4;RNF103;GOLGB1;CALR;CALM1;ARF3;PIGS;GPAA1;CTSZ;RAB22A;DDA1;ANKRD9;BABAM2;TUBA1B;ACTR1A;TUBA1A;QSOX1;IKBKG;SPTAN1;CTSC;TUBB;JOSD1;DYNLL2;RENBP;LRRC41;SUMF2;RHOA;SUMF1;DDB1;NCOR2;KAT2B;TUBB2A;CANX;ARF5;CST3;LMAN1;OS9;MGAT5;LMAN2;LY6G6F;DYNC1H1;MBD6;USP9X;MBD1;TRAPPC10;NR1H2;TUBB4B;HIPK2;SPSB3;SPSB1;OTULIN;NUCB1;COPG1;PNPLA2;OTUD5;PROS1;RAB3D;UBE2Z;GALNT10;YY1;PIAS4;USP7;FBXW5;FBXW11;APLP2;SHISA5;VASH1;FBXW2;RNF40;KCTD7;TPST2;RAB32;DPM2;TBC1D20;RAB37;HGS;RAB35;FKBP8;SQSTM1;LY6E;VCP;RAB5B;COPA;PSMD11;FOXO4;SOCS2;BTBD1;MAN2A2;UBB;TMEM129;SUDS3;RAB6B;SOCS5;WDTC1;HSPA8;UBE2H;TGFB1;VDR;ZBTB16;SEC16A;UBE2A;BTBD6;EEF2;MAVS;TMEM115;TADA3;UBA1;SAE1;COPE;UBE2M;MCFD2;B4GALT1;THRA;PRKCSH;USP32;ARRB1;ARRB2;CHD3;SENP5;CAPZB;PPP6R1;MAN1A1;USP47;EGFL7;DNMT3A;AXIN1;RAD23A;RANGAP1;POMGNT2;SPTB;ARFGAP2;TGFBR2;UBE2R2;GORASP1;SEC22B;BECN1;SEC23A;DCTN1;HDAC1;RAB1B;USP11;FOXK1;FURIN;RNF5;USP19;HDAC7;FBXL20;GANAB;VHL;RBBP7;DCAF11;UGGT1;USP24;GALNT2;GALNT1;AMFR;USP22;ADRM1;CUL4A;TNIP1;GLB1;MGAT4B;P4HB
RHO GTPase Cycle R-HSA-9012999	UP	75/441	8.36e-11	2.59	71.65	ITGB1;CYFIP1;DOCK5;TRIO;HSP90AB1;PRKCSH;WIPF2;CLTC;ARHGAP1;MTR;FNBP1L;ARHGAP6;ARHGAP35;ACTG1;GOLGA3;AKAP13;TUBA1B;CAPZB;ARHGDIA;NCK2;RAC2;FLOT1;FLOT2;SPTAN1;PLEKHG3;NUDC;ARHGEF12;TPM4;ATP6AP1;TPM3;STARD8;ACTN1;ARHGEF18;ARAP1;GMIP;RHOC;RHOA;ARFGAP2;PIK3CA;HGS;CDC37;ELMO2;PKP4;RHOU;DBN1;ARHGEF6;VCP;SRC;ARHGAP17;SLC1A5;IQGAP2;RHOBTB1;ABR;LMAN1;STIP1;ARHGAP21;STK38;PTK2B;STOM;CSK;CKB;WASF2;BCAP31;HOMER2;KIDINS220;USP9X;MYO9B;CDC42BPB;FMNL3;DIAPH1;SHKBP1;GRB2;LAMTOR1;PKN1
Response To Elevated Platelet Cytosolic Ca2+ R-HSA-76005	UP	40/130	9.67e-11	4.62	127.03	LGALS3BP;TOR4A;APP;CD63;ECM1;SPARC;WDR1;PROS1;ITGB3;ITGA2B;STXBP2;ENDOD1;PDGFB;F13A1;CTSW;CLU;FLNA;QSOX1;STX4;LY6G6F;VTI1B;TGFB1;VWF;PRKCB;EGF;ACTN1;APLP2;PRKCA;ACTN4;GTPBP2;TUBA4A;SOD1;PECAM1;PCYOX1L;MAGED2;PFN1;TLN1;CALM1;VCL;FERMT3
Cell Cycle, Mitotic R-HSA-69278	DOWN	75/523	2.98e-10	2.78	78.01	RB1;YWHAE;LIN54;GSK3B;AHCTF1;NUP107;SMC3;SMC4;CDC14A;PSMD6;NIPBL;XPO1;SUMO1;AKT3;CDC27;KNTC1;SKP1;NDC1;OFD1;CEP135;PPP1R12A;ESCO1;VRK1;HAUS6;VRK2;KNL1;DYNLL1;MASTL;H2BC17;RBX1;DYNC1LI1;H2BC15;RBL1;TFDP2;KIF2A;NME7;H2BC11;NUP54;NUP98;DNA2;UBA52;BLZF1;ITGB3BP;NUP58;SDCCAG8;DYNC1I2;PDS5B;PDS5A;SKA2;ORC4;CCNB1;SPAST;CEP70;CEP192;CLASP2;LYN;H2AZ1;H2BC9;RANBP2;H2BC5;UBE2C;H2BC3;H2BC4;NUP153;WAPL;PSMB9;POLA1;NEDD1;RPS27;CENPI;TAOK1;POLE2;ALMS1;PPP2R2D;RAN
Membrane Trafficking R-HSA-199991	DOWN	82/599	2.98e-10	2.64	74.011	YWHAE;ARF4;DENND1B;C2CD5;GDI2;GOLIM4;GCC2;PIK3C2A;PPP6C;GOLGA4;MAP1LC3B;MAN1A2;FTH1;AKT3;AP1S2;TMED2;VPS36;ACTR3;GABARAPL2;COG6;FNBP1;VPS37A;AP3B1;DYNLL1;ARFGAP3;DNM3;DYNC1LI1;TBC1D1;RABEP1;KIF2A;DNAJC6;TRAPPC6B;EXOC6;KDELR2;DENND6A;KIF20B;UBA52;VAMP3;CHMP5;DYNC1I2;RABGAP1;STXBP3;SAR1B;COPB1;DCTN4;GOSR1;RHOBTB3;NEDD8;SCFD1;MAN2A1;FCHO2;UBQLN1;VPS54;TBC1D15;SEC31A;REPS1;ANKRD28;TRAPPC2;SEC24B;SNAPIN;TRAPPC1;SEC24A;DENND4A;VTA1;TRAPPC8;RAB27B;STAM;RAB11A;ARCN1;COPS4;COPS3;DAB2;CNIH1;COPS5;RAB14;ARPC3;COPS2;TRIP11;RAB5A;ACTR10;BET1;PICALM

Supplementary Table S7

Top 20 significantly enriched KEGG pathways of platelet transcripts in ITP.

KEGG Pathways Top 20	Enrichment Direction	Overlap	Adjusted p-value	Odds Ratio	Combined Score	Genes
Endocytosis	UP	43/124	4.29e-13	5.53	189.37	ITGB1;SRC;ITGB3;ITGA2B;ITPR1;ITPR2;ADCY3;RASGRP2;ACTB;ARHGAP35;PIK3R6;ACTG1;GNAI2;PTGS1;PPP1CB;PPP1CC;TBXA2R;AKT2;AKT1;MAPK1;FYN;PRKACA;MAPK3;VASP;GUCY1A1;PTGIR;ARHGEF12;VWF;GP6;MAPK14;GP5;RHOA;PPP1CA;GP9;FCGR2A;STIM1;PIK3CA;GNAQ;P2RX1;TBXAS1;TLN1;FERMT3;F2RL3
Insulin Signaling Pathway	UP	64/252	1.11e-12	3.57	116.32	ARF3;ARF1;SH3KBP1;WIPF2;ARPC1B;CLTC;CLTB;SNX12;CLTA;AP2A1;ARRB1;ARRB2;RAB22A;IGF1R;CAPZB;CHMP1A;LDLRAP1;AP2M1;SH3GL1;SH3GLB2;HLA-B;VPS37C;HLA-C;HLA-A;EPS15L1;ARAP1;HLA-F;RHOA;DNM1;EPN1;HLA-E;ARFGAP2;DNM2;TGFBR2;HGS;RAB35;CHMP3;CHMP6;ARF5;ARF6;RAB5B;TSG101;SRC;VPS26B;CBL;CYTH2;SNX1;GRK2;GRK6;AP2S1;PIP5K1C;RAB11FIP3;HSPA8;ARFGEF2;SMURF1;GBF1;ARPC4;HSPA2;RAB11B;EHD1;EHD2;EHD3;CHMP2A;SMAP2
Platelet Activation	UP	42/137	7.99e-12	4.76	143.88	PYGB;SHC1;ARAF;INPPL1;IRS2;CBL;ELK1;ACACA;FOXO1;PTPRF;HK1;PPP1CB;SOCS2;RPTOR;PPP1CC;INPP5A;PRKAR2B;AKT2;MKNK1;MKNK2;FLOT1;AKT1;FLOT2;MAPK1;PRKACA;MAPK3;PTPN1;MAP2K1;PRKAB2;MAP2K2;EXOC7;PDPK1;SORBS1;PPP1CA;PIK3CA;PPP1R3B;PPP1R3E;RPS6KB2;CALM3;GRB2;RAF1;CALM1
Salmonella Infection	UP	41/128	1.05e-11	4.91	145.34	CD63;CLTC;CTSZ;CLTB;CLTA;CTSW;LIPA;GNS;GGA2;LAPTM4B;GGA3;LAMP1;SMPD1;PSAP;HYAL3;AP1S1;IDS;GUSB;CTSD;AP1M2;CTSC;AP1M1;ATP6V0A1;CTSB;CTSA;ARSA;HGSNAT;ATP6V0B;ATP6AP1;ENTPD4;SORT1;AP1B1;M6PR;AP3D1;NAGA;SUMF1;GLB1;MAN2B1;TPP1;ATP6V0D1;ATP6V0C
Autophagy	UP	58/246	3.87e-10	3.17	81.76	CYFIP1;ARF1;HSP90AB1;ARPC1B;FHOD1;ACTB;ACTG1;FYCO1;ACTR1A;TUBA1B;TUBA1A;AKT2;TUBB1;CASP4;AKT1;KPNA4;IKBKG;VPS39;KPNA1;MAP2K3;MAP2K1;MAP2K2;EXOC7;TUBB;DYNLL2;RHOA;TUBA4A;DNM2;TUBB2A;PIK3CA;ELMO2;PFN1;RAF1;MYL9;GAPDH;ARF6;RAB5B;DCTN1;CYTH2;RRAS;IRAK1;RPS3;FLNA;MAPK1;SNX9;FADD;RILP;MAPK3;DYNC1H1;M6PR;ARPC4;TUBB4B;MAPK14;VPS41;PLEKHM1;CTNNB1;TAB3;PKN1
Focal Adhesion	UP	40/137	3.87e-10	4.28	109.83	BECN1;MTMR3;MTMR14;ITPR1;IRS2;IGF1R;RPTOR;PPP2CA;PPP2CB;STK11;LAMP1;RRAS;AKT2;RB1CC1;AKT1;MAPK1;PRKACA;CTSD;CTSB;MAPK3;RUBCN;GABARAPL1;MAP2K1;MAP2K2;PDPK1;ATG9A;DAPK3;PRKCD;WIPI2;CFLAR;ATG13;ERN1;PIK3CA;RPS6KB2;ULK1;SMCR8;RAF1;SQSTM1;BCL2L1;ATG4D
Shigellosis	UP	49/201	2.21e-09	3.36	79.67	ITGB1;ITGB5;ITGB3;ITGA2B;ILK;ELK1;ACTB;ARHGAP35;ACTG1;IGF1R;PPP1CB;PPP1CC;CCND3;AKT2;RAC2;CAPN2;AKT1;MAP2K1;VWF;PRKCB;PDPK1;ACTN1;PRKCA;ACTN4;RHOA;PIK3CA;COL6A3;TLN1;RAF1;MYL9;PPP1R12C;VCL;SHC1;SRC;PDGFB;FLNA;MAPK1;FYN;PIP5K1C;MAPK3;VASP;EGF;LAMB2;PARVB;PPP1CA;DIAPH1;ZYX;CTNNB1;GRB2
Human Cytomegalyvirus Infection	UP	55/246	4.16e-09	3.01	68.32	ITGB1;ARF1;GSK3A;ARPC1B;ILK;FNBP1L;ACTB;ACTG1;HK1;RPTOR;CAPNS1;AKT2;CASP4;CAPN2;AKT1;IKBKG;CAPN1;GABARAPL1;FBXW11;ACTN1;PRKCD;ACTN4;WIPI2;RHOA;CTTN;PIK3CA;ELMO2;RBCK1;PFN1;TLN1;MYL9;SQSTM1;VCL;ARF6;BECN1;SRC;ITPR1;ITPR2;FOXO4;FOXO3;FOXO1;CYTH2;SHARPIN;UBB;MAPK1;WASF2;MAPK3;ARPC4;SEPTIN9;MAPK14;DIAPH1;TNIP1;RPS6KB2;TAB3;BCL2L1
Proteoglycans in cancer	UP	52/225	4.16e-09	3.13	71.93	CDKN1A;ITGB3;ELK1;CASP9;AKAP13;AKT2;CREB3L1;CREB3L2;RAC2;AKT1;IKBKG;PRKACA;JAK1;MAP2K1;MAP2K2;ARHGEF12;PRKCB;HLA-B;HLA-C;TAP1;PRKCA;HLA-A;HLA-F;RHOA;HLA-E;TAPBP;PIK3CA;RAF1;ATF6B;SRC;ITPR1;ADCY3;ITPR2;GNAI2;GNA12;E2F1;MAPK1;PTK2B;FADD;MAPK3;MAPK14;SP1;GNAQ;GNB2;GNB1;RPS6KB2;CTNNB1;CALM3;GRB2;CALR;GNB5;CALM1
Adherens Junction	UP	48/205	1.07e-08	3.18	69.32	ITGB1;CD63;CDKN1A;ITGB5;SRC;ITGB3;ARAF;ITPR1;ITPR2;CBL;ELK1;FGF2;ACTB;ACTG1;IGF1R;SLC9A1;PPP1CB;PPP1CC;RRAS;AKT2;AKT1;FLNA;MAPK1;PRKACA;EIF4B;MAPK3;MAP2K1;MAP2K2;TGFB1;ARHGEF12;PRKCB;PDPK1;MSN;PRKCA;PTPN11;MAPK14;ANK1;RHOA;PPP1CA;CTTN;PIK3CA;RPS6KB2;CTNNB1;GRB2;PTPN6;HPSE;RAF1;PPP1R12C
Phagosome	UP	38/152	2.30e-08	5.62	117.55	SRC;PTPRJ;ACTB;PTPRF;ACTG1;IGF1R;RAC2;CTNNA1;MAPK1;FYN;WASF2;MAPK3;PTPN1;CREBBP;ACTN1;CSNK2A2;ACTN4;SORBS1;RHOA;TGFBR2;CTNNB1;PTPN6;VCL;NECTIN2
Regulation of Actin Cytoskeleton	UP	48/218	2.41e-08	3.58	74.47	ATP6V1A;ITGB1;RAB5B;ITGB5;ITGB3;CORO1A;ACTB;ACTG1;SEC61A1;TUBA1B;TUBA1A;LAMP1;TUBB1;RILP;ATP6V0A1;ATP6V1F;DYNC1H1;ATP6V0B;ATP6AP1;TUBB;HLA-B;M6PR;HLA-C;TAP1;HLA-A;HLA-F;TUBB4B;TUBA4A;HLA-E;TUBB2A;FCGR2A;HGS;CANX;ATP6V1B2;CALR;ATP6V0D1;SEC22B;ATP6V0C

Human immundeficiency virus 1 infection	UP	47/212	2.41e-08	3.01	62.65	ITGB1;CYFIP1;ITGB5;ARPC1B;ITGB3;ITGA2B;ARAF;FGF2;ACTB;ARHGAP35;ACTG1;PPP1CB;PPP1CC;CFL1;RAC2;PIP4K2B;MAP2K1;MAP2K2;ARHGEF12;ACTN1;ACTN4;RHOA;PIK3CA;MYH9;PFN1;RAF1;MYL9;PPP1R12C;VCL;ARHGEF6;SRC;PDGFB;IQGAP2;SLC9A1;RRAS;GNA12;MAPK1;PIP5K1C;WASF2;MAPK3;GSN;EGF;LIMK1;MSN;ARPC4;PPP1CA;SSH1;DIAPH1
Thyroid hormone signaling pathway	UP	33/121	2.56e-08	3.04	62.67	ITPR1;ITPR2;GNAI2;CASP9;IRAK1;AKT2;CFL1;RAC2;AKT1;AP1S1;MAPK1;PTK2B;FADD;IKBKG;AP1M2;AP1M1;MAPK3;APOBEC3C;MAP2K3;MAP2K1;APOBEC3F;MAP2K2;PRKCB;FBXW11;LIMK1;AP1B1;HLA-B;HLA-C;TAP1;PRKCA;HLA-A;HLA-F;MAPK14;HLA-E;TAPBP;DDB1;CUL4A;PIK3CA;GNAQ;GNB2;GNB1;RPS6KB2;CALM3;CALR;GNB5;CALM1;RAF1;BCL2L1
Pathogenic Escherichia coli infection	UP	44/197	7.10e-08	3.88	75.71	HDAC3;THRA;HDAC1;SRC;ITGB3;ATP2A3;SLC2A1;ATP2A2;ATP1A1;MED16;ACTB;FOXO1;ACTG1;SLC9A1;CASP9;MED12;AKT2;AKT1;MAPK1;PRKACA;MAPK3;MAP2K1;CREBBP;MAP2K2;PRKCB;PDPK1;PRKCA;KAT2B;PFKL;PIK3CA;CTNNB1;RAF1;PFKM
Gap Junction	UP	24/76	1.69e-07	2.98	55.43	ITGB1;CYFIP1;ARF1;TMED10;SRC;WIPF2;ARPC1B;ACTB;ACTG1;CASP9;SLC9A3R1;CYTH2;TUBA1B;TUBA1A;IRAK1;TUBB1;CASP4;GNA12;RPS3;NCK2;MAPK1;FYN;FADD;IKBKG;WASF2;MAPK3;ARHGEF12;TUBB;MYO5A;ARPC4;PTPN11;TUBB4B;MAPK14;RHOA;TUBA4A;TUBB2A;FCGR2A;MYO1C;CTTN;TAB3;MYH9;PTPN6;GAPDH;ARF6
Cellular Senescence	UP	25/88	3.81e-07	4.76	84.29	STAT5B;CDKN1A;MAP2K1;MAP2K2;TGFB1;CTBP1;HDAC1;SHC1;ARAF;PTPN11;CBL;TGFBR2;BCR;PIK3CA;AKT2;E2F1;AKT1;MAPK1;GRB2;IKBKG;RAF1;MAPK3;BCL2L1
Ubiquiting mediated proteolysis	UP	37/156	4.19e-07	4.33	75.73	SRC;ITPR1;PDGFB;ADCY3;ITPR2;GNAI2;TUBA1B;TUBA1A;TUBB1;MAPK1;PRKACA;MAPK3;GUCY1A1;MAP2K1;MAP2K2;PRKCB;EGF;TUBB;CSNK1D;PRKCA;TUBB4B;TUBA4A;TUBB2A;GNAQ;GRB2;RAF1
cGMP-PKG signaling pathways	UP	34/140	4.19e-07	3.22	56.46	CDKN1A;ITPR1;ITPR2;FOXO3;FOXO1;PPP1CB;PPP1CC;CCND3;RRAS;AKT2;CAPN2;E2F1;AKT1;MAPK1;CAPN1;MAPK3;MAP2K3;MAP2K1;MAP2K2;TGFB1;FBXW11;HLA-B;HLA-C;HLA-A;HLA-F;MAPK14;HLA-E;TGFBR2;HIPK2;PPP1CA;PIK3CA;MAPKAPK2;VDAC2;CALM3;RAF1;CALM1;SQSTM1
Fc gamma R-mediated phagocytosis	UP	38/167	7.48e-07	3.32	55.95	UBE3C;UBA7;MGRN1;UBE3B;UBE2Z;UBE2J2;PRPF19;CBL;RHOBTB1;ANAPC11;UBE2J1;FZR1;HERC2;HERC1;UBB;UBE2Q1;VHL;PIAS4;UBE2H;FBXW11;SMURF1;HUWE1;UBE2A;DDB1;CUL4A;UBOX5;CDC34;UBE2R2;UBE2O;UBA1;STUB1;TRIP12;SAE1;UBE2M

Supplementary Table S8

Top 20 significantly enriched GO Biological Process terms of platelet transcripts in chemotherapy-induced thrombocytopenia.

GO Biological Process Term Top 2ß	Enrichment Direction	Overlap	Adjusted p-value	Odds Ratio	Combined Score	Genes
Ubiquitin-Dependent Protein Catabolic Process (GO:0006511)	UP	71/367	6.54e-14	3.69	142.43	GSK3A;PPP1R11;RNF14;TGFB1I1;ARRB1;UBE3B;ARRB2;UBE2L3;ANKRD9;PSMD4;PSMD2;ARIH2;ELOC;FBXO7;FBXO9;HERC6;FBXW5;DTX3L;FBXW11;RAD23A;SIRT2;RNF40;PJA2;DDB1;CDC34;IFI27;UBE2R2;TRIM13;CHMP3;RBCK1;VCP;PSMD11;TSG101;PSMD13;UBR4;CBL;RNF4;RNF5;PSMA7;ANAPC11;BAG6;RMND5B;RNF213;SHARPIN;HECTD1;OS9;PCBP2;PSMF1;TBL1X;DCAF11;RFFL;UBQLN4;KLHDC2;KLHDC3;ZRANB1;UBE2I;FEM1A;AMFR;BFAR;UBE2A;CHFR;SPSB3;CUL4A;PINK1;NPLOC4;GID8;CHMP2A;TRIP12;UBA1;STUB1;RNF187
Proteasome-Mediated Ubiquitin-Dependent Protein Catabolic Process (GO:0043161)	UP	63/319	7.84e-13	3.77	133.49	RNF10;GSK3A;ARRB1;AUP1;ARRB2;ANKRD9;PSMD4;PSMD2;MAN1A1;FBXO7;FBXO9;FBXW5;FBXW11;YOD1;RAD23A;SIRT2;PJA2;DDB1;CDC34;IFI27;CANX;TRIM13;RBCK1;VCP;PSMD11;ANAPC16;PSMD13;UBE2J2;RNF4;RNF5;PSMA7;USP19;ANAPC11;BAG6;RMND5B;FZR1;SHARPIN;HECTD1;OS9;PCBP2;TMEM129;ASCC2;TBL1X;DCAF11;RFFL;DCAF12;KLHDC2;KLHDC3;FEM1A;RHBDD2;AMFR;TMUB1;BFAR;UBE2A;SPSB3;CUL4A;NPLOC4;GID8;TRIP12;STUB1;CALR;FBXL5;RNF187
Proteasomal Protein Catabolic Process (GO:0010498)	UP	44/220	9.38e-09	3.79	96.95	VCP;GSK3A;PSMD11;PSMD13;ARRB1;ARRB2;RNF4;RNF5;PSMA7;ANKRD9;BAG6;RMND5B;SHARPIN;HECTD1;PSMD4;PSMD2;PCBP2;TBL1X;DCAF11;RFFL;FBXO7;UBXN6;FBXO9;KLHDC2;KLHDC3;FBXW5;FBXW11;BFAR;RAD23A;UBE2A;SIRT2;PJA2;DDB1;SPSB3;CUL4A;CDC34;IFI27;PSME4;GID8;TRIM13;TRIP12;STUB1;RBCK1;RNF187
Protein Ubiquitination (GO:0016567)	UP	63/434	5.28e-07	2.58	55.02	RNF10;RNF14;FBH1;ARRB1;ARRB2;UBE3B;DDA1;UBE2L3;ANKRD9;NPEPPS;BABAM2;HERC2;RACK1;ARIH2;ELOC;FBXO7;FBXO9;HERC6;RNF44;USP7;FBXW5;WSB2;DTX3L;FBXW11;RNF208;PJA2;DDB1;TRAF7;CDC34;UBE2R2;TRIM13;SDE2;TRIM58;RBCK1;VCP;ANAPC16;UHRF2;MGRN1;UBE2J2;CBL;RNF4;FAAP20;ANAPC11;RNF213;OS9;UBB;TMEM129;MARCHF8;AMFR;HUWE1;BFAR;UBE2A;CHFR;CUL4A;PINK1;OTULIN;MDM4;STUB1;TRIP12;UBA1;FBXL5;RNF141;RNF187
Modification-Dependent Protein Catabolic Process (GO:0019941)	UP	37/192	7.69e-07	3.60	74.43	PSMD11;PPP1R11;PSMD13;RNF14;UBR4;ARRB1;UBE3B;CBL;RNF5;UBE2L3;ANAPC11;BAG6;RNF213;UBB;OS9;ARIH2;PSMF1;ELOC;RFFL;FBXO7;UBQLN4;HERC6;UBE2I;DTX3L;FEM1A;BFAR;UBE2A;RNF40;CHFR;DDB1;PINK1;CDC34;NPLOC4;UBE2R2;UBA1;STUB1;TRIP12
Gene Expression (GO:0010467)	UP	48/296	1.06e-06	2.93	59.11	MRPS16;RBM8A;RPLP1;RPL12;RPLP0;ADAR;FURIN;ADARB1;MRPL37;CASC3;RPL8;GSPT1;RPS15;RBM3;RPS14;RPL7A;ALKBH5;EXOSC4;PABPN1;RPS3;TSPAN5;RPLP2;RPL13;EIF4EBP2;KPNA4;RPS2;RPL19;ABCF1;RPS9;CHTOP;RPL21;RPS7;GALNT2;TESC;RPL13A;HNRNPL;EEF1A1;TSPAN14;HNRNPUL1;TNIP1;AGO2;RPS6KB2;NCBP3;STUB1;FAU;RPL29;RPS24;EIF4G1
Macromolecule Biosynthetic Process (GO:0009059)	UP	35/183	1.90e-06	3.56	69.22	ALAS2;MRPS16;RPLP1;RPL12;RPLP0;MRPL37;RPL8;GSPT1;RPS15;RPS14;RPL7A;RPS3;EIF4EBP2;RPLP2;RPL13;POLL;RPS2;ABCF1;RPL19;EIF5A;RPS9;RPL21;RPS7;RPL13A;EEF2;GTPBP1;EEF1A1;EXT2;TNIP1;AGO2;RPS6KB2;FAU;RPL29;RPS24;EIF4G1
Mitochondrion Disassembly (GO:0061726)	UP	14/37	1.10e-05	9.08	159.24	FIS1;GABARAPL1;WDR45B;ATG9A;CISD2;WIPI2;WDR45;ATG12;FUNDC2;PINK1;MAP1LC3A;RB1CC1;FBXO7;MARK2
Positive Regulation Of Intracellular Protein Transport (GO:0090316)	UP	26/126	3.02e-05	3.90	63.99	GSK3A;HDAC3;PRR5L;UBE2J2;ZDHHC2;OAZ1;OAZ2;TM9SF4;UBE2L3;NPEPPS;TRIM28;ARIH2;RAC2;CHP1;FLNA;FIS1;MBD1;CSNK2A2;HUWE1;ATG13;SREBF2;MAVS;PINK1;MYO1C;SAE1;VAMP2
Intracellular Protein Transport (GO:0006886)	UP	47/325	3.37e-05	2.55	41.18	ARF3;NAPA;RAB5B;TMED10;TSG101;RAB1B;USO1;AP2A1;RAB22A;HDAC6;GGA2;ARFRP1;LMAN1;SNX1;HERC2;GGA3;SNX27;XPO6;KPNA6;TBC1D13;AKT1;CHP1;TIMM17B;VPS35;SNX9;KPNA4;RAB6B;TNPO2;KPNA1;HSPA9;RANBP3;ATP6AP1;DESI1;STRADB;APLP2;SEC16A;SURF4;AP3D1;SEPTIN9;SNX17;HGS;CDC37;GIPC1;RAB35;ERP29;CALR;KPNB1
Endosomal Transport (GO:0016197)	UP	32/180	3.37e-05	3.25	52.32	SLC66A2;DCTN1;CLEC16A;ARHGAP1;SNX12;RCSD1;LAPTM4B;ARFRP1;SNX1;SNX27;VPS53;VPS35;SNX9;TBC1D17;RAB6B;RILP;VPS39;TBC1D10B;ANKRD27;SORT1;GBF1;PLEKHA3;PHETA1;RAB11B;RGP1;EHD2;HGS;SNX17;RAB35;CHMP2A;CHMP3;VAMP4
Positive Regulation Of Protein Targeting To Mitochondrion (GO:1903955)	UP	12/30	3.59e-05	9.93	158.38	NPEPPS;GSK3A;PINK1;CSNK2A2;ARIH2;RAC2;HUWE1;UBE2J2;SAE1;ATG13;SREBF2;UBE2L3
Regulation Of Protein Catabolic Process (GO:0042176)	UP	25/122	4.27e-05	3.86	60.63	VCP;GSK3A;SF3B3;SNX12;FURIN;ZDHHC2;OAZ1;OAZ2;UBB;FLNA;VPS35;RILP;HSP90AA1;GPX1;SIRT2;EEF1A1;DDB1;CUL4A;RGP1;PINK1;HGS;PSME3;PSME1;MDM4;ATP13A2
Autophagy Of Mitochondrion (GO:0000422)	UP	15/49	4.86e-05	6.58	101.50	FIS1;GABARAPL1;WDR45B;ATG9A;CISD2;WIPI2;WDR45;ATG13;ATG12;FUNDC2;PINK1;MAP1LC3A;RB1CC1;FBXO7;MARK2

Peptide Biosynthetic Process (GO:0043043)	UP	29/158	4.86e-05	3.37	52.09	MRPS16;RPLP1;RPL12;RPLP0;FURIN;MRPL37;RPL8;GSPT1;RPS15;RPS14;RPL7A;RPS3;EIF4EBP2;RPLP2;RPL13;RPS2;RPL19;RPS9;RPL21;RPS7;RPL13A;EEF1A1;TNIP1;AGO2;RPS6KB2;FAU;RPL29;RPS24;EIF4G1
Cytoplasmic Translation (GO:0002181)	UP	21/93	6.10e-05	4.36	66.02	RPS9;RPL21;RPS7;RPLP1;RPL12;RPLP0;RPL13A;RPL8;RPS15;RPL7A;RPS14;RACK1;RPS3;RPLP2;RPL13;ETF1;RPS2;FAU;RPL29;RPS24;RPL19
Positive Regulation Of Establishment Of Protein Localization To Mitochondrion (GO:1903749)	UP	12/33	8.69e-05	8.51	125.23	NPEPPS;GSK3A;PINK1;CSNK2A2;ARIH2;RAC2;HUWE1;UBE2J2;SAE1;ATG13;SREBF2;UBE2L3
Regulation Of Protein Targeting To Mitochondrion (GO:1903214)	UP	13/39	8.70e-05	7.45	109.21	GSK3A;CSNK2A2;HUWE1;UBE2J2;ATG13;SREBF2;UBE2L3;LMAN1;NPEPPS;PINK1;ARIH2;RAC2;SAE1
Protein Modification By Small Protein Conjugation (GO:0032446)	UP	49/364	8.86e-05	2.35	34.12	FBH1;RNF14;ARRB1;ARRB2;UBE2L3;ANKRD9;HERC2;SENP5;TRIM28;ARIH2;RACK1;ELOC;FBXO7;FBXO9;HERC6;RNF44;USP7;FBXW5;FBXW11;RNF208;RANGAP1;PJA2;DDB1;TRAF7;CDC34;TRIM13;SDE2;VCP;ANAPC16;UHRF2;MGRN1;CBL;ANAPC11;RNF213;OS9;UBB;TMEM129;ZBED1;UBE2I;CHFR;CUL4A;PINK1;OTULIN;MDM4;UBA1;STUB1;FBXL5;SAE1;UBE2M
Peptidyl-Threonine Modification (GO:0018210)	UP	17/66	8.86e-05	5.18	75.15	GPI;DYRK3;GSK3A;PDPK1;GALNT2;GALNT1;CSNK2A2;PRKCA;CDC42BPB;ACVR1B;HIPK2;STK11;WNK1;AKT1;MAPK1;ULK1;MARK2

Supplementary Table S9

Top 20 significantly enriched GO Reactome pathways of platelet transcripts in chemotherapy-induced thrombocytopenia.

Reactome Pathways Top 20	Enrichment Direction	Overlap	Adjusted p-value	Odds Ratio	Combined Score	Genes
Metabolism Of Proteins R-HSA-392499	UP	233/1890	2.97e-21	2.31	126.52	CMAS;RPL8;ZDHHC2;DCAF7;UBE2L3;TPGS2;RPS15;PCMT1;RPS14;HERC2;PSMD4;TRIM28;PSMD2;FBXO7;FBXO9;RPS12;ARSA;ST6GAL1;WSB2;RPL21;CSNK2A2;HLA-B;CSNK1D;YOD1;HLA-A;ANK1;HCFC1;RNF123;CDC34;PSME3;PSME4;PSME1;TRIM13;VDAC2;VDAC1;RPL29;AARS1;CTBP1;UBE2J2;GSPT1;TGOLN2;NCSTN;TSPAN5;ZBED1;MLEC;PSMF1;ST3GAL1;CREBBP;PHC2;ZRANB1;PHC1;MYO5A;LYZ;MSRA;NPLOC4;GOLGB1;CALR;FBXL5;RPS24;ARF3;PIGS;MRPS16;GPAA1;RPLP1;RPLP0;CTSZ;MRPL37;RAB22A;DDA1;ANKRD9;BABAM2;TUBA1B;ACTR1A;TUBA1A;RPLP2;QSOX1;ELOB;IKBKG;ELOC;CTSD;SPTAN1;CTSC;SSR4;EXOC7;MRPL49;JOSD1;DYNLL2;RENBP;SUMF2;LRRC41;RHOA;DDB1;BACE1;NCOR2;KAT2B;CANX;TCP1;EXOC3;VAMP2;KARS1;RPL12;USO1;PSMA7;RELA;GGA2;LMAN1;GGA3;OS9;LMAN2;RPS3;RPS2;DTD1;RPL19;MBD6;MBD1;NR1H2;TUBB4B;HIPK2;TTLL7;SPSB3;OTULIN;NUCB1;COPG1;FAU;PNPLA2;OTUD5;PROS1;UBE2Z;YARS1;SRP14;GALNT10;YY1;RAB2B;USP7;RPS9;FBXW5;RPS7;FBXW11;APLP2;SHISA5;RNF40;EEF1A1;DPM2;HGS;RAB35;FKBP8;LY6E;VCP;RAB5B;PSMD11;PSMD13;ARL2;FOXO4;SOCS2;SPTA1;BTBD1;MAN2A2;UBB;TMEM129;SUDS3;RAB6B;HSPA8;RAB4A;UBE2I;SEC16A;TBCB;UBE2A;BTBD6;EEF2;MAVS;TMEM115;GNB2;GNB1;SRPRA;MDM4;UBA1;SAE1;COPE;UBE2M;EIF4G1;THRA;PRKCSH;USP32;ARRB1;ARRB2;CHD3;SEC61A1;RPL7A;SENP5;CAPZB;PPP6R1;MAN1A1;EGFL7;VBP1;DNMT3A;RPL13A;RAD23A;RANGAP1;SPTB;ARFGAP2;UBE2R2;GORASP1;ETF1;NUP58;HDAC3;UHRF2;DCTN1;RAB1B;FOXK1;FURIN;RNF5;USP19;HDAC7;GANAB;EIF4H;DCAF11;UGGT1;EIF4B;SNCA;USP24;GALNT2;GALNT1;AMFR;USP22;ADRM1;CUL4A;ASXL1;TSPAN14;TNIP1;TNIP2;EIF3J;P4HB;EIF3A
Post-translational Protein Modification R-HSA-597592	UP	173/1383	8.49e-16	2.28	94.45	OTUD5;CMAS;PROS1;UBE2Z;DCAF7;GALNT10;UBE2L3;TPGS2;YY1;HERC2;PSMD4;TRIM28;PSMD2;FBXO7;FBXO9;ARSA;RAB2B;ST6GAL1;USP7;FBXW5;WSB2;FBXW11;APLP2;HLA-B;SHISA5;CSNK1D;YOD1;HLA-A;ANK1;RNF40;HCFC1;EEF1A1;RNF123;DPM2;CDC34;HGS;PSME3;PSME4;RAB35;PSME1;TRIM13;FKBP8;VDAC2;VDAC1;LY6E;VCP;RAB5B;PSMD11;PSMD13;CTBP1;FOXO4;UBE2J2;TGOLN2;SOCS2;SPTA1;BTBD1;MAN2A2;UBB;TMEM129;ZBED1;MLEC;PSMF1;SUDS3;ST3GAL1;RAB6B;HSPA8;CREBBP;PHC2;RAB4A;ZRANB1;UBE2I;PHC1;SEC16A;UBE2A;BTBD6;EEF2;MAVS;NPLOC4;TMEM115;GOLGB1;MDM4;UBA1;CALR;FBXL5;SAE1;COPE;UBE2M;ARF3;PIGS;THRA;GPAA1;PRKCSH;USP32;CTSZ;ARRB1;ARRB2;CHD3;RAB22A;DDA1;ANKRD9;BABAM2;TUBA1B;ACTR1A;TUBA1A;SENP5;CAPZB;PPP6R1;QSOX1;MAN1A1;ELOB;IKBKG;ELOC;SPTAN1;CTSC;EGFL7;DNMT3A;RAD23A;JOSD1;RANGAP1;DYNLL2;SPTB;RENBP;SUMF2;LRRC41;RHOA;ARFGAP2;DDB1;NCOR2;KAT2B;UBE2R2;GORASP1;CANX;NUP58;UHRF2;DCTN1;RAB1B;USO1;FOXK1;FURIN;RNF5;PSMA7;RELA;USP19;HDAC7;LMAN1;GANAB;OS9;LMAN2;RPS2;DCAF11;UGGT1;USP24;MBD6;GALNT2;MBD1;GALNT1;NR1H2;AMFR;USP22;ADRM1;TUBB4B;HIPK2;TTLL7;SPSB3;CUL4A;ASXL1;TNIP1;TNIP2;OTULIN;NUCB1;P4HB;COPG1;PNPLA2
Cellular Responses To Stress R-HSA-2262752	UP	110/722	2.23e-15	2.81	112.25	EHMT1;RPL8;RPS15;RPS14;TATDN2;PSMD4;CREB3L1;PSMD2;KHSRP;CREB3L2;AKT1;RPS12;TSPYL2;RPS9;RPL21;RPS7;CSNK2A2;CYBB;EEF1A1;MAPKAPK3;PSME3;PSME4;MAPKAPK2;PSME1;RPL29;TLN1;VCP;PSMD11;ANAPC16;SHC1;PSMD13;ANAPC11;PRDX2;STIP1;UBB;BAG1;PSMF1;HSPA9;HSPA8;KLHDC3;CREBBP;PHC2;PHC1;ST13;EIF2AK1;HMGA1;HSPA2;NPLOC4;SRPRA;MDM4;CALR;RPS24;CDKN1A;ACADVL;GSK3A;HSP90AB1;RPLP1;RPLP0;LIMD1;RPL7A;ACTR1A;CAPZB;RPLP2;ELOB;ELOC;HIF1AN;COX8A;KDM6B;HSP90AA1;ATP6V0B;GPX1;MINK1;RPL13A;DYNLL2;NCOR2;TFDP1;DNAJC7;ATP6V1B2;BLVRB;TERF2IP;ETF1;ATP6V0C;DCP2;NUP58;HDAC3;DCTN1;RPL12;PSMA7;HDAC6;RELA;ADD1;DNAJB1;FZR1;EXOSC4;RPS3;E2F1;E2F2;MAPK1;RPS2;TBL1X;RPL19;MAP4K4;CDKN2B;GSR;ATOX1;CASTOR2;DNAJA2;P4HB;FAU;TNRC6B
Cellular Responses To Stimuli R-HSA-8953897	UP	111/736	2.51e-15	2.77	109.80	EHMT1;RPL8;RPS15;RPS14;TATDN2;PSMD4;CREB3L1;PSMD2;KHSRP;CREB3L2;AKT1;RPS12;TSPYL2;RPS9;RPL21;RPS7;CSNK2A2;CYBB;EEF1A1;MAPKAPK3;PSME3;PSME4;MAPKAPK2;PSME1;RPL29;TLN1;VCP;PSMD11;ANAPC16;SHC1;PSMD13;ANAPC11;PRDX2;STIP1;UBB;BAG1;PSMF1;HSPA9;HSPA8;KLHDC3;CREBBP;PHC2;PHC1;ST13;EIF2AK1;HMGA1;HSPA2;NPLOC4;SRPRA;MDM4;CALR;RPS24;CDKN1A;ACADVL;GSK3A;HSP90AB1;RPLP1;RPLP0;LIMD1;RPL7A;ACTR1A;CSRP1;CAPZB;RPLP2;ELOB;ELOC;HIF1AN;COX8A;KDM6B;HSP90AA1;ATP6V0B;GPX1;MINK1;RPL13A;DYNLL2;NCOR2;TFDP1;DNAJC7;ATP6V1B2;BLVRB;TERF2IP;ETF1;ATP6V0C;DCP2;NUP58;HDAC3;DCTN1;RPL12;PSMA7;HDAC6;RELA;ADD1;DNAJB1;FZR1;EXOSC4;RPS3;E2F1;E2F2;MAPK1;RPS2;TBL1X;RPL19;MAP4K4;CDKN2B;GSR;ATOX1;CASTOR2;DNAJA2;P4HB;FAU;TNRC6B
Membrane Trafficking R-HSA-199991	UP	95/599	1.98e-14	2.92	108.91	ARF3;SCOC;TFRC;SH3KBP1;YWHAB;CTSZ;CLTB;ARRB1;AP2A1;ARRB2;GCC1;UBE2Z;ACTR1A;CAPZB;YWHAQ;PPP6R1;AKT1;KIF1B;MAN1A1;SBF1;SPTAN1;AP2M1;CTSC;TBC1D10B;SH3GL1;EXOC7;AP1B1;CSNK1D;GAPVD1;REXO2;DYNLL2;SPTB;ANK1;EPN1;ARFGAP2;DNM2;GAK;RALGAPB;HGS;GORASP1;RAB35;TBC1D7;EXOC3;MYH9;ULK1;VAMP4;OPTN;VAMP2;RAB5B;TSG101;DCTN1;RAB1B;USO1;CBL;GNS;AGPAT3;GGA2;TGOLN2;SPTA1;ARFRP1;LMAN1;CYTH2;GGA3;MAN2A2;UBB;LMAN2;VPS53;AP2S1;TBC1D13;SNX9;PIP5K1C;KIF3C;TBC1D17;RAB6B;AP1M1;HSPA8;RAB4A;ANKRD27;HOMER2;SORT1;GALNT2;SEC16A;GALNT1;RAB3IP;HPS1;SURF4;MYO5A;AP2B1;TJP1;TMEM115;GOLGB1;CHMP2A;COPG1;RAB3GAP1;COPE
Infectious Disease R-HSA-5663205	UP	130/961	1.98e-14	2.46	91.13	AHCYL1;ENO1;RPL8;COMT;ZDHHC2;RPS15;RPS14;PSMD4;TRIM28;PSMD2;AKT1;KPNA4;AP2M1;VPS39;KPNA1;SH3GL1;RPS12;ST6GAL1;RPS9;MAP2K2;RPL21;RPS7;ENTPD5;AP1B1;HLA-B;HLA-C;PRKCA;HLA-A;GTF2F1;ATP1B1;PRKAR1B;HGS;PSME3;PSME4;PSME1;RPL29;KPNB1;ISCU;VCP;PSMD11;TSG101;PSMD13;ITPR1;NCKIPSD;LARP1;RNF213;TKFC;IRAK1;UBB;DVL3;PSMF1;SUDS3;ST3GAL1;AP1M1;CREBBP;XRCC6;UBE2I;XRCC5;HMGA1;MYO5A;EEF2;SUPT5H;PARP14;MAVS;GNB2;GNB1;CHMP2A;CALR;RPS24;GSK3A;HSP90AB1;PRKCSH;YWHAB;SH3KBP1;RPLP1;ARPC1B;RPLP0;AP2A1;CHD3;RPL7A;YWHAQ;RPLP2;ELOA;NELFB;ELOB;IKBKG;ELOC;JAK1;PARP6;HSP90AA1;PDPK1;RPL13A;RANGAP1;REXO2;DYNLL2;NCOR2;CANX;MYH9;SOS1;VAMP2;NUP58;HDAC3;RPL12;FURIN;CBL;PSMA7

						;RELA;GNAI2;GANAB;FZR1;PABPN1;AP2S1;RPS3;MAPK1;RPS2;TBL1X;WASF1;WASF2;BRD4;RPL19;CNBP;GALNT1;MYO9B;PTPN11;AP2B1;TJP1;FCGR2A;XK;TAF6;FAU
Axon Guidance R-HSA-422475	UP	86/519	3.16e-14	3.07	111.96	RET;TRIO;HSP90AB1;SH3KBP1;ARPC1B;RPLP1;ITGB3;RPLP0;ITGA2B;CLTB;AP2A1;CASC3;RPL8;ARHGAP35;RPS15;RPL7A;RPS14;ALCAM;SYNGAP1;PSMD4;DPYSL2;PSMD2;NCK2;RPLP2;ELOB;ELOC;SPTAN1;AP2M1;RPS12;LYPLA2;RPS9;HSP90AA1;MAP2K2;ARHGEF12;RPL21;RPS7;CSNK2A2;RPL13A;PRKCA;GAB2;RHOC;SPTB;ANK1;RHOA;DNM2;PSME3;PSME4;PSME1;COL6A3;MYH9;ETF1;RPL29;SOS1;TLN1;MYL9;PSMD11;RBM8A;SHC1;PSMD13;RPL12;PSMA7;GSPT1;SPTA1;NCSTN;ABLIM3;UBB;AP2S1;RPS3;MAPK1;PIP5K1C;PSMF1;RPS2;SRGAP2;PDLIM7;RPL19;HSPA8;UPF3A;PTPN11;MYO9B;AP2B1;PLXNB3;RNPS1;PKN1;FAU;RPS24;EIF4G1
Nervous System Development R-HSA-9675108	UP	88/545	6.18e-14	2.98	106.20	RET;TRIO;HSP90AB1;SH3KBP1;ARPC1B;RPLP1;NAB1;ITGB3;RPLP0;ITGA2B;CLTB;AP2A1;CASC3;RPL8;ARHGAP35;RPS15;RPL7A;RPS14;ALCAM;SYNGAP1;PSMD4;DPYSL2;PSMD2;NCK2;RPLP2;ELOB;ELOC;SPTAN1;AP2M1;RPS12;LYPLA2;RPS9;HSP90AA1;MAP2K2;ARHGEF12;RPL21;RPS7;CSNK2A2;RPL13A;PRKCA;GAB2;RHOC;SPTB;ANK1;RHOA;SREBF2;DNM2;PSME3;PSME4;PSME1;COL6A3;MYH9;ETF1;RPL29;SOS1;TLN1;MYL9;PSMD11;RBM8A;SHC1;PSMD13;RPL12;PSMA7;GSPT1;SPTA1;NCSTN;ABLIM3;UBB;AP2S1;RPS3;MAPK1;PIP5K1C;PSMF1;RPS2;SRGAP2;PDLIM7;RPL19;HSPA8;UPF3A;PTPN11;MYO9B;AP2B1;PLXNB3;RNPS1;PKN1;FAU;RPS24;EIF4G1
Vesicle-mediated Transport R-HSA-5653656	UP	97/637	8.10e-14	2.79	98.29	SCOC;TFRC;GCC1;UBE2Z;AKT1;SBF1;AP2M1;TBC1D10B;SH3GL1;AP1B1;CSNK1D;GAPVD1;ANK1;RALGAPB;HGS;RAB35;ULK1;OPTN;RAB5B;TSG101;GNS;TGOLN2;SPTA1;MAN2A2;UBB;TBC1D13;SNX9;PIP5K1C;KIF3C;TBC1D17;RAB6B;AP1M1;HSPA8;RAB4A;ANKRD27;HOMER2;SEC16A;RAB3IP;HPS1;SURF4;MYO5A;TMEM115;GOLGB1;CHMP2A;CALR;COPE;ARF3;SH3KBP1;YWHAB;CTSZ;CLTB;ARRB1;AP2A1;ARRB2;ACTR1A;CAPZB;YWHAQ;PPP6R1;KIF1B;MAN1A1;SPTAN1;CTSC;HSP90AA1;EXOC7;REXO2;DYNLL2;SPTB;EPN1;ARFGAP2;DNM2;GAK;GORASP1;TBC1D7;EXOC3;MYH9;VAMP4;VAMP2;DCTN1;RAB1B;USO1;CBL;AGPAT3;GGA2;ARFRP1;LMAN1;CYTH2;GGA3;LMAN2;VPS53;AP2S1;SORT1;GALNT2;GALNT1;AP2B1;TJP1;COPG1;RAB3GAP1
Immune System R-HSA-168256	UP	212/1943	9.04e-14	1.97	69.03	IFITM3;AHCYL1;IFITM2;UBE2L3;LGALS3;HERC2;PSMD4;PPP2R1A;PSMD2;AKT1;FBXO7;FBXO9;HERC6;ARSA;RSAD2;PRKCB;AP1B1;HLA-B;HLA-C;PRKCA;HLA-A;UNC13D;ATG12;RNF123;CDC34;IFI27;PSME3;PSME4;ORAI2;PSME1;RBCK1;TMEM63A;UBE2J2;GNS;ANAPC11;NCSTN;RNF213;CYB5R3;PCBP2;MLEC;PSMF1;VAT1;CREBBP;XRCC6;XRCC5;SURF4;MYO5A;NBEAL2;LYZ;UBAC1;TREML2;CALR;FBXL5;CDKN1A;SH3KBP1;ARPC1B;RPLP0;CTSZ;AP2A1;ACTR1A;NKIRAS2;ARIH2;RAC2;CHAMP1;QSOX1;ELOB;IKBKG;ELOC;CTSD;SPTAN1;CTSC;JAK1;CTSB;ATP6V0B;GAB2;DYNLL2;LRRC41;RHOA;SERPINB6;RAP2C;CANX;TCP1;ATP6V0C;VAMP2;DNASE1L1;GRN;IFI6;PSMA7;RELA;PPP2CA;CREG1;AP2S1;FLNA;STAT6;AGL;HUWE1;MYO9B;AP2B1;TUBB4B;TRIP12;PKN1;OTUD5;PROS1;INPPL1;UBE3B;UBE2Z;SRP14;NPEPPS;LAMP1;COTL1;SIRPA;KPNA4;CAPN1;AP2M1;KPNA1;KCMF1;CD96;FBXW5;FBXW11;CYBB;ATP11A;EEF1A1;ACLY;MAPKAPK3;MAPKAPK2;S100A9;S100A8;KPNB1;VCP;RAB5B;PSMD11;SHC1;PSMD13;UBR4;ITPR1;FOXO3;PLD3;SOCS2;CNN2;NCKIPSD;TKFC;DPP7;IRAK1;BTBD1;UBB;TNFRSF14;KIF3C;AP1M1;HSPA9;HSPA8;UBE2A;BTBD6;EEF2;MAVS;UBA1;MAN2B1;HPSE;UBE2M;EIF4G1;BCL2L1;HSP90AB1;YWHAB;PRKCSH;RNF14;ADAR;DDX41;ALAD;SEC61A1;CA1;CAPZB;ITGAX;GUSB;UNKL;HGSNAT;HSP90AA1;EGFL7;DTX3L;PDPK1;RNASET2;KCNAB2;PIA2;TAPBP;DNM2;TRAF7;UBE2R2;DNAJC5;ATP6V1B2;MYH9;SOS1;NUP58;CANT1;MGRN1;DCTN1;CBL;RNF4;FZR1;HECTD1;STOM;PTK2B;MAPK1;WASF1;WASF2;PDAP1;PTPN11;ATOX1;TSPAN14;PFKL;FCGR2A;TNIP2;P2RX1;STUB1;P4HB
Neutrophil Degranulation R-HSA-6798695	UP	79/468	1.25e-13	3.13	108.36	HSP90AB1;PRKCSH;CTSZ;SRP14;ALAD;LGALS3;LAMP1;PSMD2;ITGAX;CHAMP1;COTL1;SIRPA;QSOX1;CAPN1;GUSB;CTSD;SPTAN1;CTSC;CTSB;KCMF1;ARSA;HGSNAT;HSP90AA1;EGFL7;RNASET2;HLA-B;HLA-C;CYBB;ATP11A;KCNAB2;HLA-A;UNC13D;RHOA;SERPINB6;RAP2C;EEF1A1;ACLY;DNAJC5;S100A9;ATP6V0C;KPNB1;S100A8;DNASE1L1;GRN;RAB5B;VCP;CANT1;TMEM63A;PSMD11;PSMD13;UBR4;GNS;CNN2;NCSTN;CYB5R3;DPP7;CREG1;MLEC;MAPK1;STOM;AP1M1;VAT1;HSPA8;XRCC6;XRCC5;AGL;SURF4;HUWE1;PDAP1;NBEAL2;LYZ;TUBB4B;EEF2;PFKL;TSPAN14;FCGR2A;P2RX1;MAN2B1;HPSE
Innate Immune System R-HSA-168249	UP	130/1035	3.35e-12	2.25	70.23	OTUD5;AHCYL1;PROS1;SRP14;LGALS3;PSMD4;LAMP1;PPP2R1A;PSMD2;COTL1;SIRPA;CAPN1;KCMF1;ARSA;FBXW11;HLA-B;CYBB;HLA-C;PRKCA;ATP11A;HLA-A;ATG12;UNC13D;EEF1A1;ACLY;CDC34;MAPKAPK3;PSME3;PSME4;MAPKAPK2;PSME1;S100A9;KPNB1;S100A8;VCP;RAB5B;TMEM63A;PSMD11;SHC1;PSMD13;ITPR1;UBR4;GNS;PLD3;CNN2;NCKIPSD;NCSTN;CYB5R3;TKFC;DPP7;IRAK1;UBB;PCBP2;MLEC;PSMF1;AP1M1;VAT1;HSPA8;CREBBP;XRCC6;XRCC5;SURF4;MYO5A;NBEAL2;LYZ;EEF2;MAVS;MAN2B1;HPSE;UBE2M;BCL2L1;HSP90AB1;PRKCSH;ARPC1B;CTSZ;DDX41;ALAD;NKIRAS2;ITGAX;CHAMP1;RAC2;QSOX1;IKBKG;GUSB;CTSD;SPTAN1;CTSC;CTSB;HGSNAT;HSP90AA1;ATP6V0B;EGFL7;PDPK1;RNASET2;GAB2;KCNAB2;RHOA;SERPINB6;DNM2;RAP2C;DNAJC5;ATP6V1B2;MYH9;SOS1;ATP6V0C;DNASE1L1;GRN;CANT1;PSMA7;RELA;PPP2CA;CREG1;MAPK1;STOM;STAT6;WASF1;WASF2;AGL;HUWE1;PDAP1;MYO9B;PTPN11;TUBB4B;ATOX1;TSPAN14;PFKL;FCGR2A;TNIP2;P2RX1;PKN1
Disease R-HSA-1643685	UP	189/1736	4.52e-12	1.94	59.99	AHCYL1;ITGA2B;ARAF;SLC4A1;ENO1;RPL8;COMT;ZDHHC2;PPP1CB;RPS15;RPS14;PSMD4;CAPNS1;TRIM28;PPP2R1A;PSMD2;BSG;CAPN2;AKT1;KPNA4;CAPN1;AP2M1;VPS39;KPNA1;SH3GL1;RPS12;ST6GAL1;RPS9;MAP2K2;RPL21;RPS7;ENTPD5;AP1B1;HLA-B;HLA-C;PRKCA;HLA-A;GTF2F1;ATP1B1;SND1;DPM2;PRKAR1B;HGS;PSME3;CDC37;PSME4;PSME1;RPL29;TLN1;S100A9;S100A8;KPNB1;ISCU;SLC27A4;VCP;TSG101;PSMD11;ANAPC16;SHC1;PSMD13;CTBP1;ITPR1;FOXO4;FOXO3;GNS;ACACA;ANAPC11;NCKIPSD;PRDX2;NCSTN;RNF213;LARP1;TKFC;IRAK1;UBB;DVL3;PSMF1;SUDS3;ST3GAL1;AP1M1;CREBBP;XRCC6;UBE2I;CPSF6;XRCC5;HMGA1;MYO5A;EEF2;SUPT5H;PARP14;MAVS;GNB2;GOLGB1;GNB1;CHMP2A;STRN;CALR;MAP3K11;RPS24;BCL2L1;GSK3A;CDKN1A;HSP90AB1;YWHAB;PRKCSH;SH3KBP1;RPLP1;ITGB3;ARPC1B;RPLP0;SLC2A1;ARRB1;AP2A1;ARRB2;CHD3;RPL7A;YWHAQ;RAC2;RPLP2;ELOA;NELFB;ELOB;IKBKG;ELOC;GUSB;JAK1;PARP6;HGSNAT;HSP90AA1;EGFL7;VWF;PDPK1;DNMT3A;RPL13A;GAB2;REXO2;RANGAP1;DYNLL2;NCOR2;KAT2B;TFDP1;PCCB;CANX;MYH9;SOS1;VAMP2;KDM7A;NUP58;HDAC3;DCTN1;RPL12;FURIN;SLC3A2;CBL;RNF5;PSMA7;RELA;HDAC6;GNAI2;HDAC7;PPP2CA;GANAB;FZR1;OS9;PABPN1;AP2S1;E2F1;RPS3;E2F2;MAPK1;RPS2;TBL1X;WASF1;WASF2;RPL19;BRD4;CNBP;GALNT1;MYO9B;PTPN11;AP2B1;RPIA;TJP1;FCGR2A;XK;RPS6KB2;TAF6;RHAG;FAU
Signaling By ROBO Receptors R-HSA-376176	UP	45/209	3.06e-11	4.16	120.18	PSMD11;RBM8A;PSMD13;RPLP1;RPL12;RPLP0;CASC3;RPL8;GSPT1;PSMA7;RPS15;RPS14;RPL7A;PSMD4;UBB;PSMD2;RPS3;NCK2;RPLP2;ELOB;PSMF1;ELOC;RPS2;SRGAP2;RPS12;RPL19;RPS9;RPL21;RPS7;RPL13A;PRKCA;UPF3A;MYO9B;RHOA;PSME3;PSME4;PSME1;RNPS1;ETF1;FAU;PKN1;RPL29;SOS1;RPS24;EIF4G1
Metabolism R-HSA-1430728	UP	210/2049	5.39e-11	1.82	51.43	AHCYL1;LPGAT1;PANK3;CCNI;ENO1;RPL8;NUDT4;RPS15;RPS14;PSMD4;PPP2R1A;PSMD2;BSG;AKT1;PIP4K2B;RPS12;ARSA;STARD4;ACOT7;RPL21;STARD7;ENTPD4;PHYKPL;ENTPD5;CSNK2A2;ENTPD6;PRKCA;CMBL;PRKAR1B;PSME3;PSME4;PSME1;VDAC2;HECA;VDAC1;RPL29;MTMR3;MAOB;OAZ1;GNS;OAZ2;PGS1;PTDSS2;CYB5R3;INPP5K;PSMF1;PIP5K1C;ST3GAL1;FDFT1;GSTM3;CREBBP;MTHFR;PYCR2;PARP14;MED13L;GLUD1;SLC6A8;PRXL2B;ACER3;OGDH;NDUFAF3;RPS24;ARF3;RPLP1;RPLP0;TECR;AKR1B1;MED16;MED15;MED12;GUK1;SMPD1;HYAL3;RPLP2;COX8A;ELOVL1;PARP6;LYPLA1;PCYT1B;TPI1;STARD3NL;NME4;SUMF2;SREBF2;NCOR2;HADHA;MED25;PITPNM1;PITPNM2;VAMP2;KARS1;RPL12;PSMA7;GNAI2;PPP2CA;ATP5F1B;UCP2;RPS3;CKB;RPS2;TBL1X;RPL19;MDH2;PLEKHA2;NR1H2;AGL;GSR;PLEKHA3;FAH;ATP5F1D;PPP1CA;LPCAT3;PNPLA6;FAU;PNPLA2;INPPL1;AHR;COMT;PPP1CB;FADS2;STK11;AKR7A2;OSBP;SBF1;SLC16A3;RPS9;RPS7;ACLY;PHOSPHO1;MAPKAPK2;KPNB1;CSNK1G2;ISCU;IDI1;PSMD11;FECH;PSMD13;ITPR1;GMPR;ADIPOR1;ADIPOR2;ACACA;PLD3;TKFC;UBB;IP6K1;RAB4A;UBE2I;CRLS1;GNB2;GNB1;PI4KA;MAN2B1;HPSE;ACO2;DHCR7;LRP10;SLC25A1;DIDO1;ALAS2;ACADVL;HSP90AB1;PRKCSH;SLC2A1;DHTKD1;ALAD;RPL7A;CA1;MAN2C1;GUSB;ABCC3;HSP90AA1;EGFL7;GPX1;GPX4;PDPK1;GLRX5;ABHD14B;RPL13A;BPGM;COASY;DNM2;THRAP3;PCCB;BLVRB;HAGH;BCAT1;NUP58;ALDH9A1;AGPAT5;HDAC3;SLC3A2;PPM1K;HSD17B12;AGPAT1;NT5C2;AGPAT3;MAT2A;BPNT2;CRYM;CDIPT;IDH3G;MID1IP1;DDHD2;RPIA;BCKDK;SLC25A37;PFKL;CHPT1;PFKM
Cell Cycle R-HSA-1640170	DOWN	116/654	1.45e-10	2.33	69.96	NUP107;CCP110;SMC4;CDC14A;AKT3;CDC27;EP300;KNTC1;BTRC;SKP1;CEP135;ESCO1;H2AC6;IST1;DYRK1A;VRK1;VRK2;KNL1;TUBA4A;RBX1;DYNC1LI1;UBE2V2;ANAPC5;DNA2;BLZF1;MAX;PDS5B;PDS5A;ARPP19;SKA2;ORC4;BRIP1;CCNB1;SPAST;RAD21;CEP70;BARD1;LYN;ANKRD28;SMARCA5;NUP153;WAPL;POLA1;RPS27;STAG2;CDK2;ATM;TUBGCP4;NOP10;TUBA8;YWHAE;LIN54;GSK3B;AHCTF1;PHF20;CETN2;RSF1;TUBA1C;PPP6C;NIPBL;XPO1;H2BC21;PPP6R3;UIMC1;LBR;RAB8A;H3-3B;NDC1;OFD1;PPP1R12A;ATRX;HAUS6;PPP2R5C;DYNLL1;MASTL;TERF2;H2BC17;YWHAZ;H2BC12;SLC25A15;H2AJ;H2BC15;RBL1;PSMA1;KIF2A;NME7;H2BC11;POT1;NUP54;ITGB3BP;PAFAH1B1;SDCCAG8;RAB1A;DYNC1I2;SRC;ABRAXAS1;RNF8;RBBP8;E2F3;DYNC1I1;CLASP2;CDKN2D;H2AZ1;H2BC9;RANBP2;H2BC5;H2BC3;H2BC4;MLH3;PSMB9;NEDD1;CENPI;TAOK1;POLE2;PPP2R2D;CEP41
Regulation Of Expression Of SLITs And ROBOs R-HSA-9010553	UP	38/167	3.16e-10	4.45	117.52	PSMD11;RBM8A;PSMD13;RPLP1;RPL12;RPLP0;CASC3;RPL8;GSPT1;PSMA7;RPS15;RPS14;RPL7A;PSMD4;UBB;PSMD2;RPS3;RPLP2;ELOB;PSMF1;ELOC;RPS2;RPS12;RPL19;RPS9;RPL21;RPS7;RPL13A;UPF3A;PSME3;PSME4;PSME1;RNPS1;ETF1;FAU;RPL29;RPS24;EIF4G1
Class I MHC Mediated Antigen Processing And Presentation R-HSA-983169	UP	62/378	3.84e-10	2.99	78.26	RNF14;UBE3B;UBE2Z;UBE2L3;NPEPPS;SEC61A1;HERC2;PSMD4;PSMD2;ARIH2;ELOB;ELOC;IKBKG;FBXO7;UNKL;FBXO9;HERC6;FBXW5;DTX3L;FBXW11;HLA-B;HLA-C;CYBB;HLA-A;LRRC41;PIA2;TAPBP;RNF123;TRAF7;CDC34;UBE2R2;PSME3;PSME4;CANX;PSME1;RBCK1;S100A9;S100A8;PSMD11;PSMD13;MGRN1;UBR4;UBE2J2;RNF4;PSMA7;ANAPC11;FZR1;RNF213;HECTD1;BTBD1;UBB;PSMF1;HUWE1;BTBD6;UBE2A;UBAC1;TRIP12;UBA1;STUB1;CALR;FBXL5;UBE2M
Membrane Trafficking R-HSA-199991	DOWN	107/599	4.28e-10	2.35	66.18	GOLIM4;GCC2;GOLGA4;FTH1;AKT3;AP1S2;VPS36;GABARAPL2;COG6;DYNC1LI1;RAB30;RAB31;KDELR2;DENND6A;KIF20B;STAM2;STXBP3;RHOBTB3;SCFD1;GRK3;TBC1D14;TBC1D15;SEC31A;ANKRD28;TRAPPC2;SNAPIN;TRAPPC1;DENND4A;VTA1;DENND4C;HPS4;LNPEP;TRAPPC8;RAB27B;ARPC5;TRAPPC9;STAM;DAB2;ARPC3;COPS2;IL7R;RAB5A;PICALM;YWHAE;DENND1B;C2CD5;SNAP23;GDI2;STON1;PIK3C2A;CLINT1;BICD1;BICD2;PPP6C;MAP1LC3B;AP1G1;MAN1A2;PPP6R3;LDLRAP1;RAB8A;RAB8B;ACTR3;DENND2C;PLA2G4A;VPS37A;AP3B1;VPS37B;DYNLL1;YWHAZ;COPZ1;DNM3;TBC1D1;CTTN;KIF2A;DNAJC6;TRAPPC6B;EXOC6;EXOC5;PAFAH1B1;CHMP5;RAB1A;DYNC1I2;RABGAP1;SRC;VPS4B;GOSR1;DENND3;NEDD8;FCHO2;UBQLN1;REPS2;VPS54;EPS15;DYNC1I1;REPS1;SEC24B;RIC1;SEC24A;RAB11A;RAB14;CAPZA1;CAPZA2;RAB18;TRIP10;TRIP11;ACTR10;BET1

Cell Cycle, Mitotic R-HSA-69278	DOWN	96/523	9.05e-10	2.42	65.42	YWHAE;LIN54;GSK3B;AHCTF1;NUP107;CETN2;CCP110;SMC4;CDC14A;TUBA1C;NIPBL;XPO1;H2BC21;AKT3;CDC27;EP300;KNTC1;BTRC;LBR;RAB8A;SKP1;H3-3B;NDC1;OFD1;CEP135;PPP1R12A;ESCO1;H2AC6;IST1;DYRK1A;VRK1;HAUS6;VRK2;KNL1;PPP2R5C;DYNLL1;MASTL;H2BC17;TUBA4A;RBX1;H2BC12;DYNC1LI1;SLC25A15;H2AJ;H2BC15;RBL1;PSMA1;KIF2A;NME7;H2BC11;ANAPC5;NUP54;DNA2;BLZF1;ITGB3BP;PAFAH1B1;SDCCAG8;RAB1A;DYNC1I2;MAX;SRC;PDS5B;PDS5A;ARPP19;SKA2;ORC4;CCNB1;SPAST;RAD21;CEP70;E2F3;DYNC1I1;CLASP2;LYN;CDKN2D;H2AZ1;H2BC9;RANBP2;H2BC5;H2BC3;H2BC4;NUP153;WAPL;PSMB9;POLA1;NEDD1;RPS27;STAG2;CENPI;TAOK1;POLE2;CDK2;PPP2R2D;CEP41;TUBGCP4;TUBA8

Supplementary Table S10

Top 20 significantly enriched KEGG pathways of platelet transcripts in chemotherapy-induced thrombocytopenia.

KEGG Pathways Top 20	Enrichment Direction	Overlap	Adjusted p-value	Odds Ratio	Combined Score	Genes
Endocytosis	UP	45/252	7.03e-08	3.29	72.97	ARF3;RAB5B;TSG101;TFRC;SH3KBP1;ARPC1B;CLTB;SNX12;AP2A1;ARRB1;ARRB2;CBL;RAB22A;IGF1R;CYTH2;SNX1;CAPZB;GRK6;AP2S1;VPS35;PIP5K1C;AP2M1;SH3GL1;SH3GLB2;HSPA8;RAB4A;CAV2;GBF1;HLA-B;HLA-C;HLA-A;AP2B1;HSPA2;RHOA;EPN1;RAB11B;ARFGAP2;DNM2;EHD2;HGS;RAB35;CHMP2A;CHMP3;SMAP2;SPG21
Protein processing in endoplasmic reticulum	UP	35/171	8.16e-08	3.88	82.74	VCP;HSP90AB1;ATF6B;PRKCSH;UBE2J2;RNF5;SEC61A1;DNAJB1;LMAN1;GANAB;OS9;LMAN2;BAG1;CAPN2;MAN1A1;CAPN1;UBQLN4;UGGT1;UBXN6;HSPA8;HSP90AA1;SSR4;EIF2AK1;AMFR;YOD1;RAD23A;HSPA2;NPLOC4;DNAJC5;CANX;DNAJA2;ERP29;STUB1;CALR;P4HB
Lysosome	UP	27/128	2.56e-06	4.01	70.10	CTSZ;CLTB;CTSW;GNS;GGA2;LAPTM4B;GGA3;LAMP1;SMPD1;PSAP;HYAL3;GUSB;CTSD;CTSC;AP1M1;CTSB;ARSA;HGSNAT;ATP6V0B;ATP6AP1;ENTPD4;SORT1;AP1B1;AP3D1;CTNS;MAN2B1;ATP6V0C
Mitophagy	UP	17/68	5.88e-05	4.97	69.91	FIS1;GABARAPL1;CALCOCO2;ATG9A;CSNK2A2;TFE3;FOXO3;RELA;BCL2L13;RHOT2;PINK1;UBB;E2F1;ULK1;TBC1D17;OPTN;BCL2L1
Ubiquitin mediated proteolysis	UP	25/140	1.35e-04	3.25	42.29	MGRN1;UBE3B;UBE2Z;UBE2J2;CBL;UBE2L3;ANAPC11;FZR1;HERC2;UBB;ELOB;ELOC;UBE2I;FBXW11;HUWE1;UBE2A;DDB1;CUL4A;CDC34;UBE2R2;UBA1;STUB1;TRIP12;SAE1;UBE2M
Endocytosis	DOWN	47/252	1.55e-04	2.42	35.10	WIPF1;SRC;VPS4B;VPS26A;ASAP1;ASAP2;ACTR3B;EEA1;CDC42;GRK3;GRK4;CHMP1B;PSD3;LDLRAP1;VPS36;EPS15;RAB8A;SNX6;WASHC3;ACTR3;ARFGEF1;GIT2;PDGFRA;USP8;IST1;VTA1;WWP1;VPS37A;STAM;ARPC5;VPS37B;RAB11A;DNM3;ITCH;ACAP2;DAB2;RAB31;ARPC3;DNAJC6;PARD3;CAPZA1;NEDD4;RUFY2;CAPZA2;STAM2;RAB5A;CHMP5
Chronic myeloid leukemia	UP	17/76	2.05e-04	4.30	53.27	CDKN1A;MAP2K2;CTBP1;SHC1;ARAF;PTPN11;GAB2;CBL;RELA;BCR;E2F1;AKT1;E2F2;MAPK1;IKBKG;SOS1;BCL2L1
Longevity regulating pathway	UP	20/102	2.25e-04	3.64	44.25	HSPA8;ATF6B;EHMT1;HSPA2;ADIPOR1;FOXO3;ATG13;ADIPOR2;RELA;IGF1R;STK11;SESN3;CREB3L1;RB1CC1;CREB3L2;CAT;RPS6KB2;AKT1;EIF4EBP2;ULK1
Hepatitis B	UP	26/162	3.59e-04	2.86	32.69	CDKN1A;ATF6B;YWHAB;ARAF;ELK1;RELA;IRAK1;YWHAQ;CREB3L1;CREB3L2;E2F1;AKT1;E2F2;MAPK1;PTK2B;STAT6;IKBKG;JAK1;CREBBP;MAP2K2;ATP6AP1;PRKCB;PRKCA;DDB1;MAVS;SOS1
Glycerophospholipid metabolism	UP	19/98	3.59e-04	3.59	41.07	AGPAT5;LYPLA2;LYPLA1;PCYT1B;DGKD;LPGAT1;AGPAT1;DGKZ;CRLS1;PLD3;AGPAT3;PGS1;PTDSS2;PHOSPHO1;LPCAT3;CHPT1;PNPLA6;CDIPT;DGKH
Human cytomegalovirus infection	UP	32/225	4.06e-04	2.48	27.62	CDKN1A;ATF6B;ITGB3;PTGER3;ITPR1;ELK1;RELA;GNAI2;CREB3L1;CREB3L2;RAC2;E2F1;AKT1;E2F2;MAPK1;PTK2B;IKBKG;JAK1;MAP2K2;ARHGEF12;PRKCB;HLA-B;HLA-C;PRKCA;HLA-A;RHOA;TAPBP;GNB2;GNB1;RPS6KB2;CALR;SOS1
HIF-1 signaling pathway	UP	20/109	4.06e-04	3.35	37.26	CREBBP;CDKN1A;MAP2K2;TFRC;PRKCB;SLC2A1;CYBB;PRKCA;ENO1;RELA;IGF1R;PFKL;MKNK1;MKNK2;RPS6KB2;AKT1;MAPK1;ELOB;ELOC;PFKM
Salmonella infection	UP	34/249	4.88e-04	2.37	25.69	RAB5B;HSP90AB1;DCTN1;ARPC1B;ACTB;RELA;FYCO1;CYTH2;ACTR1A;TUBA1B;TUBA1A;IRAK1;RPS3;AKT1;FLNA;MAPK1;SNX9;KPNA4;IKBKG;RILP;VPS39;S100A10;KPNA1;HSP90AA1;MAP2K2;EXOC7;DYNLT3;TUBB4B;DYNLL2;RHOA;DNM2;PLEKHM1;PKN1;MYL9
Ubiquitin mediated proteolysis	UP	30/140	4.91e-04	2.87	36.26	CUL5;UBE2D3;CUL2;XIAP;UBE3A;RCHY1;HERC4;COP1;UBE2Q2;CDC27;UBR5;BTRC;SKP1;MAP3K1;FBXW7;FANCL;UBE2E3;WWP1;UBE2G1;PIAS2;PIAS1;RBX1;UBE2W;ITCH;NEDD4;UBA3;UBA2;ANAPC5;BIRC6;UBE2K
Thyroid hormone signaling pathway	UP	21/121	5.13e-04	3.13	33.57	CREBBP;MAP2K2;HDAC3;THRA;PRKCB;PDPK1;ITGB3;ATP2A3;SLC2A1;PRKCA;ATP1A1;ATP1B1;MED16;ACTB;MED13L;MED12;KAT2B;PFKL;AKT1;MAPK1;PFKM
Coronavirus disease	UP	32/232	5.92e-04	2.39	25.14	RPLP1;RPL12;RPLP0;ADAR;RPL8;RELA;RPS15;RPS14;RPL7A;IRAK1;RPS3;RPLP2;RPL13;MAPK1;IKBKG;RPS2;RPS12;JAK1;RPL19;RPS9;RPL21;RPS7;VWF;PRKCB;CYBB;RPL13A;PRKCA;MAVS;FCGR2A;FAU;RPL29;RPS24
Ferroptosis	UP	11/41	6.78e-04	5.45	56.07	MAP1LC3A;TFRC;GPX4;PCBP1;GSS;LPCAT3;PCBP2;CYBB;VDAC2;SLC3A2;SLC39A8
Platelet activation	DOWN	27/124	7.27e-04	2.93	34.63	ROCK1;ROCK2;SRC;SNAP23;PIK3R1;MYL12A;PIK3CG;MYLK;MYL12B;RAP1B;RAP1A;AKT3;P2RY1;PRKACB;PRKG1;LYN;VASP;P2RY12;PPP1R12A;SYK;ITGA2;PLA2G4A;GP1BA;PLCB4;GNAQ;BTK;ORAI1
Autophagy	UP	22/137	8.73e-04	2.85	28.29	GABARAPL1;MAP2K2;MTMR3;PDPK1;ATG9A;ITPR1;WIPI2;ATG13;ATG12;IGF1R;PPP2CA;STK11;LAMP1;RB1CC1;TP53INP2;RPS6KB2;AKT1;MAPK1;ULK1;CTSD;BCL2L1;CTSB
Human immunodeficiency virus 1 infection	UP	29/212	1.18e-03	2.37	22.50	ITPR1;RELA;GNAI2;IRAK1;CFL1;RAC2;AKT1;MAPK1;PTK2B;ELOB;ELOC;IKBKG;AP1M1;MAP2K2;PRKCB;FBXW11;AP1B1;HLA-B;HLA-C;PRKCA;HLA-A;TAPBP;DDB1;CUL4A;GNB2;GNB1;RPS6KB2;CALR;BCL2L1

Supplementary Table S11

Top 20 significantly enriched GO Biological Process terms of platelet transcripts in ITP in remission.

GO Biological Process Terms Top 20	Enrichment Direction	Overlap	Adjusted p-value	Odds Ratio	Combined Score	Genes
ubiquitin-dependent protein catabolic process (GO:0006511)	UP	58/354	8,51e-10	3,39	98,89	TGFB1I1;KEAP1;ARRB1;UBE3B;TNFAIP1;MAEA;PSMD4;PSMD2;TRIM25;FBXO8;DTX3L;RAD23A;TRPC4AP;SIRT2;RNF40;DDB1;CDC34;KCTD13;PSME1;TRIM13;RBCK1;VCP;PSMD11;UBR4;ANAPC11;BAG6;RMND5B;PSMB4;FZR1;RNF213;OS9;PSMB2;RNF215;HECTD3;ZSWIM8;PSMF1;TBL1X;RFFL;UBQLN4;ZRANB1;FEM1A;USP9X;AMFR;FBXL19;ADRM1;HUWE1;SYVN1;UBE2A;CHFR;PML;CUL4A;PINK1;NPLOC4;GID4;TOLLIP;PSMC1;UBA1;RNF187
protein ubiquitination (GO:0016567)	UP	68/525	1,71e-07	2,57	58,59	RNF10;FBH1;KEAP1;ARRB1;UBE3B;TNFAIP1;PRPF19;HERC2;PSMD4;TRIM5;PSMD2;TRIM25;UNKL;VPS18;USP7;DTX3L;HLA-A;TRPC4AP;RNF40;PJA2;DDB1;RRAGA;CDC34;PSME1;KCTD13;TRIM13;SDE2;TRIM58;RBCK1;ZNF598;VCP;PSMD11;TNKS;MGRN1;KLHL13;ANAPC11;DCAF15;PSMB4;RNF213;PSMB2;OS9;TMEM129;ZSWIM8;MARCHF8;PSMF1;VHL;MARCHF3;PHC1;USP9X;AMFR;FBXL19;SYVN1;HUWE1;MIB2;KLHL21;UBE2A;CHFR;CUL4A;PINK1;PSMC1;OTULIN;TRIM35;PAF1;UBE2O;FBXL3;UBA1;TRIM38;RNF187

neutrophil degranulation (GO:0043312)	UP	64/481	1,71e-07	2,65	59,97	HSP90AB1;ALAD;STK10;PNP;PSMD2;ITGAX;COTL1;SIRPA;QSOX1;CAPN1;GUSB;CTSD;SPTAN1;HGSNAT;CYBA;KCNAB2;UNC13D;ARHGAP45;ACLY;RAP2B;TYROBP;DNAJC5;ALDOC;ARL8A;GRN;VCP;CANT1;TMEM63A;PSMD11;GSTP1;UBR4;IQGAP2;GNS;CNN2;NCSTN;DPP7;CREG1;MLEC;MAPK1;ARSB;AP1M1;ATP6V0A1;VAT1;DYNC1H1;GSN;JUP;XRCC5;AGL;IDH1;SURF4;HUWE1;NBEAL2;LYZ;EEF2;MAPK14;DIAPH1;PFKL;FCGR2A;IMPDH1;GLB1;TOLLIP;P2RX1;MAN2B1;HPSE
cellular protein modification process (GO:0006464)	UP	108/1025	1,71e-07	2,06	46,00	MAML1;ARAF;KEAP1;DCAF8;PLOD2;STK19;STK10;NRBP2;PPP1CC;STK11;LGALS1;PSMD4;PPP2R1A;PSMD2;OGFOD1;PIM1;AKT1;PIM2;SBF1;SEPHS1;TGM2;WSB2;DYRK1B;P3H1;CSNK1D;CEL;PRKAB1;BCR;CDC34;MAPKAPK2;PSME1;ULK1;OBSL1;MTMR3;PSMD11;EPB42;UBA7;CTBP1;TNKS;ZC3HAV1;KLHL13;SOCS2;IRAK1;MAN2A2;ST3GAL5;PSMF1;ST3GAL1;ST3GAL2;MARK2;NUS1;KLHL21;ABCA7;BTBD6;PARP14;CLK3;CDK9;MSRA;WNK1;FBXL3;MAN2B1;MAP3K11;UBE2M;CDK16;RET;DYRK3;PRKCSH;TRIOBP;QSOX1;JAK1;PDPK1;MINK1;ANO8;PPP2R5B;SIRT2;SUMF2;DUSP7;DDB1;FAM20B;RNASEL;CTDP1;RAB1B;ACVR1B;PPP2CA;PSMB4;PSMB2;MKNK2;MAPK1;VHL;DCAF10;MAP4K4;MAPK3;NTRK1;PTPN1;MBTPS1;FEM1A;LAMB2;FBXL19;CDC42BPB;PPP1CA;BCKDK;CUL4A;PINK1;PSMC1;TAOK2;NUCB1;PKN1;P4HB;PNPLA2
neutrophil activation involved in immune response (GO:0002283)	UP	64/485	1,71e-07	2,62	58,47	HSP90AB1;ALAD;STK10;PNP;PSMD2;ITGAX;COTL1;SIRPA;QSOX1;CAPN1;GUSB;CTSD;SPTAN1;HGSNAT;CYBA;KCNAB2;UNC13D;ARHGAP45;ACLY;RAP2B;TYROBP;DNAJC5;ALDOC;ARL8A;GRN;VCP;CANT1;TMEM63A;PSMD11;GSTP1;UBR4;IQGAP2;GNS;CNN2;NCSTN;DPP7;CREG1;MLEC;MAPK1;ARSB;AP1M1;ATP6V0A1;VAT1;DYNC1H1;GSN;JUP;XRCC5;AGL;IDH1;SURF4;HUWE1;NBEAL2;LYZ;EEF2;MAPK14;DIAPH1;PFKL;FCGR2A;IMPDH1;GLB1;TOLLIP;P2RX1;MAN2B1;HPSE
neutrophil mediated immunity (GO:0002446)	UP	64/488	1,84e-07	2,60	57,37	HSP90AB1;ALAD;STK10;PNP;PSMD2;ITGAX;COTL1;SIRPA;QSOX1;CAPN1;GUSB;CTSD;SPTAN1;HGSNAT;CYBA;KCNAB2;UNC13D;ARHGAP45;ACLY;RAP2B;TYROBP;DNAJC5;ALDOC;ARL8A;GRN;VCP;CANT1;TMEM63A;PSMD11;GSTP1;UBR4;IQGAP2;GNS;CNN2;NCSTN;DPP7;CREG1;MLEC;MAPK1;ARSB;AP1M1;ATP6V0A1;VAT1;DYNC1H1;GSN;JUP;XRCC5;AGL;IDH1;SURF4;HUWE1;NBEAL2;LYZ;EEF2;MAPK14;DIAPH1;PFKL;FCGR2A;IMPDH1;GLB1;TOLLIP;P2RX1;MAN2B1;HPSE
proteasomal protein catabolic process (GO:0010498)	UP	35/205	2,37e-06	3,51	67,71	VCP;PSMD11;ARRB1;TNFAIP1;PRPF19;BAG6;RMND5B;ERLEC1;PSMB4;MAEA;PSMD4;PSMB2;HECTD3;PSMD2;ZSWIM8;PSMF1;TBL1X;RFFL;FBXL19;HUWE1;SYVN1;RAD23A;UBE2A;SIRT2;PML;DDB1;CUL4A;CDC34;GID4;PSMC1;KCTD13;PSME1;TRIM13;RBCK1;RNF187
regulation of macroautophagy (GO:0016241)	UP	24/112	6,28e-06	4,62	84,08	ATP6V1A;EXOC7;TSC2;ATG13;PRKAB1;HDAC6;NRBP2;RRAGA;PINK1;LARP1;CAPNS1;RRAGC;PIK3CA;RB1CC1;TRIM13;ATP6V1B2;AKT1;ULK1;QSOX1;SMCR8;ATP13A2;CAPN1;IKBKG;ATP6V0A1
protein modification by small protein conjugation (GO:0032446)	UP	53/409	6,42e-06	2,55	46,10	FBH1;KEAP1;ARRB1;TNFAIP1;HERC2;TRIM5;VPS18;USP7;NUP210;DTX3L;HLA-A;RANGAP1;TRPC4AP;RNF40;PJA2;DDB1;RRAGA;CDC34;KCTD13;TRIM13;SDE2;TRIM58;ZNF598;VCP;UBA7;MGRN1;KLHL13;ANAPC11;DCAF15;RNF213;OS9;TMEM129;ZSWIM8;VHL;MARCHF3;USP9X;AMFR;SYVN1;HUWE1;MIB2;KLHL21;UBE2A;CHFR;CUL4A;PINK1;OTULIN;TRIM35;PAF1;FBXL3;UBA1;TRIM38;RNF187;UBE2M
DNA repair (GO:0006281)	DOWN	47/298	1,34e-05	2,88	55,71	FTO;SETD2;MRE11;ABRAXAS1;BRCA1;BRCA2;PRIMPOL;ATXN3;BRIP1;WRN;MAPK8;CHEK2;UIMC1;USP1;RBBP8;POLI;KMT5B;POLK;TOPBP1;ASCC3;PMS1;BARD1;FANCI;WDHD1;POLQ;NPM1;FANCM;FANCL;USP3;EYA3;USP45;SMARCA5;RPA1;FANCB;MLH3;WDR33;POLA1;NEIL3;RAD51C;MSH3;POLE2;APLF;ATM;DNA2;MNAT1;RAD18;ATR
proteasome-mediated ubiquitin-dependent protein catabolic process (GO:0043161)	UP	44/321	1,89e-05	2,71	45,77	VCP;PSMD11;ARRB1;TNFAIP1;ANAPC11;BAG6;RMND5B;PSMB4;FZR1;MAEA;PSMD4;OS9;PSMB2;HECTD3;PSMD2;TMEM129;ZSWIM8;TRIM25;PSMF1;TBL1X;RFFL;HSPA5;FEM1A;AMFR;FBXL19;SGTA;HUWE1;SYVN1;RAD23A;UBE2A;SIRT2;PML;DDB1;CUL4A;CDC34;NPLOC4;GID4;PSMC1;KCTD13;PSME1;TRIM13;FBXL3;RBCK1;RNF187
modification-dependent protein catabolic process (GO:0019941)	UP	32/201	3,78e-05	3,22	51,74	PSMD11;UBR4;KEAP1;ARRB1;UBE3B;ANAPC11;BAG6;FZR1;RNF213;OS9;RNF215;TRIM25;PSMF1;FBXO8;RFFL;UBQLN4;DTX3L;FEM1A;AMFR;ADRM1;SYVN1;UBE2A;TRPC4AP;RNF40;CHFR;DDB1;PINK1;CDC34;NPLOC4;TOLLIP;UBA1;PCYOX1
mitotic spindle organization (GO:0007052)	DOWN	30/157	5,74e-05	3,60	62,01	DYNC1I2;AHCTF1;INTS13;NUP107;ZWILCH;ABRAXAS1;AURKA;CCNB1;XPO1;CHEK2;TOGARAM1;KNTC1;PIBF1;CLASP2;OFD1;RANBP2;STIL;KNL1;DYNLL1;RAB11A;EML4;DYNC1LI1;CENPE;KIF18A;RPS27;CENPI;TAOK1;CENPK;SBDS;ITGB3BP
organelle organization (GO:0006996)	UP	51/420	7,27e-05	2,36	36,26	DYRK3;NUMA1;SH3KBP1;MAST3;LIMD1;CAPZB;ZMYM3;DPYSL2;CFL1;ABCD1;VPS18;VPS13D;CSNK1D;ANK1;HCFC1;GAK;TBC1D20;GORASP2;RAB34;PEX6;YME1L1;CHMP6;OBSL1;STOML2;HTT;TOR1AIP2;CNN2;NCKIPSD;LMAN1;SLC9A3R1;ATP5F1B;LMAN2;PACSIN2;ZRANB1;TOR1A;ATP8B2;SEC16A;SURF4;GBF1;MICAL3;HUWE1;MICAL2;CDC42BPB;DIAPH1;PINK1;NPLOC4;GOLGB1;RANBP10;CHMP2A;PLEKHM2;NECTIN2
regulation of primary metabolic process (GO:0080090)	UP	24/130	7,70e-05	3,83	58,25	FDPS;PSMD11;HDAC3;NFYA;IRS2;ABCA7;EDF1;PRKAB1;LSS;ACACA;OAZ2;SREBF2;PSMB4;RXRA;PSMD4;SIN3B;PSMB2;PSMD2;FASN;CARM1;PSMC1;PSME1;PSMF1;TBL1X
protein exit from endoplasmic reticulum (GO:0032527)	UP	10/24	8,51e-05	12,01	180,28	LMAN1;SEC13;VCP;NPLOC4;OS9;SEC16A;SURF4;TMEM129;SYVN1;PREB
phosphorylation (GO:0016310)	UP	48/400	1.86e-04	2,33	33,00	RET;RNASEL;DYRK3;PANK3;MAML1;CTBP1;STK19;PIK3CB;LIMD1;ACVR1B;NRBP2;STK10;STK11;TKFC;IRAK1;MKNK2;PIM1;AKT1;MAPK1;PIM2;MARK2;JAK1;MAP4K4;MAPK3;NTRK1;PDPK1;MINK1;DYRK1B;CSNK1D;CDC42BPB;PRKAB1;DGKZ;CLK3;BCR;CDK9;BCKDK;PINK1;PIK3CA;WNK1;TOLLIP;TAOK2;MAPKAPK2;FAM20B;PI4KA;ULK1;PKN1;MAP3K11;CDK16
cytoskeleton organization (GO:0007010)	UP	22/120	2.21e-04	3,79	52,88	ZRANB1;MAST3;SH3KBP1;MICAL3;MICAL2;CDC42BPB;LIMD1;ANK1;RHOB;CNN2;NCKIPSD;DIAPH1;CAPZB;ZMYM3;DPYSL2;CFL1;EPB41L3;PACSIN2;RANBP10;RAC2;OBSL1;NECTIN2
microtubule cytoskeleton organization involved in mitosis (GO:1902850)	DOWN	25/128	3.36e-04	3,69	55,50	DYNC1I2;AHCTF1;INTS13;SETD2;NUP107;ZWILCH;AURKA;CCNB1;XPO1;KNTC1;CLASP2;RANBP2;STIL;KNL1;DYNLL1;EML4;DYNC1LI1;CENPE;KIF18A;RPS27;CENPI;TAOK1;CENPK;SBDS;ITGB3BP
endoplasmic reticulum to Golgi vesicle-mediated transport (GO:0006888)	UP	28/185	4.24e-04	3,03	39,95	PEF1;DCTN1;PROS1;RAB1B;TEX261;SPTA1;NRBP2;LMAN1;ACTR1A;CAPZB;LMAN2;SPTAN1;YKT6;DYNC1H1;SEC13;SEC16A;GBF1;ANK1;ARFGAP2;F8;TBC1D20;TMEM115;GOLGB1;PREB;COPG1;ERGIC3;SEC24C;COPE

Supplementary Table S12

Top 20 significantly enriched GO Reactome pathways of platelet transcripts in ITP in remission.

GO Reactome Top 20	Enrichment Direction	Overlap	Adjusted p-value	Odds Ratio	Combined Score	Genes
Immune System R-HSA-168256	UP	195/1943	6,21e-13	2,04	72,14	CYFIP2;NCKAP1;AHCYL1;ICAM2;KEAP1;IFIT1;IFIT3;IFIT2;HERC2;PSMD4;PPP2R1A;PSMD2;AKT1;TRIM25;NUP210;AP1B1;HLA-A;UNC13D;RNF123;CDC34;ORAI2;PSME1;RBCK1;TMEM63A;IQGAP2;GNS;ANAPC11;SEC14L2;NCSTN;PRDX5;RNF213;MLEC;PSMF1;FADD;N4BP1;ARSB;ATP6V0A1;VAT1;JUP;XRCC5;SURF4;NBEAL2;LYZ;UBAC1;SMARCA4;TOLLIP;TREML2;FBXL3;CALR;SH3KBP1;RPLP0;CLTC;CLTA;AP2A1;ACTR1A;TRIM5;NKIRAS2;RAC2;QSOX1;IKBKG;CTSD;SPTAN1;JAK1;SEC13;BTN3A1;GSTO1;DUSP7;RAP2B;ALDOC;RNASEL;GRN;GSTP1;PPP2CA;PSMB4;PSMB2;CREG1;FLNA;DYNC1H1;GSN;STAT2;AGL;MIB2;HUWE1;PSMC1;PKN1;OTUD5;PROS1;INPPL1;IRS2;UBE3B;TXN2;STK10;CCND1;COTL1;SIRPA;CAPN1;IL6R;AP2M1;KPNA1;CD96;CYBA;ARHGAP45;ACLY;TXLNA;TYROBP;MAPKAPK2;ARL8A;ATP6V1A;VCP;PSMD11;UBA7;SHC1;UBR4;ITPR1;KLHL13;FOXO3;PLD3;SOCS2;CNN2;NCKIPSD;TKFC;DPP7;IRAK1;KIF3C;MAP2K7;AP1M1;RAP1GAP2;HSPA5;IDH1;KLHL21;UBE2A;BTBD6;EEF2;DIAPH1;MAVS;UBE2O;UBA1;MAN2B1;HPSE;UBE2M;EIF4G1;HSP90AB1;PRKCSH;ADAR;PIK3CB;ALAD;CAPZB;ITGAX;GUSB;UNKL;HGSNAT;DTX3L;PDPK1;PPP2R5B;KCNAB2;PJA2;TAPBP;DNM2;PIK3CA;DNAJC5;ATP6V1B2;MYH9;EVL;EIF4E2;TRIM56;RALA;CANT1;MGRN1;DCTN1;NOD1;FZR1;HECTD1;HECTD3;MAPK1;VHL;SH2B3;WASF2;GBP4;MAPK3;PTPN1;MYO10;FBXL19;PTPN11;MAPK14;PML;PFKL;FCGR2A;GLB1;P2RX1;TRIM35;CCM2;P4HB;TRIM38;SEC24C;NECTIN2
Disease R-HSA-1643685	UP	175/1736	9,19e-12	2,03	64,88	CYFIP2;NCKAP1;AHCYL1;RPL32;MAML1;ITGA2B;ARAF;KEAP1;PEBP1;IRS2;SLC4A1;ENO1;RPL8;COMT;TXN2;PPP1CC;RPS14;PSMD4;CAPNS1;MPRIP;CCND1;RPL18A;PPP2R1A;PSMD2;BSG;CAPN2;AKT1;TRIM25;RPL35;CAPN1;IL6R;AP2M1;VPS39;KPNA1;SH3GL1;VPS18;DAXX;RPS9;MAP2K2;NUP210;SLC11A2;AP1B1;TSC2;CYBA;HLA-A;GTF2F1;SND1;DPM2;HGS;CDC37;PSME1;TLN1;SLC27A4;NOTCH2;VCP;PSMD11;SHC1;CTBP1;TNKS;ITPR1;ZC3HAV1;FOXO3;GNS;ACACA;ANAPC11;NCKIPSD;PRDX2;FUT8;NCSTN;LARP1;RNF213

						;TKFC;IRAK1;DVL3;PSMF1;FADD;MAP2K7;ST3GAL1;ARSB;ST3GAL2;AP1M1;NUS1;XRCC5;IDH1;EEF2;PARP14;GP5;EXT1;CDK9;PPFIBP1;MAVS;GNB2;GOLGB1;GNB1;NMT1;CHMP2A;CALR;MAP3K11;HSP90AB1;PRKCSH;SH3KBP1;ITGB3;RPLP0;CLTC;SLC2A1;CLTA;ARRB1;AP2A1;MTR;PIK3CB;CHD3;OPLAH;RAC2;RPLP2;IKBKG;GUSB;ABCD1;JAK1;YWHAH;HGSNAT;SEC13;PDPK1;AXIN1;PPP2R5B;REXO2;RANGAP1;DUSP7;APBB1IP;F8;TFDP1;PIK3CA;PCCB;AKT1S1;MYH9;CHMP6;ST6GALNAC4;CTDP1;HDAC3;DCTN1;FURIN;NOD1;HDAC6;PPP2CA;NEURL1B;ERLEC1;PSMB4;FZR1;PSMB2;OS9;MGAT5;SAP30L;LMNA;RPS3;MAPK1;VHL;RPS2;TBL1X;RPL18;WASF2;RPL19;MAPK3;DYNC1H1;MYO10;STAT2;CNBP;MIB2;SYVN1;PTPN11;MAPK14;PML;FCGR2A;GLB1;PSMC1;RHAG;SEC24C
Cell Cycle R-HSA-1640170	DOWN	94/654	2,70e-11	2,64	83,14	CEP57;TOP2A;YWHAE;GSK3B;AHCTF1;NUP107;MRE11;CCNH;ZWILCH;RSF1;BRCA1;BRCA2;CDC14A;PPP6C;PSMD6;NIPBL;XPO1;MIS18BP1;CHEK2;AKT3;CDC27;CNTRL;UIMC1;KNTC1;TOPBP1;CEP290;NDC1;OFD1;CEP135;ESCO1;H2AC6;VRK1;HAUS6;VRK2;KNL1;DYNLL1;RBX1;HAUS1;EML4;DYNC1LI1;PSMA4;RAD51C;H2BC15;RBL1;NME7;H2BC11;NUP54;DNA2;BLZF1;ITGB3BP;SDCCAG8;DYNC1I2;ABRAXAS1;NCAPG;LIN9;AURKA;ORC5;ORC4;WRN;BRIP1;CCNB1;ORC3;CEP70;RBBP8;CLASP2;BARD1;LYN;ANKRD28;H2BC9;RANBP2;NPM1;H2BC5;NUP155;UBE2C;H2BC3;H2BC4;SMARCA5;WAPL;MLH3;CENPE;POLA1;NEDD1;CDK7;KIF18A;RPS27;CENPI;TAOK1;POLE2;CENPK;PPP2R2D;NUP35;ATM;MNAT1;NOP10
Cellular Responses To Stress R-HSA-2262752	UP	93/722	2,30e-11	2,60	78,93	ACADVL;HSP90AB1;RPL32;RPLP0;KEAP1;RPL8;LIMD1;ETS2;TXN2;RPS14;ACTR1A;TATDN2;PSMD4;CAPZB;SIN3B;RPL18A;CREB3L1;PSMD2;CREB3L2;AKT1;RPL35;RPLP2;PHGDH;HIF1AN;RPS9;SEC13;SZT2;ABCC1;NUP210;CSNK2A2;MINK1;PPP2R5B;CYBA;RRAGA;TFDP1;RRAGC;MAPKAPK2;AKT1S1;PSME1;ATP6V1B2;BLVRB;TERF2IP;PREB;TKT;TLN1;ATP6V1A;VCP;HDAC3;PSMD11;SHC1;DCTN1;GSTP1;HDAC6;ADD1;ANAPC11;DEDD2;PRDX2;PRDX5;PSMB4;FZR1;RXRA;PSMB2;UBN1;LMNA;RPS3;MAPK1;PSMF1;RPS2;TBL1X;VHL;RPL18;MAP2K7;RPL19;MAP4K4;MAPK3;DYNC1H1;MBTPS1;PHC1;NFYA;HSPA5;IDH1;GSR;SYVN1;MAPK14;NPLOC4;CASTOR2;PSMC1;CARM1;MAFK;P4HB;CALR;TNRC6A;TNRC6B
Signaling By Rho GTPases, Miro GTPases And RHOBTB3 R-HSA-9716542	UP	87/660	4,09e-11	2,66	79,25	CYFIP2;NCKAP1;ANKLE2;TRIO;HSP90AB1;PRKCSH;CLTC;ARHGAP1;MTR;TNFAIP1;ARHGAP35;PPP1CC;STK10;GOLGA3;AKAP13;CAPZB;SH3PXD2A;PPP2R1A;ARHGDIA;NCK2;RAC2;FLOT1;SPTAN1;TMPO;NDEL1;YWHAH;PLEKHG3;NUDC;SEC13;PLEKHG2;ATP6AP1;CCDC115;PDPK1;SWAP70;ACTN1;PPP2R5B;MRTFA;ARHGEF18;CYBA;ARAP1;GMIP;RANGAP1;REXO2;CKAP5;ARFGAP2;RHOB;ARHGAP45;NISCH;PIK3CA;GFOD1;HGS;CDC37;KCTD13;PLIN3;MYH9;EVL;DBN1;ARHGEF6;VCP;ARHGAP17;IQGAP2;PPP2CA;NCKIPSD;LMAN1;FZR1;CTNNA1;FLNA;DVL3;MAPK1;VHL;SRGAP2;YKT6;WASF2;MAPK3;DYNC1H1;JUP;HOMER2;USP9X;CDC42BPB;MAPK14;MYO19;ARHGAP25;DIAPH1;DNMBP;PKN1;ESYT1;MAP3K11
Cellular Responses To Stimuli R-HSA-8953897	UP	93/736	5,65e-11	2,54	74,24	ACADVL;HSP90AB1;RPL32;RPLP0;KEAP1;RPL8;LIMD1;ETS2;TXN2;RPS14;ACTR1A;TATDN2;PSMD4;CAPZB;SIN3B;RPL18A;CREB3L1;PSMD2;CREB3L2;AKT1;RPL35;RPLP2;PHGDH;HIF1AN;RPS9;SEC13;SZT2;ABCC1;NUP210;CSNK2A2;MINK1;PPP2R5B;CYBA;RRAGA;TFDP1;RRAGC;MAPKAPK2;AKT1S1;PSME1;ATP6V1B2;BLVRB;TERF2IP;PREB;TKT;TLN1;ATP6V1A;VCP;HDAC3;PSMD11;SHC1;DCTN1;GSTP1;HDAC6;ADD1;ANAPC11;DEDD2;PRDX2;PRDX5;PSMB4;FZR1;RXRA;PSMB2;UBN1;LMNA;RPS3;MAPK1;PSMF1;RPS2;TBL1X;VHL;RPL18;MAP2K7;RPL19;MAP4K4;MAPK3;DYNC1H1;MBTPS1;PHC1;NFYA;HSPA5;IDH1;GSR;SYVN1;MAPK14;NPLOC4;CASTOR2;PSMC1;CARM1;MAFK;P4HB;CALR;TNRC6A;TNRC6B
Signaling By Rho GTPases R-HSA-194315	UP	84/644	1,32e-10	2,62	73,98	CYFIP2;NCKAP1;ANKLE2;TRIO;HSP90AB1;PRKCSH;CLTC;ARHGAP1;MTR;TNFAIP1;ARHGAP35;PPP1CC;STK10;GOLGA3;AKAP13;CAPZB;SH3PXD2A;PPP2R1A;ARHGDIA;NCK2;RAC2;FLOT1;SPTAN1;TMPO;NDEL1;YWHAH;PLEKHG3;NUDC;SEC13;PLEKHG2;ATP6AP1;CCDC115;PDPK1;SWAP70;ACTN1;PPP2R5B;MRTFA;ARHGEF18;CYBA;ARAP1;GMIP;RANGAP1;REXO2;CKAP5;ARFGAP2;RHOB;ARHGAP45;NISCH;PIK3CA;GFOD1;HGS;CDC37;KCTD13;MYH9;EVL;DBN1;ARHGEF6;VCP;ARHGAP17;IQGAP2;PPP2CA;NCKIPSD;LMAN1;FZR1;CTNNA1;FLNA;DVL3;MAPK1;SRGAP2;YKT6;WASF2;MAPK3;DYNC1H1;JUP;HOMER2;USP9X;CDC42BPB;MAPK14;ARHGAP25;DIAPH1;DNMBP;PKN1;ESYT1;MAP3K11
Membrane Trafficking R-HSA-199991	UP	79/599	3,12e-10	2,65	71,96	SH3KBP1;CLTC;CLTB;CLTA;ARRB1;AP2A1;GCC1;ACTR1A;CAPZB;PPP6R1;KIF13B;AKT1;KIF1C;DENND5A;SBF1;SPTAN1;AP2M1;AGFG1;TBC1D10B;SH3GL1;YWHAH;SEC13;EXOC7;AP1B1;TSC2;CSNK1D;REXO2;PRKAB1;ANK1;ARFGAP2;DNM2;GAK;F8;RALGAPB;TBC1D20;TBC1D4;HGS;RAB35;EXOC3;PLIN3;MYH9;PREB;ULK1;CHMP6;SEC22C;RALA;DCTN1;RAB1B;GNS;AGPAT3;GGA2;SPTA1;LMAN1;MAN2A2;LMAN2;BLOC1S3;PACSIN2;TBC1D13;PIP5K1C;KIF3C;TBC1D17;YKT6;RAB6B;AP1M1;DYNC1H1;TOR1A;DENND4B;HOMER2;GALNT2;SEC16A;HPS1;SURF4;SNX18;TMEM115;GOLGB1;CHMP2A;COPG1;SEC24C;COPE
Asparagine N-linked Glycosylation R-HSA-446203	UP	49/282	3,12e-10	3,62	98,01	CMAS;PRKCSH;ACTR1A;CAPZB;PPP6R1;GFUS;SPTAN1;SEC13;CSNK1D;ANK1;RENBP;ARFGAP2;DPM2;F8;TBC1D20;TRIM13;PREB;ST6GALNAC4;SEC22C;VCP;DCTN1;RAB1B;SPTA1;LMAN1;FUT8;OS9;MAN2A2;LMAN2;MGAT5;AMDHD2;MLEC;ST3GAL5;ST3GAL1;YKT6;ST3GAL2;NUS1;DYNC1H1;SEC16A;AMFR;SYVN1;TMEM115;GLB1;GOLGB1;PSMC1;DOLPP1;CALR;COPG1;SEC24C;COPE
Vesicle-mediated Transport R-HSA-5653656	UP	81/637	8,79e-10	2,54	65,81	SH3KBP1;CLTC;CLTB;CLTA;ARRB1;AP2A1;GCC1;ACTR1A;CAPZB;PPP6R1;STAB1;KIF13B;AKT1;KIF1C;DENND5A;SBF1;SPTAN1;AP2M1;AGFG1;TBC1D10B;SH3GL1;YWHAH;SEC13;EXOC7;AP1B1;TSC2;CSNK1D;REXO2;PRKAB1;ANK1;ARFGAP2;DNM2;GAK;F8;RALGAPB;TBC1D20;TBC1D4;HGS;RAB35;EXOC3;PLIN3;MYH9;PREB;ULK1;CHMP6;SEC22C;RALA;DCTN1;RAB1B;GNS;AGPAT3;GGA2;SPTA1;LMAN1;MAN2A2;LMAN2;BLOC1S3;PACSIN2;TBC1D13;PIP5K1C;KIF3C;TBC1D17;YKT6;RAB6B;AP1M1;DYNC1H1;TOR1A;DENND4B;HOMER2;GALNT2;SEC16A;HPS1;SURF4;SNX18;TMEM115;GOLGB1;CHMP2A;CALR;COPG1;SEC24C;COPE
Innate Immune System R-HSA-168249	UP	113/1035	1,21e-09	2,16	55,04	CYFIP2;OTUD5;NCKAP1;AHCYL1;PROS1;ICAM2;TXN2;STK10;PSMD4;PPP2R1A;PSMD2;COTL1;TRIM25;SIRPA;CAPN1;CYBA;HLA-A;UNC13D;ARHGAP45;ACLY;CDC34;TYROBP;MAPKAPK2;PSME1;ARL8A;ATP6V1A;VCP;TMEM63A;PSMD11;UBA7;SHC1;ITPR1;UBR4;IQGAP2;GNS;PLD3;CNN2;NCKIPSD;NCSTN;PRDX5;TKFC;DPP7;IRAK1;MLEC;PSMF1;FADD;MAP2K7;ARSB;N4BP1;AP1M1;ATP6V0A1;VAT1;JUP;XRCC5;IDH1;SURF4;NBEAL2;LYZ;EEF2;DIAPH1;MAVS;TOLLIP;MAN2B1;HPSE;UBE2M;HSP90AB1;PRKCSH;PIK3CB;ALAD;NKIRAS2;ITGAX;RAC2;QSOX1;IKBKG;GUSB;CTSD;SPTAN1;HGSNAT;PDPK1;KCNAB2;DUSP7;DNM2;RAP2B;PIK3CA;DNAJC5;ATP6V1B2;MYH9;ALDOC;TRIM56;GRN;CANT1;GSTP1;NOD1;PPP2CA;PSMB4;PSMB2;CREG1;MAPK1;WASF2;MAPK3;DYNC1H1;GSN;MYO10;AGL;HUWE1;PTPN11;MAPK14;PFKL;FCGR2A;GLB1;PSMC1;P2RX1;PKN1
Signal Transduction R-HSA-162582	UP	216/2465	1,59e-09	1,74	43,80	CYFIP2;NCKAP1;ANKLE2;AHCYL1;TRIO;TRRAP;MAML1;ARAF;IKZF1;F11R;GOLGA3;SYNGAP1;PSMD4;PPP2R1A;PSMD2;AKT1;TMPO;ACTN1;CSNK2A2;MRTFA;PRKAB1;NISCH;RRAGA;RRAGC;CDC37;PSME1;KCTD13;RBCK1;TLN1;CTBP1;MAGED1;IQGAP2;NCSTN;RDH10;PSMF1;PIP5K1C;FADD;ATP6V0A1;ZRANB1;PHC1;JUP;HOMER2;SMARCA4;FASN;AGO2;RANBP10;RET;SH3KBP1;CLTC;ARHGAP1;CLTB;CLTA;AP2A1;PCSK6;AKAP13;SH3PXD2A;SUFU;RAC2;IKBKG;CTSD;SPTAN1;JAK1;NDEL1;SEC13;NUDC;IFT140;CCDC115;TCF12;GMIP;DUSP7;RHOB;APBB1IP;RAPGEF2;PLIN3;DBN1;ARHGEF6;RXRB;PPP2CA;NEURL1B;LMAN1;PSMB4;RXRA;PSMB2;OS9;CTNNA1;FLNA;TBL1X;YKT6;DYNC1H1;USP9X;VEGFB;MIB2;SYVN1;PPP1CA;PSMC1;OTULIN;ZNF217;PKN1;ESYT1;F2RL3;ITGA2B;PEBP1;IRS2;ARHGAP35;ABHD12;STK10;PPP1CC;STK11;CCND1;ARHGDIA;IL6R;AP2M1;SH3GL1;USP7;MAP2K2;SWAP70;TSC2;CYBA;GTF2F1;DGKZ;ARHGAP45;PYGO2;HGS;MFNG;MAPKAPK2;NOTCH2;ATP6V1A;KMT2D;VCP;PSMD11;SHC1;TNKS;ITPR1;ARL2;ARHGAP17;FOXO3;SPTA1;NCKIPSD;IRAK1;DVL3;SRGAP2;ARHGAP25;CDK9;DIAPH1;DNMBP;GNB2;GNB1;MAP3K11;UBE2M;MXD4;EIF4G1;FLT1;HSP90AB1;PRKCSH;ITGB3;ATP2A3;ARRB1;MTR;PIK3CB;TNFAIP1;CHD3;PTBP1;CAPZB;NCK2;FLOT1;YWHAH;PLEKHG3;PLEKHG2;ATP6AP1;PDPK1;AXIN1;PPP2R5B;IQCE;ARHGEF18;ARAP1;REXO2;RANGAP1;CKAP5;ADRA2A;ARFGAP2;DNM2;TFDP1;PIK3CA;GFOD1;AKT1S1;ATP6V1B2;COL6A3;MYH9;EVL;RALA;HDAC3;FURIN;ACVR1B;HDAC6;ERLEC1;FZR1;GNA12;PDE6D;MAPK1;E2F4;VHL;SH2B3;WASF2;MAPK3;NTRK1;PTPN1;PTPN11;CFLAR;CDC42BPB;MAPK14;MYO19;PML;CARM1;P4HB;TNRC6A;TNRC6B
Diseases Of Signal Transduction By Growth Factor Receptors And Second Messengers R-HSA-5663202	UP	61/424	1,84e-09	2,91	72,17	MAML1;ITGB3;CLTC;ITGA2B;ARAF;PEBP1;IRS2;ARRB1;PIK3CB;PPP1CC;MPRIP;PSMD4;PPP2R1A;PSMD2;RAC2;AKT1;MAP2K2;PDPK1;AXIN1;PPP2R5B;TSC2;GTF2F1;SND1;DUSP7;APBB1IP;PIK3CA;CDC37;AKT1S1;PSME1;MYH9;TLN1;VCP;HDAC3;PSMD11;CTBP1;SHC1;TNKS;DCTN1;ZC3HAV1;FOXO3;HDAC6;PPP2CA;NEURL1B;ERLEC1;NCSTN;PSMB4;RNF213;PSMB2;OS9;LMNA;MAPK1;PSMF1;TBL1X;MAPK3;SYVN1;MIB2;PTPN11;PPFIBP1;PSMC1;GOLGB1;MAP3K11
Neutrophil Degranulation R-HSA-6798695	UP	65/468	1,83e-09	2,79	69,28	HSP90AB1;PRKCSH;ALAD;STK10;PSMD2;ITGAX;COTL1;SIRPA;QSOX1;CAPN1;GUSB;CTSD;SPTAN1;HGSNAT;CYBA;KCNAB2;HLA-A;UNC13D;ARHGAP45;ACLY;RAP2B;TYROBP;DNAJC5;ALDOC;ARL8A;GRN;VCP;CANT1;TMEM63A;PSMD11;GSTP1;UBR4;IQGAP2;GNS;CNN2;NCSTN;PRDX5;DPP7;CREG1;MLEC;MAPK1;ARSB;AP1M1;ATP6V0A1;VAT1;DYNC1H1;GSN;JUP;XRCC5;AGL;IDH1;SURF4;HUWE1;NBEAL2;LYZ;EEF2;MAPK14;DIAPH1;PFKL;FCGR2A;GLB1;TOLLIP;P2RX1;MAN2B1;HPSE
Post-translational Protein Modification R-HSA-597592	UP	137/1383	5,17e-09	1,95	46,18	OTUD5;CMAS;TRRAP;PROS1;KEAP1;DCAF8;HERC2;LGALS1;PSMD4;PSMD2;TRIM25;DAXX;USP7;WSB2;NUP210;MRTFA;CSNK1D;HLA-A;ANK1;RNF40;HCFC1;RNF123;DPM2;RRAGA;CDC34;TBC1D20;HGS;RAB34;CD109;RAB35;PSME1;TRIM13;PREB;OBSL1;VCP;PSMD11;CTBP1;TNKS;KLHL13;SOCS2;SPTA1;FUT8;MAN2A2;AMDHD2;TMEM129;ZBED1;ST3GAL5;MLEC;PSMF1;ST3GAL1;RAB6B;ARSB;ST3GAL2;NUS1;ZRANB1;PHC1;SEC16A;KLHL21;UBE2A;BTBD6;EEF2;MAVS;NPLOC4;TMEM115;GOLGB1;PAF1;FBXL3;UBA1;CALR;COPE;UBE2M;PRKCSH;USP32;PIGQ;ARRB1;CHD3;ACTR1A;SENP5;CAPZB;PPP6R1;QSOX1;IKBKG;GFUS;SPTAN1;USP47;SEC13;ANO8;AXIN1;RAD23A;JOSD1;RANGAP1;RENBP;SUMF2;ARFGAP2;DDB1;F8;ST6GALNAC4;SEC22C;OTUB1;DCTN1;RAB1B;FURIN;NOD1;LMAN1;PSMB4;RXRA;PSMB2;OS9;MGAT5;LMAN2;VHL;RPS2;DCAF10;YKT6;USP24;DYNC1H1;MBTPS1;USP9X;GALNT2;MBD1;PCGF2;FBXL19;AMFR;ADRM1;SYVN1;PML;CUL4A;TNIP1;GLB1;PSMC1;DOLPP1;OTULIN;NUCB1;P4HB;COPG1;SEC24C;PNPLA2
RHO GTPase Cycle R-HSA-9012999	UP	61/441	8,01e-09	2,77	64,30	CYFIP2;NCKAP1;ANKLE2;TRIO;HSP90AB1;PRKCSH;CLTC;ARHGAP1;MTR;TNFAIP1;ARHGAP35;STK10;GOLGA3;AKAP13;CAPZB;SH3PXD2A;ARHGDIA;NCK2;RAC2;FLOT1;SPTAN1;TMPO;PLEKHG3;NUDC;PLEKHG2;ATP6AP1;CCDC115;SWAP70;ACTN1;ARHGEF18;CYBA;ARAP1;GMIP;ARFGAP2;RHOB;ARHGAP45;NISCH;PIK3CA;GFOD1;HGS;CDC37;KCTD13;DBN1;ARHGEF6;VCP;ARHGAP17;IQGAP2;LMAN1;SRGAP2;YKT6;WASF2;JUP;HOMER2;USP9X;CDC42BPB;ARHGAP25;DIAPH1;DNMBP;PKN1;ESYT1;MAP3K11
Infectious Disease R-HSA-5663205	UP	104/961	9,18e-09	2,13	48,91	CYFIP2;NCKAP1;AHCYL1;RPL32;KEAP1;ENO1;RPL8;COMT;TXN2;RPS14;PSMD4;RPL18A;PSMD2;AKT1;TRIM25;RPL35;IL6R;AP2M1;VPS39;KPNA1;SH3GL1;VPS18;DAXX;RPS9;MAP2K2;NUP210;AP1B1;CYBA;HLA-

						A;GTF2F1;HGS;PSME1;VCP;PSMD11;ITPR1;NCKIPSD;FUT8;LARP1;RNF213;TKFC;IRAK1;DVL3;PSMF1;MAP2K7;ST3GAL1;ST3GAL2;AP1M1;XRCC5;EEF2;PARP14;CDK9;MAVS;GNB2;GNB1;NMT1;CHMP2A;CALR;HSP90AB1;PRKCSH;SH3KBP1;RPLP0;CLTC;CLTA;AP2A1;CHD3;RPLP2;IKBKG;JAK1;YWHAH;SEC13;PDPK1;RANGAP1;REXO2;MYH9;CHMP6;ST6GALNAC4;CTDP1;HDAC3;FURIN;NOD1;PSMB4;FZR1;PSMB2;MGAT5;SAP30L;RPS3;MAPK1;VHL;RPS2;TBL1X;RPL18;WASF2;RPL19;MAPK3;DYNC1H1;MYO10;STAT2;CNBP;PTPN11;MAPK14;PML;FCGR2A;PSMC1;SEC24C
Metabolism Of Proteins R-HSA-392499	UP	172/1890	1,12e-08	1,79	40,68	OTUD5;CMAS;RPL32;TRRAP;PROS1;KEAP1;DCAF8;RPL8;TXN2;RPS14;HERC2;LGALS1;PSMD4;RPL18A;PSMD2;TRIM25;RPL35;DAXX;USP7;RPS9;WSB2;NUP210;CSNK2A2;MRTFA;CSNK1D;HLA-A;ANK1;RNF40;HCFC1;RNF123;DPM2;RRAGA;CDC34;TBC1D20;HGS;RAB34;CD109;RAB35;PSME1;TRIM13;PREB;OBSL1;VCP;PSMD11;CTBP1;TNKS;ARL2;KLHL13;SOCS2;SPTA1;FUT8;NCSTN;MAN2A2;AMDHD2;TMEM129;ZBED1;ST3GAL5;MLEC;PSMF1;ST3GAL1;RAB6B;ARSB;ST3GAL2;NUS1;ZRANB1;PHC1;SEC16A;KLHL21;UBE2A;BTBD6;LYZ;EEF2;MSRA;MAVS;NPLOC4;TMEM115;GNB2;GOLGB1;GNB1;PAF1;FBXL3;UBA1;CALR;COPE;UBE2M;EIF4G1;PRKCSH;USP32;PIGQ;RPLP0;MRPS10;ARRB1;CHD3;ACTR1A;SENP5;CAPZB;PPP6R1;RPLP2;QSOX1;IKBKG;GFUS;CTSD;SPTAN1;USP47;SEC13;EXOC7;ANO8;AXIN1;RAD23A;JOSD1;RANGAP1;RENBP;SUMF2;ADRA2A;ARFGAP2;DDB1;BACE1;F8;EEF1D;EXOC3;KIFC3;ST6GALNAC4;SEC22C;OTUB1;HDAC3;DCTN1;RAB1B;FURIN;NOD1;GGA2;LMAN1;PSMB4;RXRA;PSMB2;OS9;MGAT5;LMAN2;EIF4H;RPS3;VHL;RPS2;DCAF10;RPL18;YKT6;DTD1;CCT5;RPL19;USP24;DYNC1H1;ARFGEF2;MBTPS1;GSN;USP9X;GALNT2;MBD1;PCGF2;FBXL19;AMFR;ADRM1;SYVN1;PML;CUL4A;TNIP1;GLB1;PSMC1;DOLPP1;OTULIN;NUCB1;P4HB;COPG1;SEC24C;PNPLA2
Metabolism R-HSA-1430728	UP	183/2049	1,13e-08	1,76	39,85	VKORC1L1;ISCA2;AHCYL1;LPGAT1;PANK3;RPL32;INPPL1;XYLT2;CPOX;ENO1;RPL8;COMT;TXN2;CNDP2;NDST1;FADS2;PPP1CC;RPS14;STK11;PSMD4;RPL18A;FLAD1;PPP2R1A;PSMD2;LIPH;OSBP;BSG;NUDT19;AKT1;RPL35;SBF1;SLC25A44;SLC16A3;RPS9;PCYT2;ACOT7;NUP210;PHYKPL;CSNK2A2;ACSL5;CMBL;PISD;ACLY;PHOSPHO1;MAPKAPK2;HMBS;PSME1;MTMR3;PSMD11;FECH;MAOB;GLO1;FUT11;ITPR1;GMPR;GNS;ADIPOR2;OAZ2;ACACA;PLD3;PGS1;PTDSS2;NDOR1;TKFC;INPP5A;CHST12;PNPO;PSMF1;PIP5K1C;ST3GAL1;ARSB;ST3GAL2;FDPS;OSBPL6;IDH1;EPHX2;MTHFR;PARP14;EXT1;PRXL2B;FASN;GNB2;ACER3;GNB1;PI4KA;OGDH;MAN2B1;HPSE;ACO2;LRP10;SLC25A1;DIDO1;ACADVL;HSP90AB1;PRKCSH;MTMR14;RPLP0;SLC2A1;MTR;PIK3CB;OPLAH;MED12;ALAD;SIN3B;SMPD1;RPLP2;TSPO;UQCRFS1;PHGDH;MAN2C1;GUSB;ABCD1;ABCC3;CBR1;SEC13;ABCC1;GSTO2;GSTO1;PDPK1;CHPF2;ITPK1;BPGM;SUMF2;MED29;SREBF2;COASY;ADRA2A;DNM2;ITPKB;SLC7A5;MED25;PIK3CA;PITPNM1;MED20;PCCB;PITPNM2;BLVRB;PLIN3;ALDOC;HAGH;TKT;HDAC3;GSTP1;PPM1K;LRP8;AGPAT3;RXRB;PPP2CA;HMGCL;PSMB4;ATP5F1A;RXRA;ATP5F1B;PSMB2;GPAT4;RPS3;BPNT2;RPS2;TBL1X;RPL18;ACSS1;RPL19;MBTPS1;NFYA;PLEKHA2;PNPLA8;IDH3G;MBOAT7;AGL;GSR;PPP1CA;BCKDK;SLC25A37;PFKL;GLB1;PSMC1;CARM1;ESYT1;PNPLA6;LPIN1;SEC24C;PFKM;PNPLA2
DNA Repair R-HSA-73894	DOWN	53/310	1,17e-08	3,19	78,72	MRE11;CCNH;BRCA1;BRCA2;CHEK2;UIMC1;SUMO2;REV3L;UFD1;POLI;POLK;TOPBP1;RNF111;AQR;H2AC6;USP45;REV1;SPIDR;PIAS1;RBX1;NEIL3;RAD51C;H2BC15;MSH3;H2BC11;DNA2;FTO;INO80C;ABRAXAS1;RCHY1;BRIP1;WRN;MAPK8;USP1;RBBP8;ASCC3;BARD1;H2BC9;FANCI;H2BC5;FANCM;FANCL;H2BC3;EYA3;H2BC4;SMARCA5;FANCB;CDK7;COPS5;POLE2;ATM;MNAT1;RAD18

Supplementary Table S13

Top 20 significantly enriched KEGG pathways of platelet transcripts in ITP in remission.

KEGG pathways Top 20	Enrichment Direction	Overlap	Adjusted p-value	Odds Ratio	Combined Score	Genes
Insulin signaling pathway	UP	29/137	1.61e-07	4.57	97.51	SHC1;ARAF;INPPL1;IRS2;PIK3CB;ELK1;ACACA;SOCS2;PPP1CC;INPP5A;MKNK2;FLOT1;AKT1;MAPK1;MAPK3;PTPN1;MAP2K2;EXOC7;PDPK1;TSC2;SORBS1;PRKAB1;PPP1CA;PIK3CA;PPP1R3B;PPP1R3E;FASN;PPP1R3D;EIF4E2
Autophagy	UP	26/137	6.76e-06	3.98	67.20	MTMR3;MTMR14;ITPR1;IRS2;PIK3CB;ZFYVE1;PPP2CA;STK11;RB1CC1;AKT1;MAPK1;CTSD;MAPK3;MAP2K2;PDPK1;TSC2;CFLAR;ATG13;RRAGA;RRAGC;PIK3CA;AKT1S1;ATG2A;ULK1;SMCR8;ATG2B
AMPK signaling pathway	UP	23/120	2.21e-05	4.02	61.51	PDPK1;PPP2R5B;TSC2;IRS2;PIK3CB;FOXO3;EEF2;PRKAB1;ADIPOR2;ACACA;PPP2CA;STK11;PFKL;CCND1;PIK3CA;PPP2R1A;CREB3L1;FASN;CREB3L2;AKT1S1;AKT1;ULK1;PFKM
Salmonella infection	UP	35/249	4.53e-05	2.78	39.82	CYFIP2;NCKAP1;RALA;HSP90AB1;DCTN1;NOD1;PIK3CB;TXN2;FYCO1;ACTR1A;IRAK1;RPS3;AKT1;FLNA;MAPK1;FADD;IKBKG;BAK1;MAP2K7;VPS39;KPNA1;MAPK3;VPS18;DYNC1H1;MAP2K2;EXOC7;MAPK14;RHOB;DNM2;SNX18;PIK3CA;PLEKHM1;PLEKHM2;PKN1;ARL8A
Insulin resistance	UP	20/108	1.41e-04	3.84	49.74	MLXIP;PTPN1;PDPK1;SLC2A1;IRS2;PTPN11;PIK3CB;PRKAB1;PPP1CA;PTPA;PPP1CC;PIK3CA;TBC1D4;PPP1R3B;CREB3L1;PPP1R3E;CREB3L2;PPP1R3D;AKT1;SLC27A4
Endometrial cancer	UP	14/58	1.52e-04	5.36	68.05	MAP2K2;PDPK1;ARAF;AXIN1;PIK3CB;FOXO3;ELK1;CCND1;PIK3CA;CTNNA1;AKT1;MAPK1;BAK1;MAPK3
Thyroid hormone signaling pathway	UP	21/121	1.67e-04	3.55	44.16	NOTCH2;MAP2K2;HDAC3;PDPK1;ITGB3;ATP2A3;SLC2A1;TSC2;PIK3CB;ATP1A1;MED12;RXRB;PFKL;RXRA;CCND1;PIK3CA;TBC1D4;AKT1;MAPK1;PFKM;MAPK3
Homologous recombination	DOWN	12/41	6.56e-04	6.26	76.64	BARD1;BRIP1;MRE11;RAD51C;ABRAXAS1;UIMC1;RBBP8;RPA1;ATM;BRCA1;TOPBP1;BRCA2
Central carbon metabolism in cancer	UP	15/70	2.49e-04	4.560	54.74	RET;NTRK1;G6PD;MAP2K2;IDH1;SLC2A1;PIK3CB;SLC7A5;PFKL;PIK3CA;AKT1;MAPK1;SLC16A3;PFKM;MAPK3
Lysosome	UP	21/128	3.24e-04	3.32	38.24	HGSNAT;ATP6AP1;SLC11A2;CLTC;AP1B1;CLTB;AP3D1;CLTA;CTNS;GNS;GGA2;GLB1;SMPD1;MAN2B1;AP3S2;PPT2;GUSB;CTSD;ARSB;AP1M1;ATP6V0A1
Longevity regulating pathway	UP	18/102	4.45e-04	3.62	40.16	TSC2;ADCY3;IRS2;PIK3CB;FOXO3;ATG13;PRKAB1;ADIPOR2;STK11;PIK3CA;CREB3L1;RB1CC1;CREB3L2;AKT1S1;AKT1;EIF4EBP2;ULK1;EIF4E2
Platelet activation	UP	20/124	5.54e-04	3.25	35.04	ITGB3;ITGA2B;ITPR1;ADCY3;PIK3CB;GP6;MAPK14;GP5;ARHGAP35;PPP1CA;APBB1IP;PPP1CC;FCGR2A;PIK3CA;P2RX1;AKT1;MAPK1;TLN1;MAPK3;F2RL3
Human cytomegalovirus infection	UP	29/225	7.27e-04	2.51	26.15	ITGB3;ITPR1;ADCY3;PIK3CB;ELK1;AKAP13;CCND1;CREB3L1;CREB3L2;GNA12;RAC2;AKT1;MAPK1;FADD;IKBKG;BAK1;IL6R;JAK1;MAPK3;MAP2K2;TAP2;TSC2;HLA-A;MAPK14;TAPBP;PIK3CA;GNB2;GNB1;CALR
Protein processing in endoplasmic reticulum	UP	24/171	8.04e-04	2.76	28.30	MBTPS1;VCP;SEC13;HSP90AB1;HSPA5;PRKCSH;AMFR;SYVN1;RAD23A;ERLEC1;LMAN1;NPLOC4;OS9;DNAJC5;LMAN2;CAPN2;PREB;CAPN1;CALR;BAK1;P4HB;MAP2K7;UBQLN4;SEC24C
Non-small cell lung cancer	UP	14/72	9.14e-04	4.06	40.85	RET;MAP2K2;PDPK1;ARAF;PIK3CB;FOXO3;RXRB;RXRA;CCND1;PIK3CA;AKT1;MAPK1;BAK1;MAPK3
Focal adhesion	UP	26/201	1.35e-03	2.51	24.04	FLT1;SHC1;ITGB3;ITGA2B;PIK3CB;ELK1;ARHGAP35;PPP1CC;CCND1;RAC2;CAPN2;AKT1;FLNA;MAPK1;PIP5K1C;MAPK3;PDPK1;LAMB2;ACTN1;VEGFB;PPP1CA;DIAPH1;PIK3CA;COL6A3;TLN1;PPP1R12C
Hepatitis C	UP	22/157	1.35e-03	2.75	26.13	RNASEL;MAP2K2;STAT2;ARAF;PIK3CB;CFLAR;IFIT1;PPP2CA;MAVS;RXRA;CCND1;PIK3CA;PPP2R1A;IFIT1B;AKT1;MAPK1;FADD;IKBKG;BAK1;JAK1;YWHAH;MAPK3
Chronic myeloid leukemia	UP	14/76	1.35e-03	3.80	35.84	MAP2K2;CTBP1;SHC1;ARAF;PTPN11;PIK3CB;BCR;CCND1;PIK3CA;AKT1;MAPK1;IKBKG;BAK1;MAPK3
Regulation of actin cytoskeleton	UP	27/218	1.69e-03	2.39	21.83	CYFIP2;NCKAP1;ITGB3;ITGA2B;ARAF;PIK3CB;IQGAP2;FGF2;ARHGAP35;PPP1CC;CFL1;GNA12;RAC2;ITGAX;MAPK1;PIP5K1C;WASF2;MAPK3;GSN;MAP2K2;ACTN1;PPP1CA;DIAPH1;PIK3CA;MYH9;PPP1R12C;ARHGEF6
Ubiquitin mediated proteolysis	UP	20/140	1.72 e-03	3.01	27.04	NTRK1;MAP2K2;MAGED1;SHC1;PDPK1;PTPN11;PIK3CB;FOXO3;MAPK14;IRAK1;PIK3CA;ARHGDIA;MAPKAPK2;AKT1;MAPK1;MAP2K7;SH2B3;MAPK3